

UNIVERSIDADE FEDERAL DO AMAZONAS – UFAM

**PROGRAMA MULTI-INSTITUCIONAL DE PÓS-GRADUAÇÃO EM
BIOTECNOLOGIA**

DISSERTAÇÃO

Leveduras associadas ao ninho das abelhas sem ferrão *Melipona interrupta* e *Cephalotrigona femorata* (Apidae: Meliponini): identificação e aspectos biotecnológicos

Sabrina da Fonseca Meireles

Manaus – AM

Julho de 2018

Sabrina da Fonseca Meireles

Leveduras associadas ao ninho das abelhas sem ferrão *Melipona interrupta* e *Cephalotrigona femorata* (Apidae: Meliponini): identificação e aspectos biotecnológicos

Orientador: Dr. Carlos Gustavo Nunes da Silva

Coorientador: Dr. Adolfo José da Mota

Dissertação apresentada ao Programa Multi-Institucional de Pós-graduação em Biotecnologia da Universidade Federal do Amazonas (PPG-BIOTEC), como parte dos requisitos necessários para a obtenção do título de Mestre em Biotecnologia.

Manaus – AM

Julho de 2018

Ficha Catalográfica

Ficha catalográfica elaborada automaticamente de acordo com os dados fornecidos pelo(a) autor(a).

M514I	<p>Meireles, Sabrina da Fonseca Leveduras associadas ao ninho das abelhas sem ferrão <i>Melipona interrupta</i> e <i>Cephalotrigona femorata</i> (Apidae: Meliponini): identificação e aspectos biotecnológicos / Sabrina da Fonseca Meireles. 2018 80 f.: il. color; 31 cm.</p> <p>Orientador: Carlos Gustavo Nunes da Silva Coorientador: Adolfo José da Mota Dissertação (Mestrado em Biotecnologia) - Universidade Federal do Amazonas.</p> <p>1. Leveduras. 2. Abelhas sem ferrão. 3. Perfil de restrição. 4. Simbiose. 5. Insetos. I. Silva, Carlos Gustavo Nunes da II. Universidade Federal do Amazonas III. Título</p>
-------	---

DEDICATÓRIA

*Dedico este trabalho,
A Deus e
Aos meus pais, Francisco e Maria Soriene.*

AGRADECIMENTOS

- ❖ A Deus, por todas as oportunidades dadas a mim e por ter me guiado com lucidez em todas as minhas decisões.
- ❖ A minha família que sempre torceu pelo meu sucesso. E em especial ao meu pai que sempre esteve disposto a ajudar nas mais diversas situações e a minha querida mãe, por me ajudar nas horas mais difíceis, por me dar sempre uma palavra amiga, me incentivando e me ajudando cumprir as tarefas do dia-a-dia em casa.
- ❖ Ao Curso de Pós-Graduação em Biotecnologia, junto à Universidade Federal do Amazonas, pela minha formação e por proporcionarem toda a estrutura e suporte necessários para a realização deste trabalho.
- ❖ Ao Conselho Nacional de Desenvolvimento Científico e Tecnológico – CNPq pela concessão da bolsa de mestrado.
- ❖ Ao grupo de pesquisa “MIB” por ter me recebido de braços abertos para desenvolver meus estudos junto a sua base de pesquisa. Em especial, a Doutora Lorena Nacif, pelas conversas inspiradoras e motivadoras ao longo destes dois anos e à Luciana pelo apoio sempre que precisei.
- ❖ Ao meu orientador Doutor Carlos Gustavo Nunes da Silva por ter feito parte dessa etapa tão importante da minha vida, pelos ensinamentos, pela inspiração, por me mostrar o “fantástico mundo das abelhas” e por confiar em mim a realização deste trabalho.
- ❖ Ao meu coorientador Doutor Adolfo José da Mota pela inestimável colaboração, solicitude, orientação, ensinamentos, discussões, momentos de lazer e por ter tornado possível o desenvolvimento deste trabalho. Minha sincera gratidão.
- ❖ À querida “Sam” por me receber de braços abertos no laboratório, pela dedicação ao ensinar e acompanhar meus primeiros passos no mundo da microbiologia e biologia molecular.
- ❖ As minhas amigas, Cláudia, Marjory, Lucivana, Suelen e Alessandra por toda ajuda, pelos maravilhosos momentos que passamos juntas, pelas longas horas de conversas, desabafos, risadas, divertidos cafés da tarde e principalmente, os famosos aniversários. Muito obrigada por tornarem meus dias mais suaves e pela cumplicidade.
- ❖ E a todos os outros que não foram mencionados, mas sabem que foram importantes nas minhas atividades científicas e/ou sociais nesses dois anos vividos na UFAM.

RESUMO

As abelhas nativas sem ferrão (Apidae: Meliponini) apresentam interações simbióticas com as leveduras, apontadas como as principais responsáveis pela fermentação do pólen, alimento preferido pelos meliponídeos, e pela fermentação de outros materiais de origem vegetal coletados pelas abelhas. Neste projeto, foi proposto identificar leveduras associadas ao ninho de duas abelhas nativas da Amazônia e estabelecer um banco de estirpes amazônicas de referência. Para isso, os substratos (pólen, mel, alimento larval e cera) foram coletados do ninho de *Melipona interrupta* e *Cephalotrigona femorata* em três meliponários, localizados em Iranduba, Parintins e Paraná de Parintins, (n=12 amostras). Os procedimentos metodológicos adotados neste trabalho seguem a seguinte ordem: (1) isolamento em YPD, (2) triagem em CHROMÁgar para separação dos isolados em grupos de cores, (3) extração de DNA, (4) triagem de padrões moleculares por PCR/RFLP baseado na amplificação das regiões 18S, ITS1-5,8S-ITS2 e D1/D2 do gene 26S rRNA e digestão do amplicon com a enzima *Dde I* (5) sequenciamento dos amplicons dos diferentes padrões obtidos na RFLP e a identificação mediante comparação das sequências obtidas contra os bancos de dados de sequências nucleotídicas do consórcio INSDC, com auxílio da ferramenta BLASTN. Foram isoladas 749 leveduras associadas ao ninho das abelhas *Melipona interrupta* e *Cephalotrigona femorata*, das quais, 15 linhagens foram identificadas, a saber: SM01 *Candida* sp., SM02 *Hyphopichia* sp., SM03 *Rhodotorula* sp., SM04 *Wickerhamiella versalitis*, SM05 *Debaryomyces* sp., SM06 *Candida orthopsilosis*, SM07 *Candida apícola*, SM08 *Metschnikowia* sp., SM09 *Zygosaccharomyces siamensis*, SM10 *Hanseniaspora opuntiae*, SM11 *Pichia* sp., SM12 *Pichia kluyveri*, SM13 *Trichosporon asahii*, SM14 *Kodamaea ohmeri* e SM15 *Aureobasidium* sp. Este trabalho resultou em (1) dados inéditos a respeito das leveduras associadas às abelhas sem ferrão da Amazônia, (2) contribuiu com os bancos de dados por meio do depósito de sequências nucleotídicas completas de regiões gênicas usadas para identificação de leveduras, (3) estabeleceu 14 novos padrões de RFLP, (4) forneceu quinze linhagens a serem exploradas em estudos futuros, das quais cinco podem ser espécies ainda não descritas na literatura, que visem prospectar processos e biomoléculas de interesse biotecnológico.

Palavras-chave: Leveduras, Abelhas sem ferrão, Perfil de restrição, Simbiose, Inseto.

ABSTRACT

Native stingless bees (Apidae: Meliponini), as well as the other social insects of the order hymenoptera, present symbiotic interactions with the yeasts, indicated as the main responsible for the processing of pollen, fermented food preferred by the meliponids, and by the fermentation of other vegetal materials taken to these nests. In this project, it was proposed to identify yeasts associated with the nest of two Amazon native bees and establish a reference database for Amazonian strains. For this, the substrates (pollen, honey, larval food and wax) were collected from the nest of *Melipona interrupta* and *Cephalotrigona femorata* in three meliponaria, located in Iranduba, Parintins and Paraná de Parintins, (n = 12 samples). The methodological procedures adopted in this work are as follows: (1) isolation in YPD, (2) screening in CHROMÁgar for separation of the isolates in groups of colors, (3) DNA extraction, (4) screening for RFLP standards based on the amplification of the 18S, ITS1-5,8S-ITS2 and D1 / D2 regions of the 26S rRNA gene and digestion of the amplicon with the *Dde* I restriction enzyme. The amplicons of the different profiles were sequenced and the identification was achieved comparing the sequences against the nucleotide databases of the INSDC consortium using the BLASTN tool. A total of 749 nest bees associated yeasts were isolated, among these 15 lines were identified, namely: SM01 *Candida* sp., SM02 *Hyphopichia* sp., SM03 *Rhodotorula* sp., SM04 *Wickerhamiella versalitis*, SM05 *Debaryomyces* sp., SM06 *Candida orthopsisilosis*, SM07 *Candida apícola*, SM08 *Metschnikowia* sp., SM09 *Zygosaccharomyces siamensis*, SM10 *Hanseniaspora opuntiae*, SM11 *Pichia* sp., SM12 *Pichia kluyveri*, SM13 *Trichosporon asahii*, SM14 *Kodamaea ohmeri* and SM15 *Aureobasidium* sp. This work contributed to (1) the identification of yeast associated to the natives stingless bees, (2) contributed to the databases through the deposit of complete nucleotide sequences, useful for yeast identification, (3) established thirteen new RFLP standards, (4) in addition to compose a database of yeasts, which from this bank, future works may prospect processes and biomolecules of biotechnological interest.

Keywords: Yeast, Stingless bees, Restriction profile, Symbiosis, Insect.

LISTA DE ABREVIATURAS E SIGLAS

PCR – Reação em cadeia de polimerase

RFLP – Análise do polimorfismo por fragmento de restrição

YPD – Meio composto de extrato de levedura, peptona e dextrose

ITS1-ITS2 - Espaços internos transcritos

D1/D2 - Domínios

DNA – Ácido Desoxirribonucleico

rDNA – Ácido Desoxirribonucleico ribossômico

DdeI– Enzima de restrição advinda de *Desulfovibrio desulfuricans* e que corta o palíndromo 5'C↓TNAG3'

UFAM – Universidade Federal do Amazonas

LISTA DE ILUSTRAÇÕES

Figura 1 Colônia de <i>Melipona interrupta</i> , em destaque (seta), operária transportando o pólen apícola em corbículas.	6
Figura 2 Ninho de <i>Melipona interrupta</i> , no centro as células de cria e circundando, os potes de pólen e mel.	9
Figura 3 Representação das etapas de coleta de pólen de <i>Melipona interrupta</i> . A – Introdução da ponteira no pote de pólen para coleta (posição vertical) em diferentes camadas; B – Retirada da ponteira contendo diferentes camadas de pólen. C – Armazenamento do pólen coletado. O mesmo procedimento foi realizado para a abelha <i>Cephalotrigona femorata</i>	11
Figura 4 Obtenção de mel de <i>Melipona interrupta</i> . A – Introdução da pipeta no pote de mel; B – armazenamento do mel extraído. O mesmo procedimento foi realizado para a abelha <i>Cephalotrigona femorata</i>	12
Figura 5 Coleta do alimento larval depositado nas células de cria de <i>Melipona interrupta</i> com auxílio de pipeta automática. A – Introdução da pipeta na célula de cria. B – Retirada da pipeta contendo alimento larval. O mesmo procedimento foi realizado para a abelha <i>Cephalotrigona femorata</i>	12
Figura 6 Armazenamento dos fragmentos de cera obtidos do ninho de <i>Melipona interrupta</i> . O mesmo procedimento foi realizado para a abelha <i>Cephalotrigona femorata</i>	13
Figura 7 Representação física do amplicon, correspondente as regiões 18S, ITS1-5,8S-ITS2 e D1/D2 do gene 26S rRNA com seus respectivos primers internos. Números e setas indicam os primers, com suas posições relativas, e direção da síntese.	16
Figura 8 Representação dos métodos de preservação das leveduras: A- Tubo inclinado (meio YPD sólido em tubo falcon de 40 mL) e B- Criopreservados em freezer a -80 C, em solução YPD com 15% glicerol.	18
Figura 9. Características macroscópicas das leveduras isoladas. As características morfológicas das colônias foram observadas em meio cromogênico CHROMÁgar (lado esquerdo) e meio nutriente YPD (lado direito). Os números codificam os 15 isolados estudados, respectivamente: 1-A1, 2-V1, 3-V9, 4-110, 5-443, 6-591, 7-621, 8-626, 9-630, 10-632, 11-635, 12-642, 13-692, 14-698 e 15-707.	19
Figura 10 Perfil eletroforético representativo da extração de DNA de leveduras de pólen, mel, alimento larval e cera de <i>Melipona interrupta</i> e <i>Cephalotrigona femorata</i> em gel de agarose a 1%. M1 – marcador DNA λ de 10 ng; M2 - marcador DNA λ de 20ng SM01–SM15 amostras de DNA.	20

Figura 11 Perfil eletroforético em gel de agarose a 1% visualizado por brometo de etídio dos produtos da PCR da região 26S do rDNA amplificados a partir do pólen, mel, alimento larval e cera de *Melipona interrupta* e *Cephalotrigona femorata*. 21

Figura 12 Perfis de restrição das leveduras. Linhagens: SM01 *Candida* sp., SM02 *Hyphopichia* sp., SM03 *Rhodotorula* sp., SM04 *Wickerhamiella versalitis*, SM05 *Debaryomyces* sp., SM06 *Candida orthopsis*, SM07 *Candida apícola*, SM08 *Metschnikowia* sp., SM09 *Zygosaccharomyces siamensis*, SM10 *Hanseniaspora opuntiae*, SM11 *Pichia* sp., SM12 *Pichia kluyveri*, SM13 *Trichosporon asahii*, SM14 *Kodamaea ohmeri* e SM15 *Aureobasidium* sp. O padrão de restrição foi avaliado a partir do uso do marcador 1kb Plus (ao lado) de cada perfil..... 21

Figura 13 Mapa de restrição da digestão com a enzima *Dde I* prevista pela ferramenta *Nebcutter*. A análise *in silico* mostra a digestão de 14 linhagens de leveduras, são: SM01 *Candida* sp., SM02 *Hyphopichia* sp., SM03 *Rhodotorula* sp., SM04 *Wickerhamiella versalitis*, SM05 *Debaryomyces* sp., SM06 *Candida orthopsis*, SM07 *Candida apícola*, SM08 *Metschnikowia* sp., SM10 *Hanseniaspora opuntiae*, SM11 *Pichia* sp., SM12 *Pichia kluyveri*, SM13 *Trichosporon asahii*, M14 *Kodamaea ohmeri* e SM15 *Aureobasidium* sp..... 22

Figura 14 Eletroferograma gerado pelo analisador genético correspondente aos primers internos 607 e 377 da linhagem SM15 (707), mostrando a qualidade das sequências... 23

Figura 15 Análise da história evolutiva das leveduras associadas às abelhas sem ferrão pelo método da máxima verossimilhança. A árvore apresentada refere-se ao consenso do bootstrap e mostra apenas as relações evolutivas, sem considerar o tempo decorrido. Os números próximos aos nós referem-se à taxa de repetição para cada relação, tomadas a partir de 1000 replicatas. SM se referem às linhagens propostas no presente trabalho 25

LISTA DE TABELAS

Tabela 1. Características físico-químicas do pólen coletados por <i>Melipona seminigra</i> e por <i>Melipona interrupta</i> da Amazônia e <i>Melipona scutellaris</i> do Nordeste (retirado de Rebelo et al., 2016 e Ferreira, 2012).....	8
Tabela 2 Primers utilizados na reação de PCR e sequenciamento com seus respectivos códigos e referências.....	16
Tabela 3 Grau de pureza do DNA extraído de <i>Melipona interrupta</i> e <i>Cephalotrigona femorata</i> , quantificado em espectrofotômetro.....	20
Tabela 4 Identificação de oito linhagens em nível de gênero e sete em nível de espécie, baseado no critério de dissimilaridade $\geq 1\%$ a partir do alinhamento de sequências que compreendem os marcadores ITS1, ITS2 e D1/D2.	23
Tabela 5 Ocorrência de leveduras associadas aos microambientes do ninho das abelhas sem ferrão <i>Melipona interrupta</i> (MI) e <i>Cephalotrigona femorata</i> (C) de três Meliponários no Amazonas (Iranduba, Parintins e Paraná de Parintins).....	24

SUMÁRIO

1 INTRODUÇÃO	1
2 REFERENCIAL TEÓRICO	3
2.1 Aspectos gerais das leveduras	3
2.2 Aspectos importantes da simbiose entre insetos/abelhas nativas e leveduras	4
2.3 Aspectos biológicos das abelhas sem ferrão	5
3 OBJETIVOS	10
3.1 Objetivos específicos	10
4 MATERIAL E MÉTODOS	11
4.1 Áreas de coletas de pólen, mel, alimento larval e cera	11
4.2 Processamento do pólen, mel, alimento larval e cera	13
4.2.1 Pré-inóculo e plaqueamento	13
4.2.2 Extração de DNA dos isolados.....	14
4.2.3 PCR.....	15
4.2.4 Purificação do produto da PCR	15
4.2.5 RFLP	15
4.2.6 Gel de RFLP e análise dos fragmentos de restrição	15
4.2.7 Reação de sequenciamento	16
4.2.8 Precipitação das reações de sequenciamento	16
4.2.9 Análise automática e processamento das sequências	17
4.3 Confecção do mapa de restrição	17
4.4. Análise filogenética	17
4.5 Preservação das leveduras.....	18
5 RESULTADOS	19
6 DISCUSSÃO	26
7 CONCLUSÃO	30
8 PERSPECTIVAS	31
9. REFERÊNCIAS BIBLIOGRÁFICAS	32
APÊNDICES	43

1 INTRODUÇÃO

As leveduras são microrganismos de grande importância na bioindústria, pois são potenciais fermentadoras de açúcares e/ou produtoras de enzimas úteis a bioprocessos utilizados pelo homem. A utilização das leveduras em diversos bioprocessos resulta de sua fácil prospecção e manipulação, pois são seres eucarióticos unicelulares de rápido crescimento em ampla variedade de substratos, curto tempo para fermentação, capacidade de secretar proteínas para o meio extracelular e baixo potencial patogênico (COUTO, 2008; BARRIGA et al. 2011).

As leveduras são ubíquas, podendo desenvolver as mais diversas interações simbióticas possíveis, abrangendo virtualmente todos os grupos. Entre esses, os insetos, que na maioria dos casos apresenta associação neutra (ou seja, nenhum dos dois participantes se beneficia ou sofre com a associação). Eventualmente a associação pode ser mutualística (positiva para ambos os participantes), comensal (positiva para um, neutra para o outro), amensal (negativa para um, neutra para outro) ou parasitária (negativa para um, positiva para outro) (STARMER e LACHANCE, 2011).

Um exemplo clássico da relação de simbiose entre levedura e insetos sociais é encontrado em formigas. Nesse caso as leveduras oferecem vários benefícios para seus anfitriões como nutrientes e proteção contra patógenos (KROISS et al. 2010; KALTENPOTH e ENGL, 2013). Estas simbioses impulsionaram a evolução de comportamentos complexos e estruturas de ninho associadas com a cultura dos microrganismos simbióticos (MUELLER e GERARDO, 2002; SACHS et al. 2011).

Em ninhos de abelhas nativas sem ferrão, microrganismos como bactérias (MACHADO, 1971), fungos filamentosos (KAČÁNIOVÁ et al. 2011) e leveduras (ROSA et al. 2003; DANIEL et al. 2013; PALUDO et al. 2018) vivem em sinergia. Tal interação é vista desde o nível de indivíduo (abelha) até os diferentes microambientes dispostos dentro do ninho (colmeia) (NACIF-MARÇAL, 2017), como os potes de armazenamento de alimento (pólen e mel), construídos a partir de cera secretada pelas próprias abelhas, contendo o substrato essencial para o crescimento de leveduras, os açúcares.

A associação entre leveduras e abelhas pode ser espécie-específica, relacionada à fase de desenvolvimento e até mesmo do microambiente encontrado no ninho

(PALUDO et al. 2018). Algumas leveduras são encontradas nas flores, no pólen, no néctar e conseguinte, recuperadas a partir do intestino de adultos. Outras são isoladas de disposições larvais e pupas (INGLIS et al. 1993; ROSA et al. 1999; TEIXEIRA et al. 2003; PIMENTEL et al. 2005; DANIEL et al. 2013; PALUDO et al. 2018). As leveduras isoladas desses locais pertencem principalmente ao clado *Starmerella*, que atualmente é composto por mais de 40 espécies identificadas. Este clado é definido como um ramo único dos ascomicetos que apresentam os traços ecológicos comuns da associação entre insetos e flores efêmeras (LACHANCE et al. 2001; ROSA et al. 2003; 2005).

A microbiota associada aos microambientes do ninho de abelhas sem ferrão da Amazônia ainda é, em boa parte, desconhecida. Há pouca informação acerca do envolvimento das leveduras na fermentação do alimento das melíponas, no processo estimulação olfativa que alimentos presentes nas flores exercem sobre estas abelhas e na saúde imunológica das mesmas. Entretanto, é notória a presença de leveduras em processos dentro da colmeia, como a fermentação de material de origem vegetal coletado pelas abelhas, ricos em carboidratos e proteínas. A própria arquitetura dos ninhos parece estabelecer as condições ideais para um biorreator natural, estes são construídos em ocos de árvores com alta umidade e temperatura, um ambiente favorável para o crescimento de leveduras e outros microrganismos com potencial biotecnológico.

Cientes da crescente procura por novos microrganismos com potencial biotecnológico, cuja etapa inicial de seleção pode ser feita através da exploração da biodiversidade, propõe-se, como modelo de estudo, prospectar leveduras em ninhos de abelhas nativas sem ferrão para criar uma coleção de referência desses microrganismos que possa ser usada em estudos futuros, seja do ponto de vista ecológico, ajudando no entendimento das complexas relações de simbiose entre microrganismos e insetos sociais ou contribuindo com conhecimentos acerca da microbiota funcional dos meliponídeos e principalmente, fornecer base para a prospecção de processos ou biomoléculas de interesse biotecnológico.

2 REFERENCIAL TEÓRICO

2.1 Aspectos gerais das leveduras

As leveduras são fungos eucarióticos unicelulares, não filamentosos, com ampla distribuição na natureza. São encontradas em tecidos vegetais (folhas, flores e frutos), no ar, solo, água, em relação de comensalismo ou parasitismo com animais, em ambientes especializados ou extremos, com altas concentrações de açúcar ou sal ou com baixa temperatura e baixa disponibilidade de oxigênio (WALKER, 2009; MONTES DE OCA et al. 2016).

A função das leveduras nesses ambientes é diversa, por exemplo, algumas espécies proporcionam uma barreira natural contra patógenos para as plantas, no solo contribuem para a reciclagem e a mineralização do carbono. Em simbiose com animais, por sua vez, são vitais; ao passo que juntamente com os fungos filamentosos e as bactérias heterotróficas são os principais decompositores de matéria orgânica da biosfera, considerados essenciais para a continuidade da vida (FOKKEMA et al. 1979; RAVEN et al. 2007; STARMER e LACHANCE, 2011).

As leveduras são evolutivamente diversas e estão agrupadas em dois filos separados, Ascomycota e Basidiomycota (KURTZMAN, 1994). Atualmente, existem mais de 1500 espécies conhecidas, sendo 700 espécies descritas e classificadas em 93 gêneros, as quais pertencem à classe Saccharomycetidae, comumente chamadas de “leveduras verdadeiras” (VEGA e DOWD, 2005).

Algumas características morfológicas das leveduras são essenciais para a sua identificação, a saber: são exclusivamente unicelulares, não são filamentosas, as paredes celulares contêm os polissacarídeos glicana e manana, alimentam-se por absorção, contém núcleo organizado com membrana nuclear, não possuem flagelo, são imóveis, possui cerca de $1 \times 10 \mu\text{m}$ de comprimento, tipicamente com células esféricas ou ovais, reproduzem-se via reprodução sexuada através de esporos e/ou reprodução assexuada por brotamento e as leveduras que realizam fissão para se dividir (KURTZMAN e FELL, 1998; TORTORA; FUNKE; CASE, 2012).

As leveduras são anaeróbicas facultativas, ou seja, podem utilizar o oxigênio para produzir energia ou não, pois na ausência do oxigênio também são capazes de continuar a crescer utilizando fermentação ou a respiração anaeróbica (TORTORA;

FUNKE; CASE, 2012). Os gêneros de leveduras mais utilizados nos processos fermentativos para produção de etanol e para produção de várias enzimas industriais (celulases, pectinases, lipases, proteases e xilanase) são: *Candida*, *Debaryomyces*, *Hanseniaspora*, *Hansenula*, *Sporobolomyces*, *Kloeckera*, *Pichia*, *Metschnikowia*, *Saccharomyces*, *Bullera*, *Torulaspora*, *Rodotorula* e *Zygosacharomyce*.

O uso de algumas espécies desses gêneros de leveduras nas indústrias é possível: (1) por não apresentarem características patogênicas, o que torna seguro sua manipulação e aplicação (CRUZ et al. 2009); (2) pelo seu rápido crescimento em vários substratos; (3) curto tempo para fermentação; e (4) pela capacidade de secretar proteínas para o meio extracelular (COUTO, 2008, TORTORA; FUNKE; CASE, 2012).

2.2 Aspectos importantes da simbiose entre insetos/abelhas nativas e leveduras

As associações de insetos com fungos são comuns e podem ser ocasionais ou altamente específicas e até obrigatórias (VEGA e DOWD, 2005; PALUDO et al. 2018). Em um ecossistema os organismos estão constantemente interagindo entre si, através de relações que podem ser intraespecíficas ou interespecíficas. O termo simbiose foi cunhado por Albert Frank em 1877 para descrever interações não-parasitas envolvendo micróbios (SAPP, 1994). O significado foi refinado posteriormente pelo patologista Anton de Bary em 1879, em seu trabalho pioneiro sobre doenças fúngicas das plantas. Na sua formulação original, significa a associação entre diferentes espécies que vivem em constante contato, podendo ser ou não vantajosa para todos os participantes.

Um importante exemplo de interação entre leveduras e insetos, bem descritos na literatura, ocorre em gafanhotos e besouros, conhecidos por abrigarem fungos endossimbiontes no trato digestório que desempenham funções importantes na nutrição, aumentando a gama de recursos disponíveis, fornecendo enzimas para a degradação ou desintoxicação do material vegetal oriundo de sua alimentação (DOWD, 1992; DOUGLAS, 2009; VISSA e HOFSTETTER, 2017).

Os benefícios da associação entre leveduras e insetos têm continuamente despertados interesse (DOUGLAS e SMITH, 1989). Atualmente, supõe-se que os principais serviços oferecidos ao fungo pelo inseto estão relacionados à proteção e dispersão dos seus esporos (VEGA e DOWD, 2008). Para os insetos as leveduras poderiam fornecer muitas vantagens, tais como nutrição, desintoxicação de substâncias

prejudiciais, proteção a estresses bióticos, e comunicação química (CHRISTENSEN, 2010; GIBSON e HUNTER, 2010; WITZGALL et al. 2012; ENGEL e MORAN, 2013). Já a função das leveduras na alimentação dos insetos tem sido descrita de forma indireta, mediante a diminuição do desempenho do inseto na ausência de leveduras associadas (VEGA e DOWD, 2005). As leveduras são ricas em certas vitaminas do complexo B (B3 e B5), proteínas, alguns metais e ácidos aminados, além de possuírem melhor fonte de nitrogênio e outros nutrientes que o próprio tecido da planta (GIBSON e HUNTER, 2010; VEGA e DOWD, 2005).

A associação entre leveduras e meliponídeos (família taxonômica das abelhas sem ferrão) foi reportada no trabalho de Rosa e colaboradores, onde se constatou o cultivo de leveduras dos gêneros *Cândida*, *Cryptococcus*, *Metschnikowia* e *Starmerella*. Estas são responsáveis por produzir e liberar enzimas que melhoram, protegem e preserva o pólen, principal alimento proteico das abelhas, podendo ter um papel na produção de antimicrobianos, protegendo a colônia de doenças (GILLIAM, 1997; ROSA et al. 2003).

2.3 Aspectos biológicos das abelhas sem ferrão

As abelhas da família Apidae (abelhas altamente sociais/eussociais), vivem em colônias perenes com divisões de castas e divisão etária de trabalho (CAMPOS et al. 1987). São popularmente denominadas “abelhas sem ferrão” pelo fato de serem incapazes de ferroar, pois possuem o acúleo atrofiado (NOGUEIRA-NETO, 1997; CAMARGO e PEDRO, 2013).

As abelhas sem ferrão ocorrem nos trópicos e subtrópicos do mundo (MICHENER, 1974) e existem mais de 500 espécies descritas em 33 gêneros, exclusivamente neotropicais, sendo no Brasil 242 espécies descritas em 29 gêneros com possibilidade deste número estar subestimado (MICHENER, 2000; MICHENER, 2013; CAMARGO e PEDRO, 2013; PEDRO, 2014).

Melipona (Melikerria) interrupta Latreille, 1811 é nativa da Amazônia brasileira. No Brasil há registro de ocorrência em todo o território, sendo a bacia Amazônica a área de maior diversidade. *M. interrupta* é comumente conhecida como jupará ou jandaíra-preta-da-Amazônia (KERR et al. 2001; MICHENER, 2007).

Cephalotrigona femorata Smith, F. (1854) também é nativa da Amazônia brasileira, e tem como habitat ecossistemas de terra firme (OLIVEIRA et al. 1995), quanto a nidificação, são encontradas em ocos de árvores (CAMARGO, 1994) e popularmente são chamadas de “mombucão-da-Amazônia” (NOGUEIRA-NETO, 1997; CORTOPASSI-LAURINO et al. 2011; CAMARGO e PEDRO, 2013).

O ninho das abelhas sem ferrão tem como principal característica o armazenamento de alimento em potes de cera construídos pelas próprias abelhas, sendo pólen apícola (principal fonte de proteína) (MICHENER, 1974) e néctar (fonte de carboidratos) (ROUBIK, 1982; MAIA-SILVA et al. 2015). O alimento (néctar e pólen) é transportado para as colônias por abelhas operárias, responsáveis pelo forrageamento, e armazenado em potes construídos de cerume (NOGUEIRA-NETO, 1997).

O grão de pólen recolhido pelas abelhas é composto por proteínas, lipídios, vitaminas e minerais (NOGUEIRA-NETO, 1997). As abelhas em contato com o pólen na flor produzem substâncias salivares, juntamente com a deposição de pequenas quantidades de néctar para adesão dos grãos nas corbículas, estrutura com formato de “cesta” localizada na tibia do terceiro par de pernas das abelhas, em destaque na figura 1. O pólen apícola é o resultado da aglutinação do pólen das flores com néctar ou secreções salivares da abelha (HERBERT e SHIMANUKI, 1978; VIT e SANTIAGO, 2008). Estes são posteriormente depositados em “potes de pólen” (FREITAS, 2003).

Figura 1 Colônia de *Melipona interrupta*, em destaque (seta), operária transportando o pólen apícola em corbículas.



Fonte própria.

O pote de pólen está localizado geralmente ao redor das células de cria, juntamente com os potes de mel (KERR et al. 1996; NOGUEIRA, 1997) (Figura 2). A descrição do mecanismo de armazenagem do pólen conforme se segue, é importante para contextualizar a interação entre substrato/inóculo (no caso a levedura), as quais nortearam as decisões metodológicas deste projeto. No pote de pólen as abelhas usam as mandíbulas para depositar a massa de pólen apíccola recém-colhida, regurgitam secreções ricas em enzimas α e β glucosidase provenientes das glândulas mandibulares e hipofaringeanas (NOGUEIRA-NETO, 1997), juntamente com microrganismo. Em seguida, o pote é vedado com cera, onde processos bioquímicos são continuados resultando em um novo produto, popularmente conhecido como saburá, rico em nutrientes essenciais para a sobrevivência da colônia (NOGUEIRA-NETO, 1997).

A composição bioquímica do pólen antes de ser processado no ninho varia de acordo com cada espécie de planta (ZUCOLOTO, 1994) e os fatores como idade e as condições nutricionais do vegetal de onde o pólen é obtido podem influenciar a sua composição (PORTELA e GALLEGOS, 1999).

Os componentes do pólen da flor são: exina (membrana mais externa) constituída por terpenos polímeros, material resistente conhecido como esporopolenina; Intina (membrana mais interna), composta por celulose e pectina, substâncias passíveis de digestão bacteriana; Protoplasma (conteúdo interno do pólen) no qual estão mergulhadas duas células: I - célula vegetativa, responsável pela organização do tubo polínico e, II - célula germinativa, composta pelo material genético destinado a unir-se à célula feminina. Esse conteúdo interno do pólen pode ser digerido por enzimas digestivas proteolíticas das abelhas (BRAND, 2011).

A composição nutricional do pólen consiste em proteínas, lipídios, fibras, mais de 21 sais minerais (cálcio, cloro, cobre, ferro, magnésio, iodo, molibdênio, selênio e etc) (MARCHINI et al., 2006), cerca de 34 vitaminas (A, B, C, D, E), oligo-minerais (cobalto, níquel, silício, titânio e etc.) (RIBEIRO e SILVA, 2007) e aminoácidos.

Já o pólen fermentado apresenta características distintas do pólen *in natura*. Este (pólen fermentado) é distribuído nas células de cria pelas abelhas operárias, homogeneizado com mel e enzimas em preparação à oviposição da rainha, em seguida a célula é vistoriada e fechada pelas operárias, permanecendo assim até a emergência do adulto. (MACHADO, 1971).

O pólen de *Melipona seminigra* e *M. interrupta* foram analisados por Rebelo et al (2016), assim como o de *Melipona scutellaris* por Ferreira (2012), de acordo com a tabela abaixo.

Tabela 1. Características físicas-químicas do pólen coletados por *Melipona seminigra* e por *Melipona interrupta* da Amazônia e *Melipona scutellaris* do Nordeste (retirado de Rebelo et al., 2016 e Ferreira, 2012).

Características físico-químicas	Pólen coletado por	Pólen coletado por	Pólen coletado por
	<i>M. seminigra</i>	<i>M. interrupta</i>	<i>M. scutellaris</i>
Umidade	53,39%	37,12%	51,7%
Proteína	37,63%	24,00%	19,7%
Lipídeos	10,81%	6,47%	2,5%;
Cinzas	4,03%	2,74%	2,4%;
Fibra bruta	9,30%	13,65%	2,76%
Carboidratos	25,66%	44,27%	
Energia	350,47%	331,33kcal%	
pH	3,70%	3,34	3,8
Sólidos totais	46,60%	62,87%	
Atividade de água	0,91%	0,85%	

Rebelo e colaboradores (2016), além dos dados acima também observaram traços característicos de substâncias fenólicas por cromatografia em camada delgada e, em espectros de RMN ¹H, sinais similares aos de α e β-glicose, alanina, etanol e ácido acético.

No trabalho de Vollet-Neto et al (2016) observou-se uma maior preferência de pólen fermentado (pólen) pelas abelhas do que pelo pólen fresco (apícola). De acordo com os autores esse comportamento pode ter sido acarretado pela existência de uma tendência inata das abelhas jovens, ou devido à aprendizagem associativa remanescente dos hábitos alimentares das larvas diante dos níveis elevados de substâncias atrativas no pólen.

A fermentação é o processo de degradação anaeróbia de nutrientes orgânicos para obtenção de energia na forma de Trifosfato de Adenosina (ATP) e é um processo biológico no qual diferentes tipos de microrganismos promovem a transformação de compostos orgânicos complexos (carboidratos, proteínas e lipídios) em produtos mais simples, tais como ácidos orgânicos voláteis (ácidos acético, propiônico, isobutírico e butírico), álcoois (etanol, butanol), dióxido de carbono (CAMPOS, 1999; TORTORA,

FUNKE e CASE et al. 2012). Para produzir energia a partir da glicose, os microrganismos utilizam dois processos gerais: a respiração e a fermentação. Ambos os processos normalmente iniciam com a glicólise que é a oxidação da glicose em ácido pirúvico, mas seguem vias diferentes posteriormente (TORTORA, FUNKE e CASE et al. 2012).

Em estudo sobre diversidade polínica de pólen no trato digestório da abelha *M. seminigra* foi mostrado haver grupos de pólen que não são processados no intestino, indicando a necessidade de processamento anterior, provavelmente mediado por microrganismos (UEIRA-VIEIRA et al. 2015).

A identificação de leveduras associadas às abelhas sem ferrão contribuirá para o conhecimento da estrutura microbiota da colmeia, podendo elucidar relações importantes para a vida em sociedade nestes insetos, bem como prospectar potenciais leveduras para uso em bioprocessos.

Figura 2 Ninho de *Melipona. interrupta*, no centro as células de cria e circundando, os potes de pólen e mel.



Fonte própria.

3 OBJETIVOS

Identificar leveduras associadas ao ninho das abelhas sem ferrão *Melipona interrupta* e *Cephalotrigona femorata* (Apidae: Meliponini) obtidas de três meliponários no Estado do Amazonas.

3.1 Objetivos específicos

- Validar o método RFLP para identificação de leveduras ambientais, especialmente de leveduras associadas às abelhas sem ferrão da Amazônia;
- Identificar leveduras associadas ao ninho das abelhas sem ferrão *M. interrupta* e *C. femorata* obtidas de três Meliponários do Amazonas, utilizando o sequenciamento dos transcritos internos ITS1, ITS2 e D1/D2 do fragmento do gene 26S rDNA;
- Estabelecer um banco de referência de leveduras associadas aos meliponídeos amazônicos para posterior prospecção de processos e biomoléculas de interesse biotecnológico.

4 MATERIAL E MÉTODOS

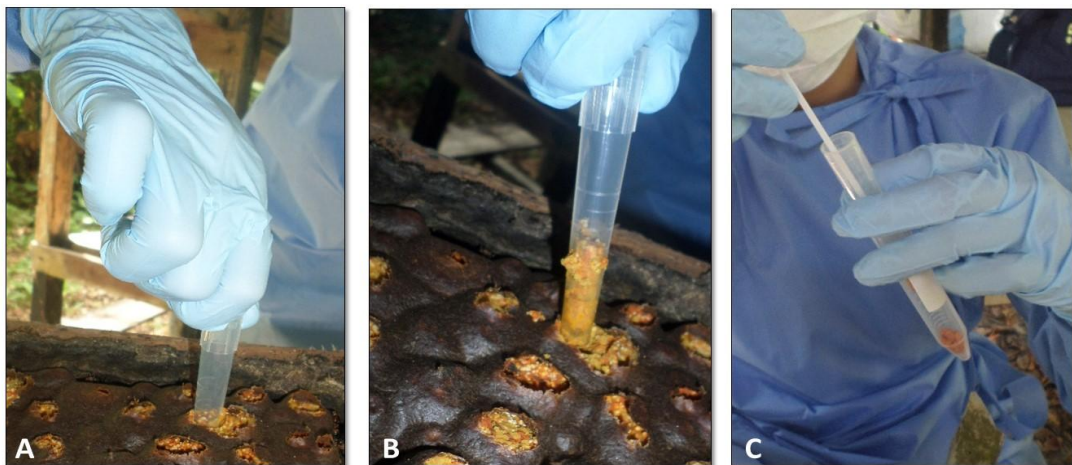
4.1 Áreas de coletas de pólen, mel, alimento larval e cera

As amostras de pólen, mel, alimento larval e cera de *M. interrupta* e *C. femorata* foram coletadas no Meliponário localizado em Iranduba ($03^{\circ} 12' 59.72''$ S, $60^{\circ} 79' 41.89''$ W) em setembro de 2017. Em outubro de 2017, outras duas coletas de pólen, mel, alimento larval e cera de *M. interrupta* foram realizadas nos meliponários localizados em Parintins ($02^{\circ} 38' 04.3''$ S, $56^{\circ} 44' 02.5''$ W) e Paraná de Parintins ($02^{\circ} 32' 38.4''$ S, $56^{\circ} 31' 22.6''$ W).

Uma colmeia (em estado de vigor) foi escolhida em cada Meliponário para extração de pólen de abelha (doravante denominado de pólen), mel, alimento larval e cera. Para a extração das amostras foi utilizado materiais estéreis e de cada colmeia três potes de pólen, três potes de méis e células de cria, as quais tiveram o material extraído e armazenados em *pools* em recipientes estéreis (falcon, 50 mL).

Para a obtenção do pólen, utilizou-se uma ponteira de plástico de 5000 µL, adaptada, conforme mostra a figura 3. A ponteira foi introduzida no pote de pólen na posição vertical para atingir uma profundidade suficiente, atingindo os diversos extratos de pólen que estavam depositados. Em seguida, as amostras foram armazenadas em tubos falcon de 20 mL com auxílio de *swab*.

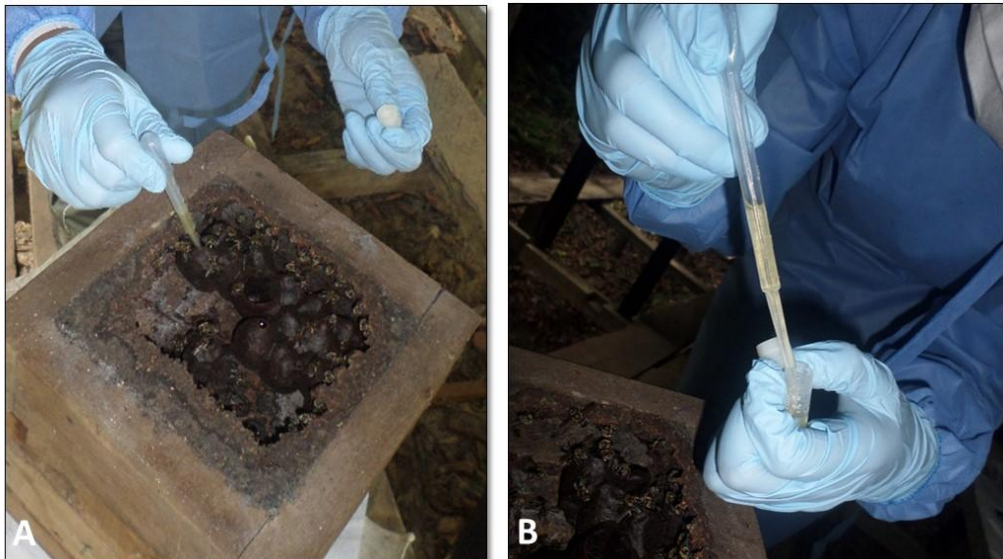
Figura 3 Representação das etapas de coleta de pólen de *Melipona interrupta*. A – Introdução da ponteira no pote de pólen para coleta (posição vertical) em diferentes camadas; B – Retirada da ponteira contendo diferentes camadas de pólen. C – Armazenamento do pólen coletado. O mesmo procedimento foi realizado para a abelha *Cephalotrigona femorata*.



Fonte própria.

Para obtenção do mel, utilizou-se uma pipeta Pasteur graduada e estéril para a retirada de 2 mL, os quais foram armazenados em tubos criogênicos de 2 mL (Fig. 4).

Figura 4 Obtenção de mel de *Melipona interrupta*. A – Introdução da pipeta no pote de mel; B – armazenamento do mel extraído. O mesmo procedimento foi realizado para a abelha *Cephalotrigona femorata*.



Fonte própria.

Os alvéolos de cada célula de cria foram abertos e com auxílio de pipeta automática estéril foi coletado 1mL de alimento larval, composto por pólen, néctar e secreções salivares, e armazenado em tubo Falcon de 15mL, conforme mostra a figura 5.

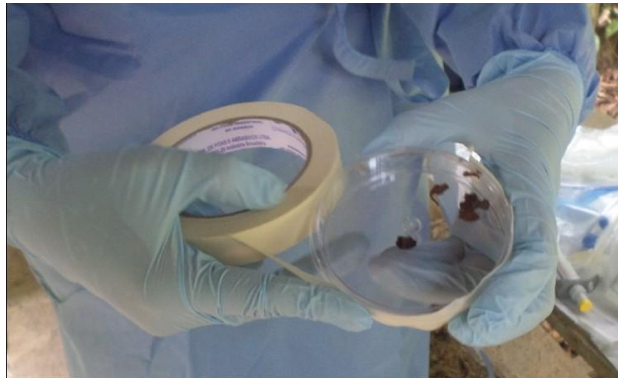
Figura 5 Coleta do alimento larval depositado nas células de cria de *Melipona interrupta* com auxílio de pipeta automática. A – Introdução da pipeta na célula de cria. B – Retirada da pipeta contendo alimento larval. O mesmo procedimento foi realizado para a abelha *Cephalotrigona femorata*.



Fonte própria.

Para a obtenção de cera, utilizou-se pinças estéreis para cortar fragmentos de 5 cm a qual foi armazenada em placa de Petri descartável (Fig. 6).

Figura 6 Armazenamento dos fragmentos de cera obtidos do ninho de *Melipona interrupta*. O mesmo procedimento foi realizado para a abelha *Cephaltrigona femorata*.



Fonte própria.

A temperatura e a umidade das colmeias foram medidas com Termo-Higrômetro Digital com Sonda de Temperatura Externa (*Incoterm*).

4.2 Processamento do pólen, mel, alimento larval e cera

Os experimentos foram realizados nas dependências da Universidade Federal do Amazonas (UFAM), Setor Sul, no Laboratório de Biodegradação (Bloco D) e Laboratório de Biotecnologia (Bloco M).

4.2.1 Pré-inóculo e plaqueamento

No preparo do pré-inóculo, utilizou-se: 1,0 g de pólen, 200 µL de mel e alimento larval e 1 cm de cera.

Cada amostra de pólen (n=12) foi diluído sucessivamente até a concentração de 10^{-3} para suspensão em meio de cultura líquida YPD (1% de extrato de levedura, 2% de peptona, 2% de dextrose, 0.02% cloranfenicol), seguida de incubação por 24 horas a 28°C sob agitação constante a 150rpm (*Cientec*, CT-712). Para a obtenção de isolados, após o período de incubação, cada diluição foi semeada pela técnica de espalhamento em placa no meio de cultura sólido (2% de ágar) e incubadas a 28°C em estufa BOD pelo período de até seis dias.

Após incubação, com auxílio de um palito de dente, uma pequena porção de cada colônia isolada foi semeada em meio sólido BDTM CHROMagarTM *Candida medium*, para a separação das leveduras em grupos de cores. As placas foram mantidas em incubadora BOD a 28 ± 0, 2°C até que houvesse crescimento das leveduras e produção de cores. Isolados que apresentaram o mesmo padrão de cores foram separados em grupos. Os grupos contendo até três isolados, tiveram todos os seus representantes selecionados para as etapas seguintes do estudo. Grupos contendo mais de três isolados foram estudados por amostragem: apenas três foram selecionados para a extração de DNA e posterior identificação molecular.

4.2.2 Extração de DNA dos isolados

As extrações de DNA foram realizadas de acordo com o protocolo estabelecido por Mota e Nobrega (2013) com modificações. Dois mililitros de uma cultura fresca em YPD foram centrifugados por 5 minutos, em minicentrífuga ajustada para velocidade máxima, seguido de descarte de sobrenadante e adição de 100 µL de tampão de lise [100 mM EDTA; 50 mM Tris pH 7,5; 1% SDS; 50 mM DTT; 0,2 mg/mL PK]. As amostras foram incubadas por 30 min a 60 °C. Logo em seguida, foram acrescidos 100 µL de 5 M acetato de potássio (v/v), homogeneizado e resfriado por 15 min em freezer - 20 °C. Em seguida os microtubos foram centrifugados por 15 min a 10.000 g. O sobrenadante foi recuperado e homogeneizado em 200 µL de isopropanol, seguido de centrifugação por 10 min em velocidade máxima. O sobrenadante foi descartado e o precipitado foi lavado com 500 µL de 70% etanol. Após centrifugação por 5 minutos, o sobrenadante foi descartado e as amostras foram levadas ao banho seco a 37 °C, para a evaporação do etanol residual. O DNA foi ressuspenso em 30 µL de TE-RNase (10 mM Tris-Cl pH 7,5, 1 mM EDTA, 10 µg/mL RNase) e incubado por 30 minutos a 37 °C.

O DNA extraído foi quantificado em aparelho espectrofotômetro – *NanoDrop* 2000 (*Thermo Scientific*), e a integridade foi avaliada a partir do perfil eletroforético em 1% gel de agarose corado com 0.5 µg/mL brometo de etídio. Em cada canaleta do gel foram adicionados 2 µL da amostra + 2 µL de corante azul de bromofenol, tendo como referência um marcador lambda da *Invitrogen*. O gel foi fotografado em transluminador ultravioleta Quantum (*Vilber Lourmat*).

4.2.3 PCR

A PCR foi realizada com o *kit* GoTaq[®] DNA Polymerase (Promega, Madison, WI, USA). Foi utilizado o volume final de 25 µL, e para tanto as concentrações finais foram: 1X do tampão para PCR, 1.5 mM MgCl₂, 0.2 mM dNTPs, 0.2 mM de cada iniciador, 377 e UniR (Tabela 1), 1- 100 ng/µL dos produtos de extração, 0.13 µL Taq DNA polimerase (5 U. µL⁻¹) e água ultrapura q.s.p. A amplificação foi realizada no termociclador ProFlex-PCR System (*Applied Biosystems*), segundo o programa que consta de uma desnaturação inicial a 95 °C por 3 min, seguida de 35 ciclos de: 95 °C 3 min, 58 °C 30 s, 72 °C 3 min. e um ciclo transferase terminal a 72 °C por 7 min. Seguida de eletroforese em 0,8% gel de agarose e subsequente fotodocumentação.

4.2.4 Purificação do produto da PCR

Os produtos da PCR foram purificados utilizando o *kit* AGENCOURT[®] AMPURE[®] XP, seguindo as recomendações do fabricante.

4.2.5 RFLP

Foi montado uma reação de digestão de 20 µL para todas as amostras, utilizando 2,0 µL de tampão 10X NEB 3, 0,4 µL de enzima *DdeI*, 10 µL de amplicon, completando com água ultrapura. O sistema foi incubado a 37 °C *overnight* (MOTA e NÓBREGA, 2013).

4.2.6 Gel de RFLP e análise dos fragmentos de restrição

Os padrões dos fragmentos de restrição foram verificados através de eletroforese horizontal a 140V por 120 min. em 2% gel de agarose corado com 0.5 µg/mL brometo de etídio. Em cada canaleta do gel foi adicionado todo o volume do sistema de digestão + corante azul de bromofenol. O perfil eletroforético foi avaliado a partir do uso do marcador 1kb *Plus* (Invitrogen). O gel foi fotografado a cada 30 min. para acompanhamento da separação dos fragmentos de restrição, totalizando 120 min. A análise do padrão de restrição foi feita com base no *Pattern Identification Guide* proposto por Mota e Nobrega (2013).

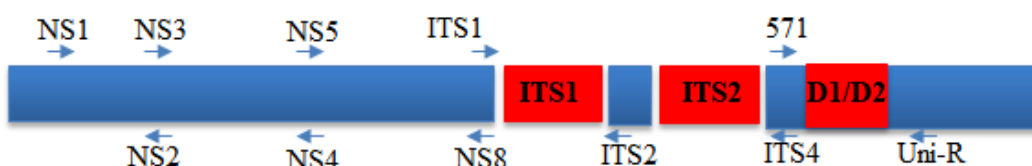
4.2.7 Reação de sequenciamento

A reação de sequenciamento por terminação de cadeia foi realizada com volume final de 10 µL, sendo 0.5 µL de *BigDye Terminator* (v3.1) (Applied Biosystems by Thermo), 2 µL de 5X tampão para sequenciamento, 50 ng do produto da PCR e 0.2 µM do iniciador e água ultrapura q.s.p. A ciclagem foi realizada em termociclador ProFlex-PCR System (*Applied Biosystems*), nas seguintes condições: 40 ciclos de 95 °C 30 s, 50 °C 30 s e 60 °C por 2 min (Tabela 1 e Fig. 7).

Tabela 2 *Primers* utilizados na reação de PCR e sequenciamento com seus respectivos códigos e referências.

Primer	Código	Sequência	Referência
NS1	377	5' AAC CTG GTT GAT CCT GCC AGT – 3'	WHITE, T.B.; LEE, 1990.
NS2	607	5' - GGC TGC TGG CAC CAG ACT TGC – 3'	
NS3	608	5' - GCA AGT CTG GTG CCA GCA GCC – 3'	
NS4	609	5' - CTT CCG TCA ATT CCT TTA AG – 3'	
NS5	610	5' - AAC TTA AAG GAA TTG ACG GAA G – 3'	
ITS3	350	5' GCA TCG ATG AAG AAC GCA GC – 3'	
ITS4	351	5' TCC TCC GCT TAT TGA TAT GC – 3'	
Uni-f	571	5' GCA TAT CAA TAA GCG GAG GAA AAG – 3'	
Uni-r	572	5' GGT CCG TGT TTC AAG ACG – 3'	FELL, J.W, 1993.
NS8	378	5' TGA TCC TTC TGC AGG TTC ACC TAC – 3'	FELL, J.W, 1993.
			WHITE, T.B.; LEE, 1990.

Figura 7 Representação física do amplicon, correspondente as regiões 18S, ITS1-5,8S-ITS2 e D1/D2 do gene 26S rRNA com seus respectivos *primers* internos. Números e setas indicam os *primers*, com suas posições relativas, e direção da síntese.



Fonte: Própria

4.2.8 Precipitação das reações de sequenciamento

Foram adicionados 4 µL da solução NG (1 mg.mL⁻¹ de glicogênio dissolvido em 5 M NH₄OAc) e 40 µL de etanol absoluto, homogeneizando-os por inversão e em seguida mantidos a -20 °C por 30 min. Os tubos foram centrifugados em velocidade máxima em centrífuga de bancada com rotor de placas. O sobrenadante foi desprezado

por inversão dentro da centrífuga com um pulso de 300 rpm. O precipitado foi lavado duas vezes com 110 µL de 70% etanol, com centrifugação entre as lavagens, a primeira por 20 min e a segunda por 10 min. O etanol foi descartado por inversão dentro da centrífuga, aumentando o pulso para 500 rpm, para secagem do precipitado final os tubos, ou placas, permaneceram em temperatura ambiente por alguns minutos e guardados a -20 °C, até o momento do sequenciamento.

4.2.9 Análise automática e processamento das sequências

As amostras foram dissolvidas em 10 µL de formamida, submetidas à desnaturação por 5 min. a 95 °C, seguido de um rápido resfriamento em gelo. Em seguidas, as amostras foram injetadas em analisador genético ABI 3500 (*Applied Biosystems by Thermo*) no protocolo de corrida *SeqStander*, capaz de determinar sequências de até 1000 nt.

As sequências obtidas foram analisadas com o programa *SqManPro* da suíte de aplicativos DNASTAR 12 (LASERGENE, 2016). A identificação por comparação das sequências obtidas contra os bancos de dados (GenBank, DDBJ, EMBL) foi realizada através da ferramenta BLAST, configurada na opção BLASTN contra o banco não redundante (nr) (ALTSCHUL et al. 1990).

4.3 Confecção do mapa de restrição

As sequências de cada grupo de leveduras (padrão de cores) foram submetidas à digestão, *in silico*, com a enzima *Dde I*, utilizando a ferramenta NEBcutter® da plataforma BioLabs®. Essa ferramenta prevê o padrão a ser obtido após a digestão *in vitro*, etapa essencial no processo de validação de novos padrões.

4.4. Análise filogenética

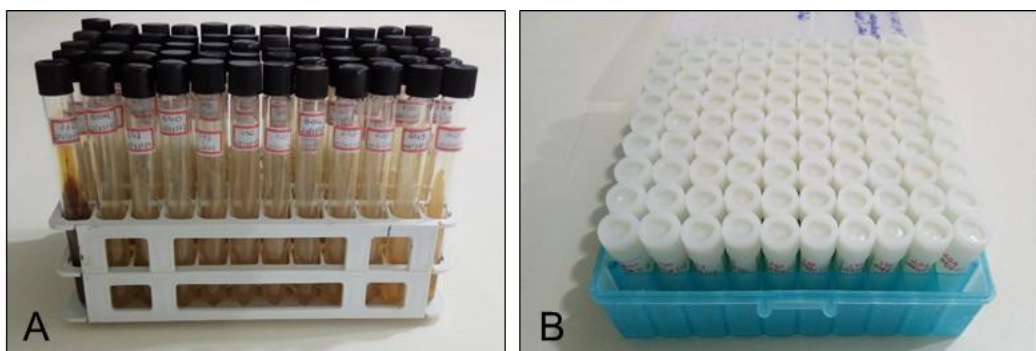
A história evolutiva foi inferida por um método probabilístico baseado no modelo de Tamura e Nei (1993), indicado pela ferramenta BestModel. A estabilidade da árvore foi determinada pelo teste estatístico de *bootstrap* a partir de 1000 replicatas (FELSENSTEIN, 1985). A análise envolveu quinze sequências de nucleotídeos não codificantes. As posições contendo *indels* foram eliminadas. Todas as etapas da análise

filogenética, incluindo o alinhamento múltiplo e a matriz de dissimilaridade, foram realizadas com o programa MEGA7 (KUMAR et al. 2016).

4.5 Preservação das leveduras

Os isolados obtidos foram submetidos à preservação em tubo inclinado (meio YPD sólido em tubo falcon de 40 mL) e criopreservados em freezer a -80 C, em solução YPD, 15% glicerol.

Figura 8 Representação dos métodos de preservação das leveduras: A- Tubo inclinado (meio YPD sólido em tubo falcon de 40 mL) e B- Criopreservados em freezer a -80 C, em solução YPD com 15% glicerol.

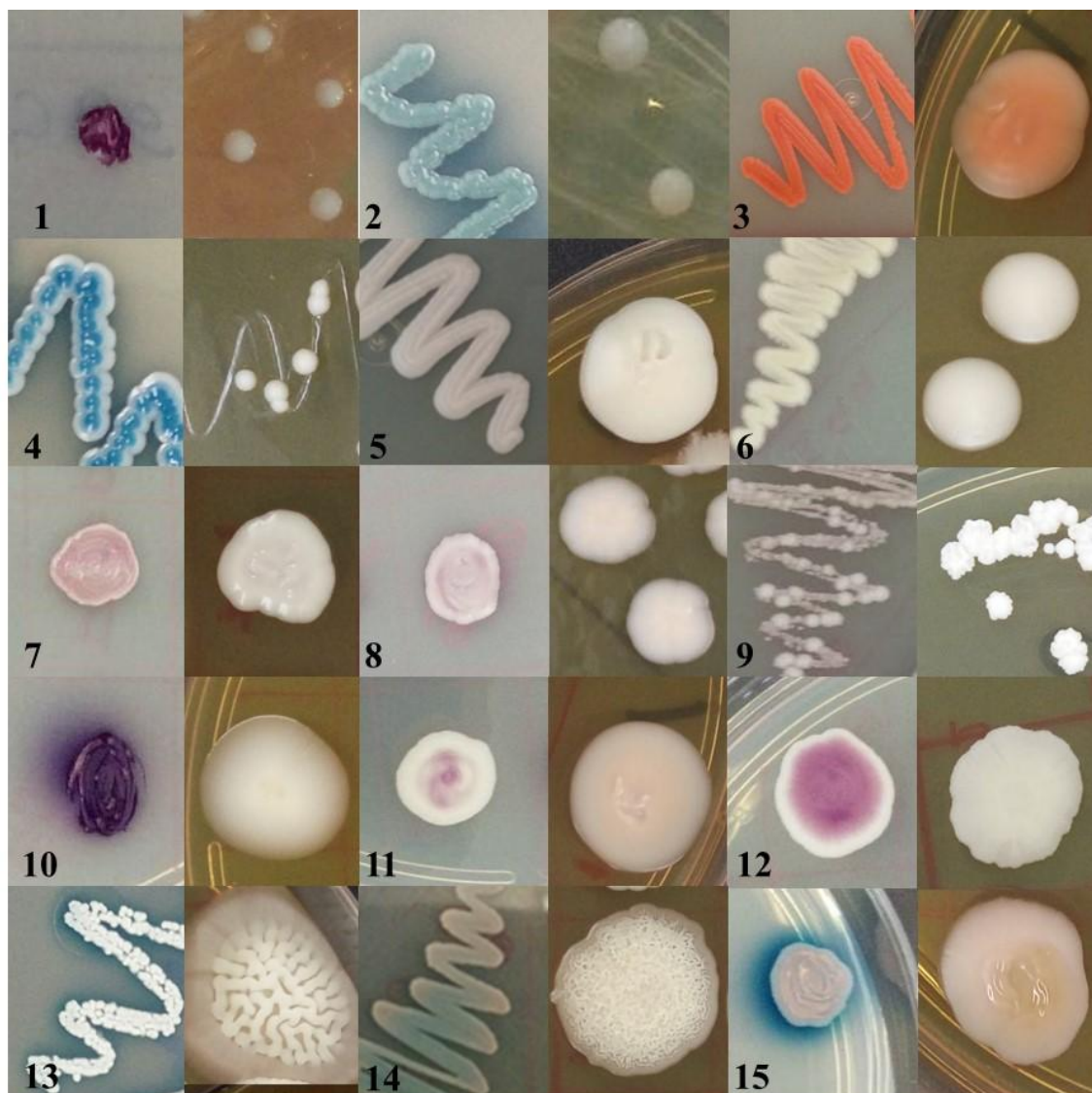


Fonte: Própria.

5 RESULTADOS

Foram isoladas 749 colônias de leveduras no total, considerando todos os substratos amostrados (pólen, mel, alimento larval e cera) dos três meliponários. Dessas, 402 leveduras foram isoladas na primeira coleta em Iranduba, no ninho de *M. interrupta* e 187 na segunda coleta. Em Parintins e Paraná de Parintins, também para *M. interrupta*, foram isoladas 60 e 87 leveduras, respectivamente. Já a partir dos substratos de *Cephalotrigona femorata*, coletados em Iranduba, foram isoladas 13 leveduras. Os 749 isolados foram subagrupados em 15 padrões distintos de cores (Fig. 9).

Figura 9. Características macroscópicas das leveduras isoladas. As características morfológicas das colônias foram observadas em meio cromogênico CHROMágár (lado esquerdo) e meio nutritivo YPD (lado direito). Os números codificam os 15 isolados estudados, respectivamente: 1-A1, 2-V1, 3-V9, 4-110, 5-443, 6-591, 7-621, 8-626, 9-630, 10-632, 11-635, 12-642, 13-692, 14-698 e 15-707.



A partir da triagem em substrato cromogênico, foram selecionadas três amostras de cada padrão de cor para extração de DNA genômico (Fig. 10 e Tab. 2) e os testes subsequentes de genotipagem.

Figura 10 Perfil eletroforético representativo da extração de DNA de leveduras de pólen, mel, alimento larval e cera de *Melipona interrupta* e *Cephalotrigona femorata* em gel de agarose a 1%. M1 – marcador DNA λ de 10 ng; M2 - marcador DNA λ de 20ng SM01–SM15 amostras de DNA.

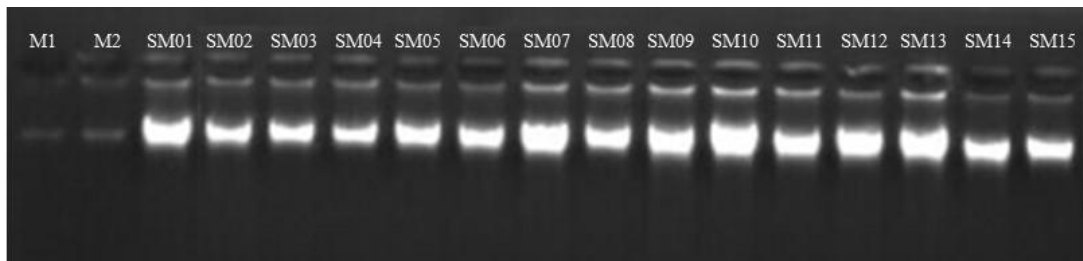


Tabela 3 Grau de pureza do DNA extraído de *Melipona interrupta* e *Cephalotrigona femorata*, quantificado em espectrofotômetro.

Linhagem	260/280	260/230
SM01	2.17	2.30
SM02	2.15	2.23
SM03	2.15	2.24
SM04	2.13	2.15
SM05	2.15	2.18
SM06	2.14	2.13
SM07	2.14	2.21
SM08	2.10	2.05
SM09	2.12	2.12
SM10	2.13	2.18
SM11	2.11	2.18
SM12	2.13	2.13
SM13	2.10	2.11
SM14	2.10	2.05
SM15	2.11	2.22

A PCR convencional com os primers 377 e Uni-R, que flanqueiam o gene rRNA 18S e região D1/D1 do gene rRNA 26S, resultou em amplicons com aproximadamente 3000 pb (Fig. 11). A RFLP dessa região amplificada revelou que os 15 morfotipos escolhidos possuem também polimorfismos de fragmentos de restrição (Fig. 12). Os 15 perfis de RFLP foram validados a partir do sequenciamento do amplicon e digestão, *in silico*, das sequências com a enzima de restrição *Dde I*, cujos sítios de restrição estão detalhados nos mapas de restrição de cada padrão (Fig. 13 e Apêndice 1), sugerindo uma coleção de microrganismos realmente distintos.

Figura 11 Perfil eletroforético em gel de agarose a 1% visualizado por brometo de etídio dos produtos da PCR da região 26S do rDNA amplificados a partir do pólen, mel, alimento larval e cera de *Melipona interrupta* e *Cephalotrigona femorata*.

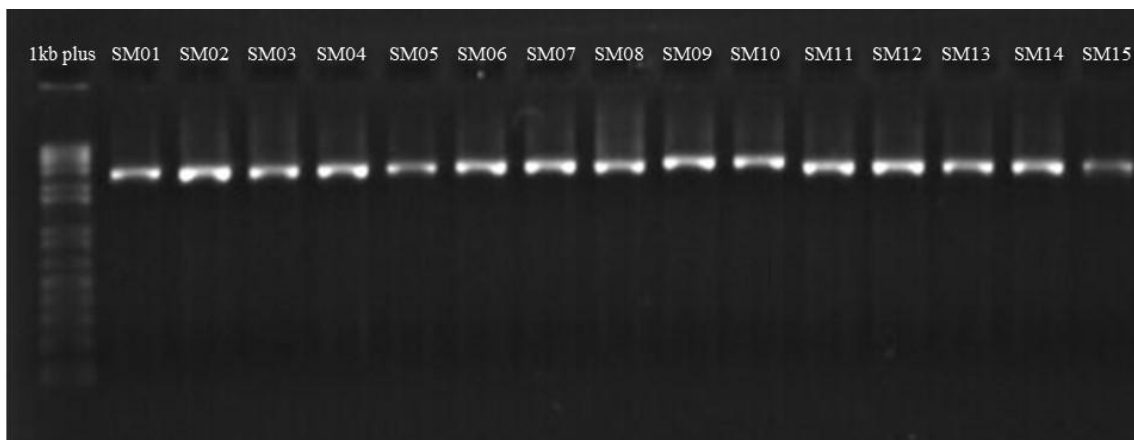


Figura 12 Perfis de restrição das leveduras. Linhagens: SM01 *Candida* sp., SM02 *Hyphopichia* sp., SM03 *Rhodotorula* sp., SM04 *Wickerhamiella versalitis*, SM05 *Debaryomyces* sp., SM06 *Candida orthopsisilosis*, SM07 *Candida apícola*, SM08 *Metschnikowia* sp., SM09 *Zygosaccharomyces siamensis*, SM10 *Hanseniaspora opuntiae*, SM11 *Pichia* sp., SM12 *Pichia kluyveri*, SM13 *Trichosporon asahii*, SM14 *Kodamaea ohmeri* e SM15 *Aureobasidium* sp. O padrão de restrição foi avaliado a partir do uso do marcador 1kb Plus (ao lado) de cada perfil.

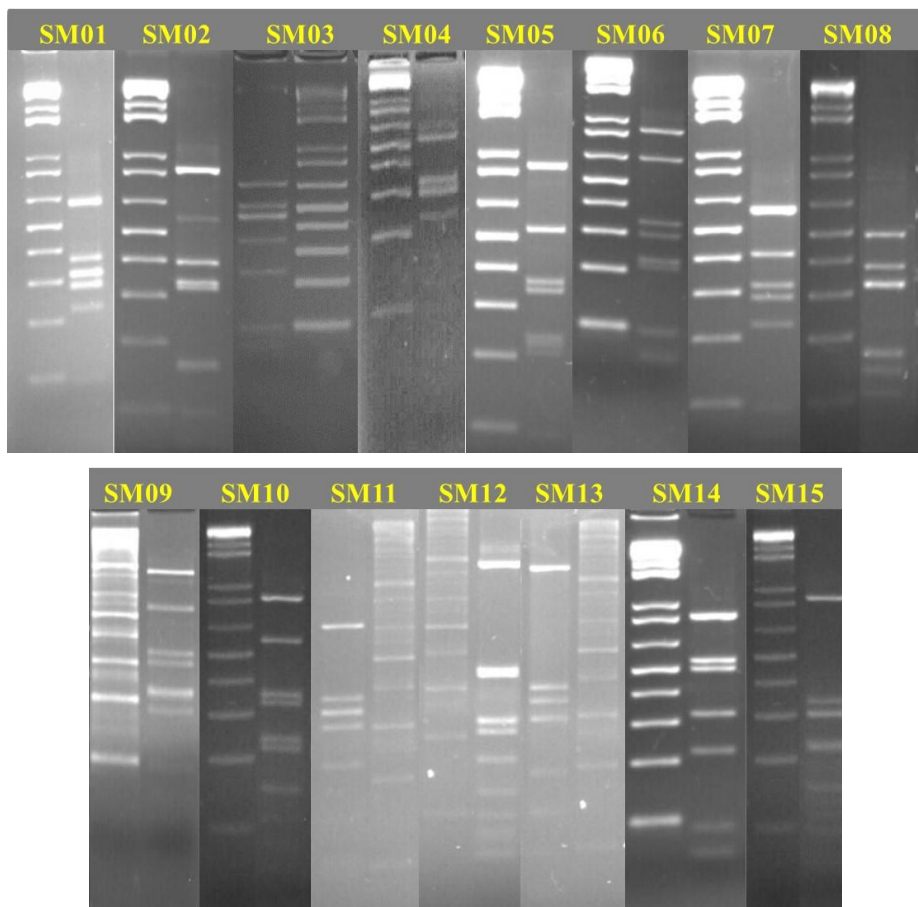
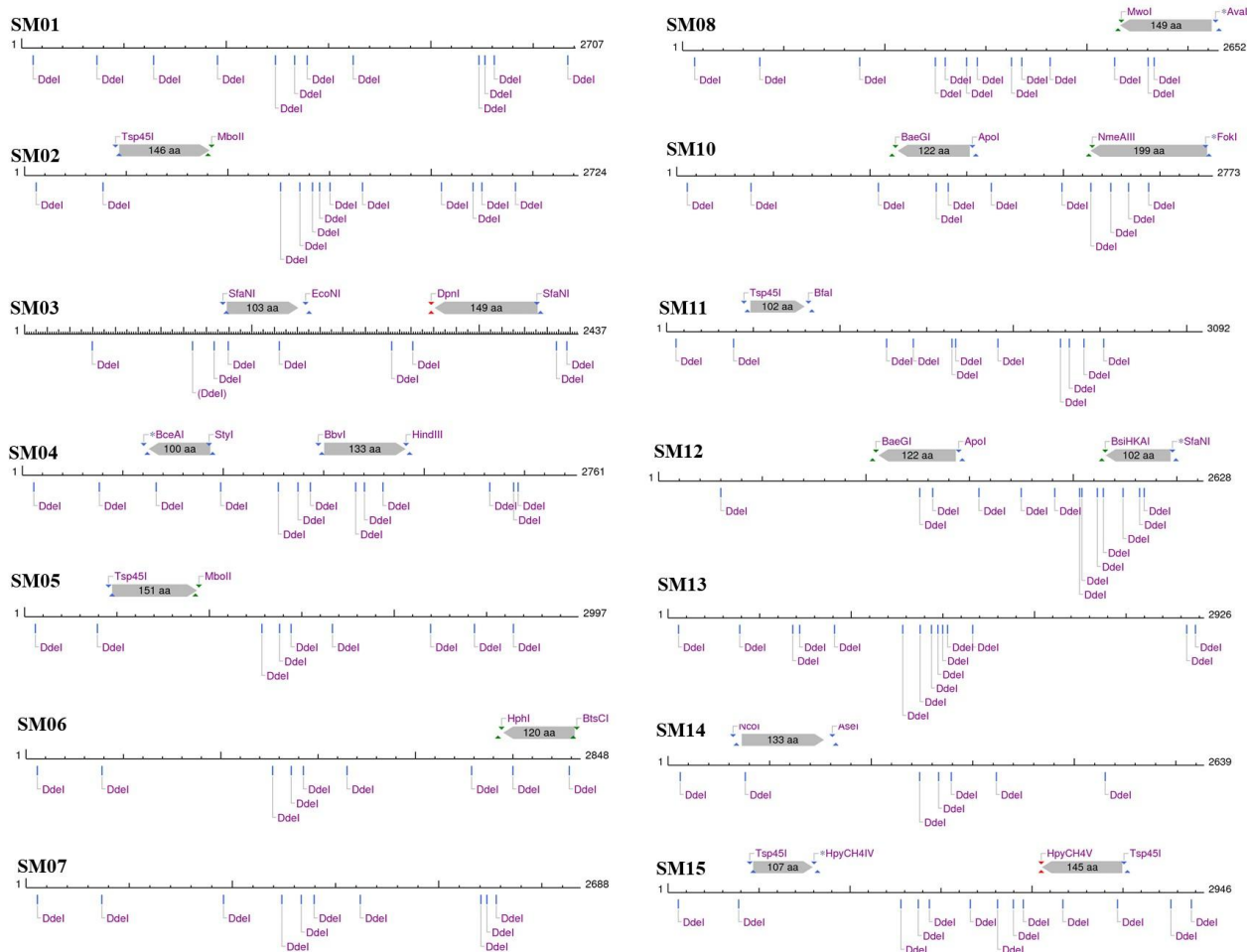


Figura 13 Mapa de restrição da digestão com a enzima *Dde* I prevista pela ferramenta *Nebcutter*. A análise *in silico* mostra a digestão de 14 linhagens de leveduras, são: SM01 *Candida* sp., SM02 *Hyphopichia* sp., SM03 *Rhodotorula* sp., SM04 *Wickerhamiella versalitis*, SM05 *Debaryomyces* sp., SM06 *Candida orthopsisilosis*, SM07 *Candida apícola*, SM08 *Metschnikowia* sp., SM10 *Hanseniaspora opuntiae*, SM11 *Pichia* sp., SM12 *Pichia kluyveri*, SM13 *Trichosporon asahii*, M14 *Kodamaea ohmeri* e SM15 *Aureobasidium* sp.



A grande maioria dos perfis de restrição não foi identificada entre os padrões estabelecidos por Mota e Nóbrega, (2013). Assim, foi necessário fazer uma busca em bancos de dados de sequências de nucleotídeos para identificação em nível de espécie, preferencialmente, ou em nível de gênero. Apesar de ter cerca de 3.000 pares de bases sequenciados, somente as sequências que compreendem o ITS1, ITS2 e D1/D2 foram utilizadas para fins de comparação, isto porque as sequências disponíveis nos bancos de dados em geral estão limitadas a estas regiões, a qualidade das sequências obtidas está no eletroferograma (Fig. 14). Com essa abordagem, foram identificadas as 15 linhagens apresentadas nesse trabalho, sete em nível de gênero (SM01 *Candida* sp., SM02 *Hyphopichia* sp., SM03 *Rhodotorula* sp., SM05 *Debaryomyces* sp., SM08 *Metschnikowia* sp., SM11 *Pichia* sp. e SM15 *Aureobasidium* sp.) e oito em nível de

espécie (SM04 *Wickerhamiella versalitis*, SM06 *Candida orthopsis*, SM07 *Candida apícola*, SM10 *Hanseniaspora opuntiae*, SM12 *Pichia kluyveri*, SM13 *Trichosporon asahii*, SM14 *Kodamaea ohmeri*, e SM09 *Zygosaccharomyces siamensis*) (Tabela 3 e Apêndice 2).

Figura 14 Eletroferograma gerado pelo analisador genético correspondente aos primers internos 607 e 377 da linhagem SM15 (707), mostrando a qualidade das sequências.

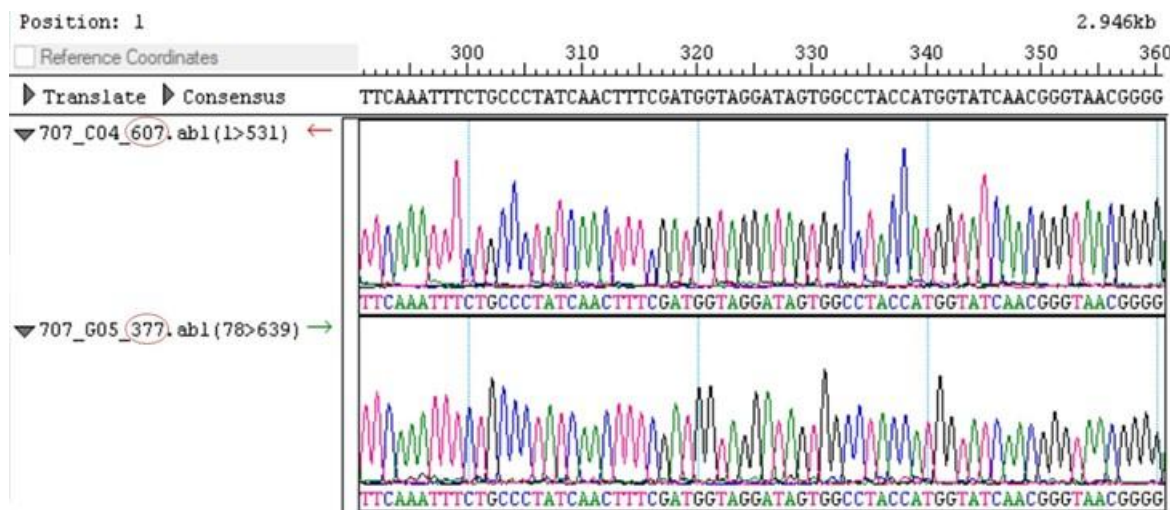


Tabela 4 Identificação de oito linhagens em nível de gênero e sete em nível de espécie, baseado no critério de dissimilaridade $\geq 1\%$ a partir do alinhamento de sequências que compreendem os marcadores ITS1, ITS2 e D1/D2.

Linhagem	Identificação	Genbank ID	Cobertura (%)	E-value	Identidade (%)
SM10	<i>Hanseniaspora opuntiae</i>	KC870065.1	100	0.0	99.90
SM03	<i>Rhodotorula</i> sp.	JX310560.1	100	0.0	99.84
SM09	<i>Zygosaccharomyces siamensis</i>	MF420378.1	53	0.0	99.80
SM12	<i>Pichia kluyveri</i>	JX188199.1	96	0.0	99.78
SM13	<i>Trichosporon asahii</i>	KT282395.1	100	0.0	99.74
SM14	<i>Kodamaea ohmeri</i>	KC111448.1	99	0.0	99.56
SM04	<i>Wickerhamiella versalitis</i>	KY106878.1	95	0.0	99.47
SM06	<i>Candida orthopsis</i>	FN812686.1	100	0.0	99.46
SM15	<i>Aureobasidium</i> sp.	FN665418.1	100	0.0	99.36
SM07	<i>Candida</i> sp.	EU926480.1	94	0.0	98.80
SM05	<i>Debaryomyces</i> sp.	GQ458025.1	100	0.0	98.40
SM11	<i>Pichia</i> sp.	DQ104714.1	97	0.0	98.25

SM02	<i>Hyphopichia</i> sp.	HF952839.2	93	0.0	97.65
SM08	<i>Metschnikowia</i> sp.	AY188370.1	96	0.0	97.06
SM01	<i>Candida</i> sp.	AY861673.1	93	0.0	95.85

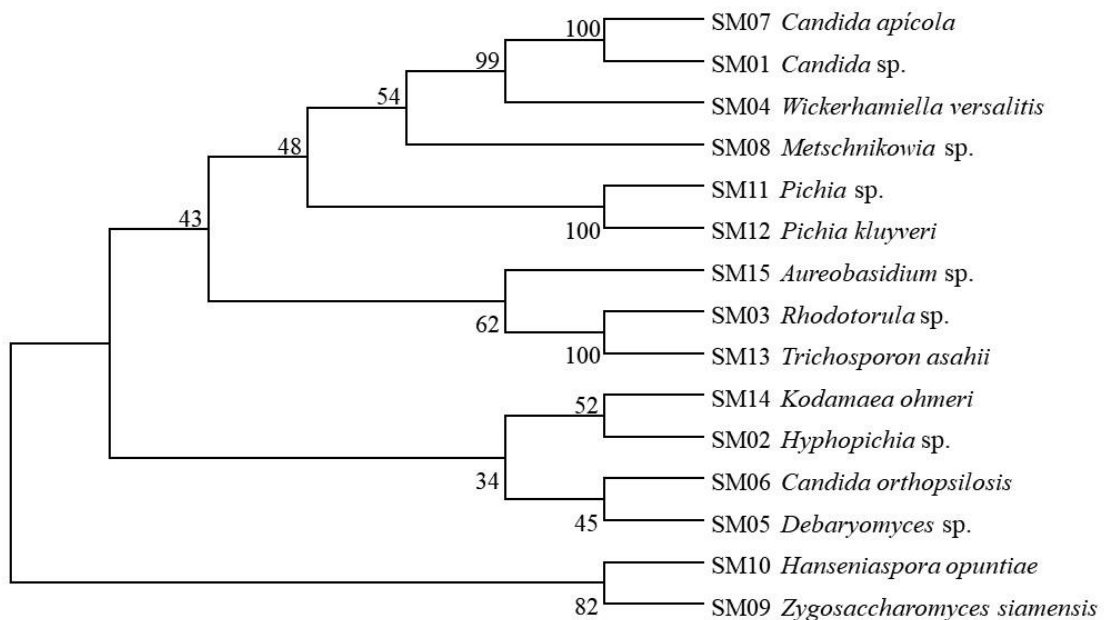
Os morfotipos mais frequentes foram semelhantes aos isolados A1 (doravante, linhagem SM01), 621 – SM07, V1 – SM02 e 443 – SM05 (Tabela 3). A linhagem SM01 possui 96% de identidade com *Candida cellae* (Apêndice 2), apresenta 37 mal pareamentos e três *indels*, e provavelmente é uma nova espécie, ou uma espécie sem sequência de DNA depositada nos bandos de dados. Outros isolados semelhantes ao SM01 foram encontrados nos quatro substratos estudados (pólen, mel, alimento larval e cera); é certamente a levedura mais abundante nos achados do presente projeto (Tabela 4). Outras possíveis espécies novas são as linhagens SM05 (*Debaryomyces* sp.), SM02 (*Hyphopichia* sp.), SM11 (*Pichia* sp.) e SM08 (*Metschnikowia* sp.).

Tabela 5 Ocorrência de leveduras associadas aos microambientes do ninho das abelhas sem ferrão *Melipona interrupta* (MI) e *Cephalotrigona femorata* (C) de três Meliponários no Amazonas (Iranduba, Parintins e Paraná de Parintins).

<i>opuntiae</i>						
SM14 <i>Kodamaea ohmeri</i>						
Total	207	8	299	5	76	6 148 749

A análise filogenética com base nas sequências obtidas nesse projeto apresenta o padrão característico de grupos polifiléticos, com baixa repetição de padrões para alguns ramos (*bootstrap* < 48%) ou ainda a separação de um mesmo gênero em ramos diferentes (Fig. 15). O gênero *Candida* é o mais polimórfico, isso porque esse gênero é dito virtual ou transitório, onde são classificadas as leveduras imperfeitas, isto é, sem o ciclo definido de reprodução sexuada. Entretanto, a partir da definição da fase sexuada as leveduras são reclassificadas para um gênero mais apropriado, em função da estrutura reprodutiva.

Figura 15 Análise da história evolutiva das leveduras associadas às abelhas sem ferrão pelo método da máxima verossimilhança. A árvore apresentada refere-se ao consenso do *bootstrap* e mostra apenas as relações evolutivas, sem considerar o tempo decorrido. Os números próximos aos nós referem-se à taxa de repetição para cada relação, tomadas a partir de 1000 replicatas. SM se referem às linhagens propostas no presente trabalho



6 DISCUSSÃO

Os insetos estão associados a microrganismos por meio de interações simbióticas, que provavelmente contribuíram para seu sucesso evolutivo. (FELDHAAR e GROSS, 2009). As leveduras, associadas aos insetos, vêm sendo descritas em diversas ordens, como: Neuroptera (NGUYEN et al. 2007), Lepidoptera (WITZGALL et al. 2012), Isoptera (BAUWENS et al. 2013), Hemiptera (PODSIADŁO et al. 2018), Coleoptera (JANICE et al. 2011), Diptera e finalmente, na ordem himenóptera, cujos principais representantes são os insetos sociais.

Os ninhos de insetos sociais fornecem uma fonte rica de alimentos para a sobrevivência de muitos microrganismos que, por sua vez, oferecem vários benefícios para os seus hospedeiros, como nutrientes e proteção contra patógenos. (MUELLER et al. 2005). Os estudos sobre identificação de leveduras associadas aos meliponídeos têm gerado dados taxonômicos importantes, pois, geralmente é reportado a identificação de novas espécies, tanto associada às provisões da colmeia (pote de pólen e pote de mel), quanto ao intestino das abelhas e no material fecal (ROSA et al. 2003; DANIEL et al. 2013; PALUDO et al. 2018).

Treze gêneros de leveduras foram identificados neste estudo (*Aureobasidium*, *Candida*, *Debaryomyces*, *Hanseniaspora*, *Hyphopichia*, *Kodamaea*, *Pichia*, *Metschnikowia*, *Rhodotorula*, *Trichosporon*, *Wickerhamiella* e *Zygosaccharomyces*) e espécies desses gêneros geralmente estão associadas a flores efêmeras e insetos florícolos (LACHANCE e KURTZMAN, 2011). Estes dados corroboram com os achados de Rosa e colaboradores (2003), onde, ao estudar provisões alimentares de abelha sem ferrão, identificaram leveduras dos gêneros: *Aureobasidium*, *Candida*, *Metschnikowia*, *Pseudozyma*, *Starmerella* e várias espécies de *Cryptococcus* e *Rhodotorula*.

É atribuído às leveduras um papel metabolicamente ativo no processamento e transformação do pólen dentro dos ninhos, pois enzimas secretadas por esses microrganismos contribuem para a biodisponibilização de nutrientes do substrato vegetal, melhorando assim a qualidade nutricional do alimento. Também são atribuídas às relações simbióticas entre leveduras e insetos, funções anabólicas (incluindo a síntese de aminoácidos, vitaminas, lipídios, esteróis, feromônios) e protetivas, como a

degradação de compostos tóxicos à colmeia (VEGA e DOWD, 2005, STARMER e LACHANCE, 2011; PALUDO et al. 2018; VAN ARNAM et al. 2018).

Os meliponídeos têm como preferência alimentar, o pólen fermentado (VOLLET-NETO et al. 2016), entretanto, o envolvimento direto das leveduras na biodisponibilização e/ou conversão metabólica dos nutrientes encontrados no pólen e mel ainda não estão elucidados. Sabe-se que o pólen fermentado apresenta características físico-químicas distintas do pólen *in natura*. Há indícios de produção de álcool e ácido acético, provenientes da fermentação promovida pelas leveduras (REBELO et al. 2016), que seriam os responsáveis pelo o odor acre característico do pólen de *M. interrupta*.

A biotransformação do pólen, em alimento foi a principal motivação desse projeto, pois pode ser fonte de novas enzimas com potencial aplicação na indústria biotecnológica. Assim, o delineamento experimental do projeto esteve voltado mais para a identificação de leveduras diferentes do que para a relação ecológica entre leveduras e abelhas ou um estudo restrito à diversidade.

A primeira coleta resultou em maior número de isolados porque o esforço amostral foi maior. Entretanto, entre as 402 leveduras isoladas dos substratos da abelha *M. interrupta* em Iranduba, foram identificadas apenas duas espécies diferentes: SM01 *Candida* sp. (401 isolados) e SM04 *Wickerhamiella versalitis* (1 isolado). É notável a baixa diversidade de leveduras isoladas da abelha *M. interrupta* em relação à abelha *C. femorata* coletada no mesmo meliponário ($n=13$ isolados). O extenso trabalho de isolamento de leveduras foi inicialmente desenhado para garantir a maior cobertura possível da diversidade existente, entretanto a grande repetição e a baixa diversidade reorientaram as coletas subsequentes que objetivaram alcançar um core diverso de leveduras.

A regra de ouro que define 3% de dissimilaridade para agrupamento em nível de espécie foi estabelecida com base na sequência do gene rRNA 18S, cujo produto compõe a subunidade menor do ribossomo, entretanto, quando se amplia a janela de análise contendo 4 regiões variáveis, a adoção dos 3% pode agrupar diferentes espécies, principalmente quando se trabalha com um grupo polifilético, como é o gênero *Candida* (ALID et al. 2013; PORTER et al. 2016). Portanto, nesse estudo foi adotado um *cutoff* conservador até que estudos futuros sejam realizados, caracterizando padrões de cultivo e microcultivo, bioquímicos e eventualmente outras regiões gênicas sequenciadas.

Adotando esse critério, foram identificadas oito linhagens em nível de espécie e sete linhagens em nível de gênero. O gênero *Metschnikowia* contem espécies intimamente associadas às flores. Há relatos de isolamento a partir do néctar, corola das flores, frutos e outras partes das plantas. Neste estudo, foi descrito pela primeira vez a ocorrência de levedura deste gênero (SM08 *Metschnikowia* sp) a partir do pólen e mel de *M. interrupta*. A presença dessas leveduras em diversos habitats pode estar associada ao fato de que esses fungos são vetorizados por meio de insetos como abelhas e moscas (LACHANCE et al. 2001). Estudos recentes têm mostrado que no néctar floral há presença de espécies de *Metschnikowia* produzindo compostos voláteis atrativos para os insetos que se alimentam em flores. O nicho dessa levedura está se tornando melhor compreendido com o conhecimento sobre sua diversidade genética e sua relação de mutualismo entre planta-polinizador (VEGA e HERRERA, 2012; RERING et al. 2017).

A linhagem SM09 *Zygosaccharomyces siamensis* foi isolada no presente estudo do mel de *M. interrupta*. Outras espécies deste gênero têm sido isoladas do estômago, pólen e mel de *Apis mellifera* (*Zygosaccharomyces* sp. e *Zygosaccharomyces favi*) (GILLIAM et al. 1974; CADEZ et al. 2015), assim como em pelotas de lixo da abelha sem ferrão *Tetragonista angustula* (*Zygosaccharomyces machadoi*). A função dessas leveduras no ninho está relacionada com a deterioração do alimento rico em carboidratos (PIMENTEL et al. 2005). No entanto, em estudo recente, realizado por Paludo e colaboradores (2018), foi descrito pela primeira vez uma relação de simbiose mutualística íntima entre larvas da abelha sem ferrão *Scaptutrigona depilis* com a levedura do gênero *Zygosaccharomyces* sp., provavelmente por fornecer precursores esteroides essenciais para a metamorfose da pupa, por meio da alimentação.

Os nossos achados são inéditos sobre a micobiota associada às abelhas sem ferrão e promissores numa perspectiva de melhor compreensão da ecologia de comunidades de leveduras associadas às abelhas (e insetos sociais em geral) e também biotecnológica, pois entre as linhagens identificadas, existem espécies que vislumbram aplicação na bioindústria, como: i) *Aureobasidium* sp., gênero composto por leveduras de importante aplicabilidade na bioindústria, capazes de produzir enzimas (amilase, proteinase, lipase, celulase, xilanase, mananase e transferases, antibióticos e polissacarídeos (PRASONGSUK et al. 2018); ii) *Debaryomyces* sp. com espécies capazes de acumular substâncias químicas finas lipossolúveis de alto valor, como carotenóides, surfactantes e aromatizantes, tem aplicação aminoxidase na degradação de aminas biogênicas em alimentos (BÄUMLISBERGER et al. 2015), são utilizadas no

controle biológico de fungos patogênicos em alimentos (MEDINA-CÓRDOVA et al. 2018), na produção de toxinas assassinas para o controle de doenças pós-colheita em indústrias agrícolas (ÇORBACI e UÇAR, 2017) e produção de álcoois secundários quirais, enantiomericamente puros, que podem ser facilmente convertidos em diferentes grupos funcionais (SAHIN, 2017); iii) *Kodamaea ohmeri*, utilizada na cofermentação de açúcares mistos, com excelente crescimento, tolerância a inibidores e produção de etanol em hidrolisados de palha de arroz (SHARMA et al. 2018) e; iv) *Pichia kluyveri* com potencial aromático e pectinolítico na fermentação mista de cacau (CRAFACK et al. 2013).

Quinze linhagens obtidas em três locais distintos de coleta é um número representativo, pois em geral, leveduras são restritivas em relação à colonização mútua de um mesmo habitat, em decorrência de um comportamento denominado *killer*, que é resultante da produção de toxinas *killer* (SANGORRIN, 2001). Assim, os dados obtidos neste trabalho em relação às leveduras associadas às abelhas *M. interrupta* e *C. femorata* abrem novas perspectivas para estudos posteriores com abordagens ecológicas e biotecnológicas, em especial (1) confirmação da identificação em nível de espécie por métodos dependentes de cultivo das oito linhagens identificadas em nível de espécie pela abordagem molecular; (2) definir se as sete linhagens identificadas em nível de gênero são de fato novas espécies, (3) prospectar biocompostos e bioprocessos nessas quinze linhagens, em especial enzimas, antioxidantes, aromatizantes, pigmentos naturais e antimicrobianos.

7 CONCLUSÃO

- ✓ O uso combinado do método de cultivo em YPD e triagem em CHROMágar permitiram pela primeira vez o acesso a leveduras associadas às abelhas nativas;
- ✓ A técnica de RFLP foi validada para amostras ambientais, a qual pode servir de modelo para estudos posteriores;
- ✓ Catalogou-se 15 linhagens de leveduras, das quais, seis são sugestivas para novas espécies e quatro apresentam potencial biotecnológico em diferentes ramos na bioindústria;
- ✓ Os achados inéditos deste trabalho contribuíram com os bancos de dados por meio do depósito de sequências nucleotídicas completas de grande interesse na identificação de leveduras.

8 PERSPECTIVAS

- ✓ Os dados obtidos permitem reiterar a necessidade de estudos ecológicos a fim de compreender o tipo de relação simbiótica que ocorre entre as leveduras e abelhas nativas;
- ✓ Recomenda-se a realização da caracterização morfológica, bioquímica e filogenética para a identificação das leveduras sugestivas como novas espécies e ainda, novas parcerias com grupos de pesquisas especializados em taxonomia de leveduras;
- ✓ E, numa perspectiva biotecnológica, sugere-se a disponibilização das leveduras para prospecção de processos e biomoléculas de interesse biotecnológico em trabalhos futuros, principalmente das linhagens apontadas com potenciais aplicações na bioindústria (*Debaryomyces* sp. e *Aureobasidium* sp.).

9. REFERÊNCIAS BIBLIOGRÁFICAS

- ALTSCHUL, S.F.; GISH, W.; MILLER, W.; MYERS, E.W.; LIPMAN, D.J. Basic local alignment search tool. *J. Mol. Biol.* 215, 403-410 (1990).
- BARRIGA, E.J.C.; LIBKIND, D.; BRIONES, A.I.; IRANZO, J.Ú.; PORTERO, P.; ROBERTS, I.; JAMES, S.; MORAIS, P. B.; ROSA, C. A. Yeasts biodiversity and its significance: case studies in natural and human-related environments, ex situ preservation, applications and challenges. In: GRILLO, O.; VENORA, G. (Eds.), *Changing Diversityin Changing Environment*. InTech – Open Access Company, 55–86p (2011).
- BÄUMLISBERGER, M.; MOELLECKEN, U.; KÖNIG, H.; CLAUS, H. The Potential of the yeast *Debaryomyces hansenii* H525 to degrade biogenic amines in food. *Microorganisms*. 3(4): 839-850 (2015).
- BAUWENS, J.; MILLET, C.; TARAYRE, C.; BRASSEUR, C.; DESTAIN, J.; VANDENBOL, M.; THONART, P.; PORTETELLE, D.; DE PAUW, E.; HAUBRUGE, E.; FRANCIS, F. Symbiont diversity in reticulitermes santonensis (Isoptera: Rhinotermitidae): investigation strategy through proteomics. *Environ Entomol*. 42(5): 882-7 (2013).
- BRAND, H. O pólen coletado pelas abelhas sem ferrão (Anthophila , Meliponinae), Nota (Short communication). *Acta Biol. Par.*, Curitiba. 40 (3-4): 129-133 (2011).
- ČADEZ, N.; FÜLÖP, Z.; DLAUCHY, D.; PÉTER, G. *Zygosaccharomyces favi* sp. nov., an obligate osmophilic yeast species from bee bread and honey. *Antonie van Leeuwenhoek*. 107 (3): 645–654 (2015).
- CAMARGO, J.M.F. Biogeografia de Meliponini (Hymenoptera, Apidae, Apinae): A Fauna Amazônica. Anais do Encontro Sobre Abelhas, Ribeirão Preto, SP, Brasil.1(194): 46-59, 194 (1994).
- CAMARGO, J.M.F.; PEDRO, S.R.M. Meliponini Lepeletier, 1836. Em MOURE, J.S.; URBAN, D.; MELO, G.A.R (Orgs). Catálogo das Abelhas (Hymenoptera, Apoidea) na Região Neotropical - versão online (2013). Disponível em <http://www.moure.cria.org.br/catalogue>. Acessado em 12 /07/2018.

- CAMPOS, L.A.O. Abelhas indígenas sem ferrão: o que são? Informe agropecuário, Belo Horizonte. 13 (149): 3-6 (1987).
- ÇORBACI, C.; UCAR, F.B. Production and optimization of killer toxin in *Debaryomyces hansenii* strains. Braz. Arch. Biol. Technol. 60: e170339 (2017).
- CORTOPASSI-LAURINO, M.; ASSIS, M. da G.P.; NASCIMENTO, R.V. Observações de visita a um meliponário nos arredores de Manaus-AM. Revista Mensagem Doce, APACAME. 110, 4p. (2011). Disponível em: <http://www.apacame.org.br/msgdoce.htm>
- COUTO, F. M. M. Leveduras produtoras de b-glicosidase e pectinase. Dissertação, Programa de Pós-Graduação em Biologia de fungos da Universidade Federal de Pernambuco, Recife. 66p. (2008).
- CHRISTENSEN, T.A. Methods in insect sensory neuroscience: CRC Press (2010).
- CRAFACK, M.; MIKKELSEN, M.B.; SAERENS, S.; KNUDSEN, M.; BLENNOW, A.; LOWOR, S.; TAKRAMA, J.; SWIEGERS, J.H.; PETERSEN, G.B.; HEIMDAL, H.; NIELSEN, D.S. Influencing cocoa flavour using *Pichia kluyveri* and *Kluyveromyces marxianus* in a defined mixed starter culture for cocoa fermentation. International Journal of Food Microbiology. 167, 103–116 (2013).
- CRUZ, T.M.L.; COUTO F.M.M.; FRANÇA, G.S.; LARANJEIRA, D.; NEVES, R.P. Atividade da celulase de leveduras isoladas de frutos de meloeiro. In: IX Jornada de Ensino, Pesquisa e Extensão (2009).
- DANIEL, H.M.; ROSA, C.A.; THIAGO-CALAÇA, P.S.S.; ANTONINI, Y.; BASTOS, E.M.A.F.; EVRARD, P.; HURET, S.; FIDALGO-JIMÉNEZ.; LACHANCE, M.A. *Starmerella neotropicalis* f. a., sp. nov., a yeast species found in bees and pollen. International Journal of Systematic and Evolutionary Microbiology. 63, 3896-3903 (2013).
- DE BARY, A. Die Erscheinung der Symbiose. Straburg: Verlag Trübner (1879).
- DOUGLAS, A.; SMITH, D. Are endosymbioses mutualistic? Trends in ecology and evolution. 4 (11): 350-352 (1989).
- DOUGLAS, A.E. The microbial dimension in insect nutritional ecology. Nutritional Ecology. 23, 38-47 (2009).

- DOWD, P.F. Insect fungal symbionts: a promising source of detoxifying enzymes. *J Indust Microbiol.* 9, 149–161 (1992).
- ENGEL, P.; MORAN, N.A. The gut microbiota of insects-diversity in structure and function. *FEMS Microbiology Reviews.* 37, 699-735 (2013).
- FELL, J.W. Rapid identification of yeast species using three primers in a polymerase chain reaction. *Mol Mar Biol Biotechnol.* 2, 174-180 (1993).
- FELDHAAR H.; GROSS R. Insects as hosts for mutualistic bacteria. *Int. J. Med. Microbiol.* 299, 1–8 (2009).
- FELSENSTEIN J. Confidence limits on phylogenies: An approach using the bootstrap. *Evolution* 39:783-791 (1985).
- FERREIRA, R.C. *Avaliação das características físico-químicas e microbiológicas do pólen da Melipona scutellaris Latreille submetido a diferentes processos de desidratação.* Dissertação, Programa de Pós-graduação em Ciência de Alimentos, Faculdade de Farmácia, Universidade Federal da Bahia. 105p. (2012).
- FREITAS, B. M. Meliponíneos. A vida das abelhas. Universidade Federal do Ceará, Fortaleza, Brasil, CD-ROM (2003).
- FOKKEMA, N.J.; DEN-HOUTER J.G.; KOSTERMAN Y.J.C.; NELIS A.L. Manipulation of yeasts on field-grown wheat leaves and their antagonistic effect on *Cochliobolus sativus* and *Septoria nodorum*. *Trans. Br. Mycol. Soc.* 72, 19-29 (1979).
- GIBSON, C.M.; HUNTER, M.S. Extraordinarily widespread and fantastically complex: comparative biology of endosymbiotic bacterial and fungal mutualists of insects. *Ecology Letters.* 13 (2): 223-234 (2010).
- GILLIAM, M. Identification and roles of non-pathogenic microflora associated with honey bees. *FEMS Microbiol. Lett.* 155, 1-10 (1997).
- GORI, K.; SORENSEN, L.M.; PETERSEN, M.A.; JESPERSEN, L.; ARNEBORG, N. *Debaryomyces hansenii* strains differ in their production of flavor compounds in a cheese-surface model. *Microbiology open.* 1 (2): 161-168 (2012).
- HERBERT, E.W.JR; SHIMANUKI, H. Chemical composition and nutritive value of bee-collected and bee-stored pollen. *Apidologie.* 9 (1): 33-40 (1978).

INGLIS, G.D.; SIGLER, L.; GOETTEL, M.S. Aerobic microorganisms associated with alfalfa leafcutter bees (*Megachile-Rotundata*). *Microb. Ecol.* 26, 125-143 (1993).

JANICE L. HOUSEKNECHT, ERICA L. HART, SUH, S.U.; ZHOU, J.J. Yeasts in the *Sugiyamaella* clade associated with wood-ingesting beetles and the proposal of *Candida bullrunensis* sp. nov. *International Journal of Systematic and Evolutionary Microbiology*. 61, 1751–1756 (2011).

KAČANIOVÁ, M.; JURÁČEK, M.; CHLEBO, R.; KNAZOVICKA, V.; KADASI-HORÁKOVÁ, M.; KUNOVA, S.; LEJKOVÁ, J.; HAŠČÍK, P.; MAREČEK, J.; SIMKO, M. Mycobiota and mycotoxins in bee pollen collected from different areas of Slovakia. *Journal of Environmental Science and Health, Part B*. 46, 623-9 (2011).

KALTENPOTH, M.; ENGL, T. Defensive microbial symbionts in Hymenoptera. *Funct. Ecol.* 28, 315–327 (2013).

KROISS, J.; KALTENPOTH, M.; SCHNEIDER, B.; SCHWINGER, M.G.; HERTWECK, C.; MADDULA, R.K.; STROHM, E.; SVATOS, A. Symbiotic Streptomyces provide antibiotic combination prophylaxis for wasp offspring. *Nat. Chem. Biol.* 6, 261–263 (2010).

KUMAR, S.; STECHER, G.; TAMURA, K. MEGA7: Molecular Evolutionary Genetics Analysis version 7.0 for bigger datasets. *Molecular Biology and Evolution*. 33:1870-1874 (2016).

KURTZMAN, C.P. Molecular taxonomy of the yeasts. *Yeast*. Volume 10, Issue 13 December. 1727-1740p (1994).

KURTZMAN, C.P.; FELL, J.W. *The Yeasts, a Taxonomic Study*. Elsevier Science, Amsterdam (1998).

LACHANCE, M.A.; BOWLES, J.M.; CHAVARRIA-DIAZ, M.M.; JANZEN, D.H. *Candida cleridarum*, *Candida tilneyi*, and *Candida powellii*, three new yeast species isolated from insects associated with flowers. *Int. J. Syst. Evol. Microbiol.* 51, 1201-1207 (2001).

LACHANCE, M. A.; KURTZMAN, C. P. *Kodamaea* Y. Yamada, T. Suzuki, Matsuda.; Mikata emend. Rosa, Lachance, Starmer, Barker, Bowles and Schlag-Edler (1999). In

The Yeasts – a Taxonomic Study, 5th edn, pp. 483–490. Edited by C. P. Kurtzman, J. W. Fell and T. Boekhout. Amsterdam: Elsevier (2011).

MACHADO, J.O. Simbiose entre as abelhas sociais brasileiras (Meliponinae, Apidae) e uma espécie de bactéria. Ciência e Cultura. 23, 625–633 (1971).

MARCHINI, L.C.; DOS REIS, V.D.A.; MORETI, A.C.C.C. Composição físico-química de amostras de pólen coletado por abelhas africanizadas *Apis mellifera* (Hymenoptera: Apidae) em Piracicaba, Estado de São Paulo. Ciência Rural. 36, 949-953 (2006).

MAIA-SILVA, C.; HRNCIR, M.; SILVA, C.I.; IMPERATRIZ-FONSECA, V.L. Survival strategies of stingless bees (*Melipona subnitida*) an unpredictable environment, the Brazilian tropical dry forest. Apidologie. 46, 631–643 (2015).

CÓRDOVA, N.M.; MENDOZA, S.R.; HERNÁNDEZ-MONTIEL, L.G.; ÂNGULO, C. The potential use of *Debaryomyces hansenii* for the biological control of pathogenic fungi in food. Biological Control. 121, 216-222 (2018).

MICHENER, C.D. The social behavior of the bees. Harvard University Press, Massachusetts (1974).

MICHENER, C.D. The Bees of the World. Johns Hopkins, Baltimore. MD (2000).

MICHENER, C.D. The Bees of the World. 2nd Edition, John Hopkins University Press, Baltimore (2007).

MICHENER, C.D. The Meliponini. In: Vit P, Pedro SRM, Roubik D (eds) Pot-honey: a legacy of stingless bees. Springer, New York. 3–17p. (2013).

MONTES DE OCA, R.; SALEM, A.Z.M.; Kholif, A.E.; MONROY, H.; PÉREZ, L.S.; ZAMORA, J.L.; GUTIÉREZ, A. Yeast: Description And Structure. In book: YEAST ADDITIVE AND ANIMAL PRODUCTION, Publisher: PubBioMed Central Research Publishing Services (India), Editors: A.Z.M. Salem, A.E. Kholif, A.K. Puniya. 4-13p. (2016).

MOTA, A.J.; NOBREGA, F.G. Unequivocal Identification of Fungi, Especially *Candida* and related species of medical interest. J Med Diagn Meth. 2 (142): 1-13 (2013).

MUELLER, U.G.; GERARDO, N. Fungus-farming insects: Multiple origins and diverse evolutionary histories. Proceedings if the National Academic Society, Washington .99 (24): 15247-15249 (2002).

NACIF-MARÇAL L. *Comunidades bacterianas associadas a colônias de abelhas amazônicas sem ferrão da espécie Melipona seminigra: diversidade e potencial enzimático.* Tese (Doutorado), Programa Multi-Institucional de Pós-Graduação em Biotecnologia, Universidade Federal do Amazonas. 66p (2017).

NGUYEN, N.H.; SUH, S.O.; BLACKWELL, M. Five novel *Candida* species in insect- associated yeast clades isolated from neuroptera and other insects. *Mycologia*. 99, 842–858 (2007).

NOGUEIRA-NETO, P. *Vida e Criação de Abelhas Indígenas Sem Ferrão*. São Paulo: Ed. Nogueirapis. 446p. (1997).

OLIVEIRA, M.L.; MORATO, E.F.; GARCIA, M.V.B. Diversidade de espécies e densidade de ninhos de abelhas sociais sem ferrão (Hymenoptera: Meliponinae) em floresta de terra firme na Amazônia Central. *Rev. Bras. Zool.* 12(1):13-14 (1995).

REBELO, K. S. *Caracterização química, físico-química e espectroscópica do pólen coletado por abelhas sem ferrão amazônicas*. Dissertação, Programa de pós-graduação em biotecnologia da Universidade Federal do Amazonas. 112p. (2011).

REBELO, K.S.; FERREIRA, A.G.; CARVALHO-ZILSE, G.A. Physicochemical characteristics of pollen collected by Amazonian stingless bees. *Ciência Rural, Santa Maria*. 46 (5): 927-932 (2016).

RIBEIRO, J. G.; SILVA, R. A. Estudo comparativo da qualidade de pólen apícola fresco, recém processado, não processado e armazenado em freezer e pólen de marca comercial através de análises fisico-químicas. *Tecnologia & Desenvolvimento Sustentável*, Ano 1, março (2007).

ROSE, A.H.; Harrison, J.S. (Eds.), *The yeasts* Academic Press: New York. 123-180 (1987).

PEDRO, S.R.M. The Stingless Bee Fauna In Brazil (Hymenoptera: Apidae). *Sociobiology*. 61 (4): 348-354 (2014).

- PIMENTEL, M.R.C.; ANTONINI, Y.; MARTINS, R.P.; LACHANCE, M.A.; ROSA, C.A. *Candida riodocensis* and *Candida cellae*, two new yeast species from the *Starmerella* clade associated with solitary bees in the Atlantic rain forest of Brazil. FEMS Yeast Research. 5, 875–879 (2005).
- PRASONGSUK, S.; LOTRAKUL, P.; ALI, I.; BANKEEREE, W.; PUNNAPAYAK, H. The current status of *Aureobasidium pullulans* in biotechnology. Folia Microbiol (Praha). 63 (2): 129-140 (2018).
- PODSIADŁO, E.; MICHALIK, K.; MICHALIK, A.; SZKLARZEWICZ, T. Yeast-like microorganisms in the scale insect *Kermes quercus* (Insecta, Hemiptera, Cocco morpha: Kermesidae). Newly acquired symbionts?. Arthropod Struct Dev. 47 (1): 56-63 (2018).
- PORTELA, E. M. R.; GALLEGOS, J. C. S. Alimentación de las abejas: Aplicación práctica de los fundamentos fisiológicos de la nutrición. Portada y gráficos: Elena M. Roblas Portela. 195p. (1999).
- RAVEN, P.H.; EVERET, E.F.; EICHHORN, S.E. Biología Vegetal, 7º ed. Guanabara Koogans. RJ (2007).
- REBELO, K.S.; FERREIRA, A.G.; CARVALHO-ZILSE, G.A. Physicochemical characteristics of pollen collected by Amazonian stingless bees. Ciência Rural, Santa Maria. 46 (5): 927-932 (2016).
- RERING, C.C.; BECK, J.J.; HALL, G.W.; MCCARTNEY, M.M.; VANNETTE, R.L. Nectar-inhabiting microorganisms influence nectar volatile composition and attractiveness to a generalist pollinator. New Phytologist. 1-10 (2017).
- ROSA, C.A.; VIANA, E. M.; MARTINS, R. P.; ANTONINI, Y.; LACHANCE, M.A. *Candida batistae*, a new yeast species associated with solitary digger nesting bees in Brazil. Mycologia. 91, 428-433 (1999).
- ROSA, C.; LACHANCE, M.A.; SILVA, J.O.C.; TEIXEIRA, A.C.; MARINI, M.M.; ANTONINI.; MARTINS, R.P. Yeast communities associated with stingless bees. FEMS Yeast Research. 4, 271-275 (2003).
- ROSA, C.R.; LACHANCE, M.A. *Zygosaccharomyces machadoi* sp. n., a yeast species isolated from a nest of the stingless bee *Tetragonisca angustula*. Lundiana 6 (supplement). 27-29 (2005).

- ROUBIK, D.W.; WHEELER, Q.D. Flightless beetles and stingless bees: Phoresy of *Scotocryptine beetles* (Leiodidae) on their meliponine hosts (Apidae). *J. Kansas Entomol. Soc.* 55, 125-135 (1982).
- SACHS, J.L.; SKOPHAMMER, R.G.; REGUS, J.U. Evolutionary transitions in bacterial symbiosis. *PNAS.* 10, 10800-10807 (2011).
- SANGORRIN. Killer behaviour in wild wine yeasts associated with Merlot and Malbec type musts spontaneously fermented from Northwestern Patagonia (Argentina). 41 (2):105-113 (2001).
- ŞAHİN, E. *Debaryomyces hansenii* as a new biocatalyst in the asymmetric reduction of substituted acetophenones, *Biocatalysis and Biotransformation.* (35):5, 363-371 (2017).
- SHARMA, S.; ARORA, A.; SHARMA, P.; SINGH. S.; NAIN, L.; PAUL, B. Notable mixed substrate fermentation by native *Kodamaea ohmeri* strains isolated from *Lagenaria siceraria* fowers and ethanol production on paddy straw hydrolysates. *Chemistry Central Journal.* 12:8 (2012).
- SAPP, J. *Evolution by association: a history of symbiosis.* Oxford University Press, Oxford (1994).
- STARMER, W. T.; LACHANCE, M.A. Yeast Ecology. In: *The Yeasts A Taxonomic Study.* 5th Ed. KURTZMAN, C.P.; FELL, J.W.; BOEKHOUT, T. Elsevier: Amsterdam. 65-86p (2011).
- TAMURA K.; NEI M. Estimation of the number of nucleotide substitutions in the control region of mitochondrial DNA in humans and chimpanzees. *Molecular Biology and Evolution.* 10:512-526 (1993).
- TEIXEIRA, A.C.P.; MARINI, M.M.; NICOLI, J.R.; ANTONINI, Y.; MARTINS, R.P.; LACHANCE, M.C.; ROSA, C.A. *Starmerella meliponinorum* sp. nov., a novel ascomycetous yeast species associated with stingless bees. *International Journal of Systematic and Evolutionary Microbiology.* 53, 339-343 (2003).
- TORTORA, G.J.; FUNKE, B.R.; CASE, C.L. *Microbiologia.* Artmed Editora SA. Ed 10, 123-132p. (2012).

UEIRA-VIEIRA, C.; ALMEIDA, L.O.; ALMEIDA, F.C.; AMARAL, I.M.R.; BRANDEBURGO, M.A.M.; BONETTI, A.M. Scientific note on the first molecular detection of the acute bee paralysis virus in Brazilian stingless bees. *Apidologie.* 46, 628–630 (2015).

URUBSCHUROV, V.; JANCZYK, P. Biodiversity of yeasts in the gastrointestinal ecosystem with emphasis on its importance for the host. Edited by Oscar Grillo and Gianfranco Venora, 277 (2011).

VAN ARNAM, E.B.; CURRIE, C.R.; CLARDY, J. Defense contracts: molecular protection in insect-microbe symbioses. *Chem. Soc. Rev.* (2018).VEGA, F.E.; DOWD, P.F. The role of yeasts as insect endosymbionts. In *Insect-Fungal Associations: Ecology and Evolution*; Vega, F.E., Blackwell, M., Eds.; Oxford University Press: New York, NY, USA. 211–243 (2005).

VEGA, F.E.; POSADA, F.; CATHERINE AIME, M.; PAVA-RIPOLL, M.; INFANTE, F.; REHNER, S.A. Entomopathogenic fungal endophytes. *Biological control* 46 (1): 72-82 (2008).

VEGA, C.; HERRERA, C.M. Relationships among nectar-dwelling yeasts, flowers and ants: patterns and incidence on nectar traits. *Oikos* 121 (11): 1878-1888 (2012).

VISSA, S.; HOFSTETTER, R.W. The Role of Mites in Bark and Ambrosia Beetle-Fungal Interactions. In book: *Insect Physiology and Ecology*, Edition: 1, Chapter: 6, Publisher: InTech, Editors: Vonnie D.C. Shields. 135-156 (2017).

VIT, P.; SANTIAGO, B. Composición química de polen apícola fresco recolectado em el páramo de Misintá de los Andes venezolanos. *Archivos Latinoamericanos de Nutricion.* 58, 411-415 (2008).

VOLLET-NETO, A.; MAIA-SILVA, C.; MENEZES, C.; IMPERATRIZ-FONSECA, V.L. Newly emerged workers of the stingless bee *Scaptotrigona* aff. *depilis* prefer stored pollen to fresh pollen. *Apidologie.* 48, 204-210 (2016).

WALKER, G.M. Yeasts. University of Abertay Dundee, Dundee, Scotland. 1174-1187 (2009).

WINSTON, M. L. A biologia da abelha. Porto Alegre: Magister. (2003).

WITZGALL, P.; PROFFIT, M.; ROZPEDOWSKA, E.; BECHER, P.; ANDREADIS, S.; CORACINI, M.; LINDBLOM, T.T.; REAM, L.; HAGMAN, A.; BENGTSSON, M.; KURTZMAN, C.; PISKUR, J.; KNIGHT, A. "This Is not an Apple"—Yeast Mutualism. In Codling Moth. *Journal of Chemical Ecology* 38 (8): 949- 957 (2012).

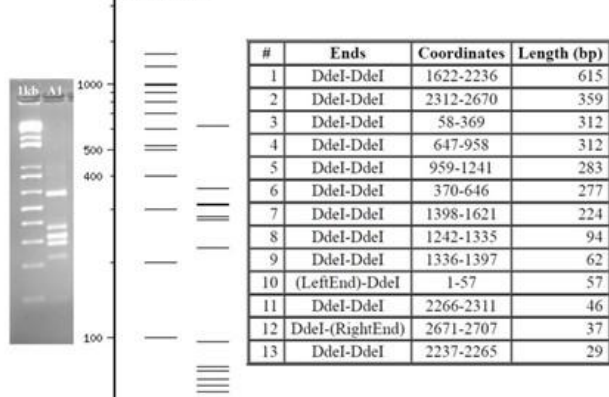
WHITE, T.B.; LEE, S. Amplification and direct sequencing of fungal ribosomal RNA genes for phylogenetics, p 315-322. In M. A. Innis, D. H. Gelfand, J. J. Sninsky and T. J. White (ed), PCR Protocols: A Guide to Methods and Applications. Academic Press, San Diego, USA. (1990).

ZUCOLOTO, F. S. Aspectos gerais da nutrição de insetos, com especial referência em abelhas pp. 27-37 in Zucchi, R., Drumond, P. M., Fernandes-da-Silva, P. G. & Augusto, S. C. (ed.) Anais do I Encontro Sobre Abelhas. Ribeirão Preto: Faculdade de Filosofia, Ciências e Letras de Ribeirão Preto, Universidade de São Paulo. 308. 32 (1994).

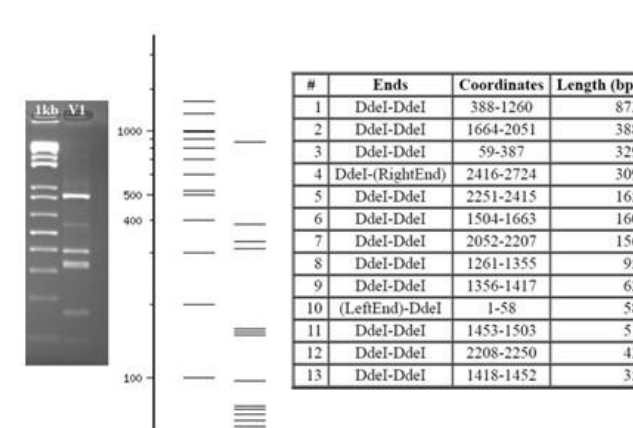
APÊNDICES

APÊNDICE I: Comparação do padrão de restrição físico com o padrão *in silico* gerado pela ferramenta *NEBcutter*®.

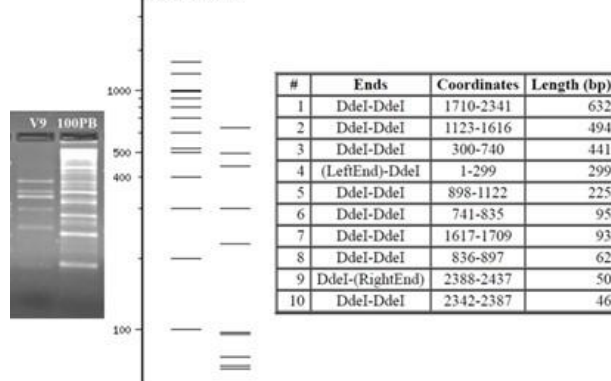
SM01



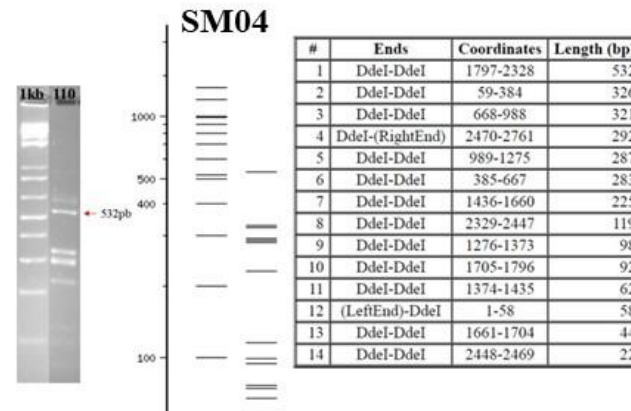
SM02

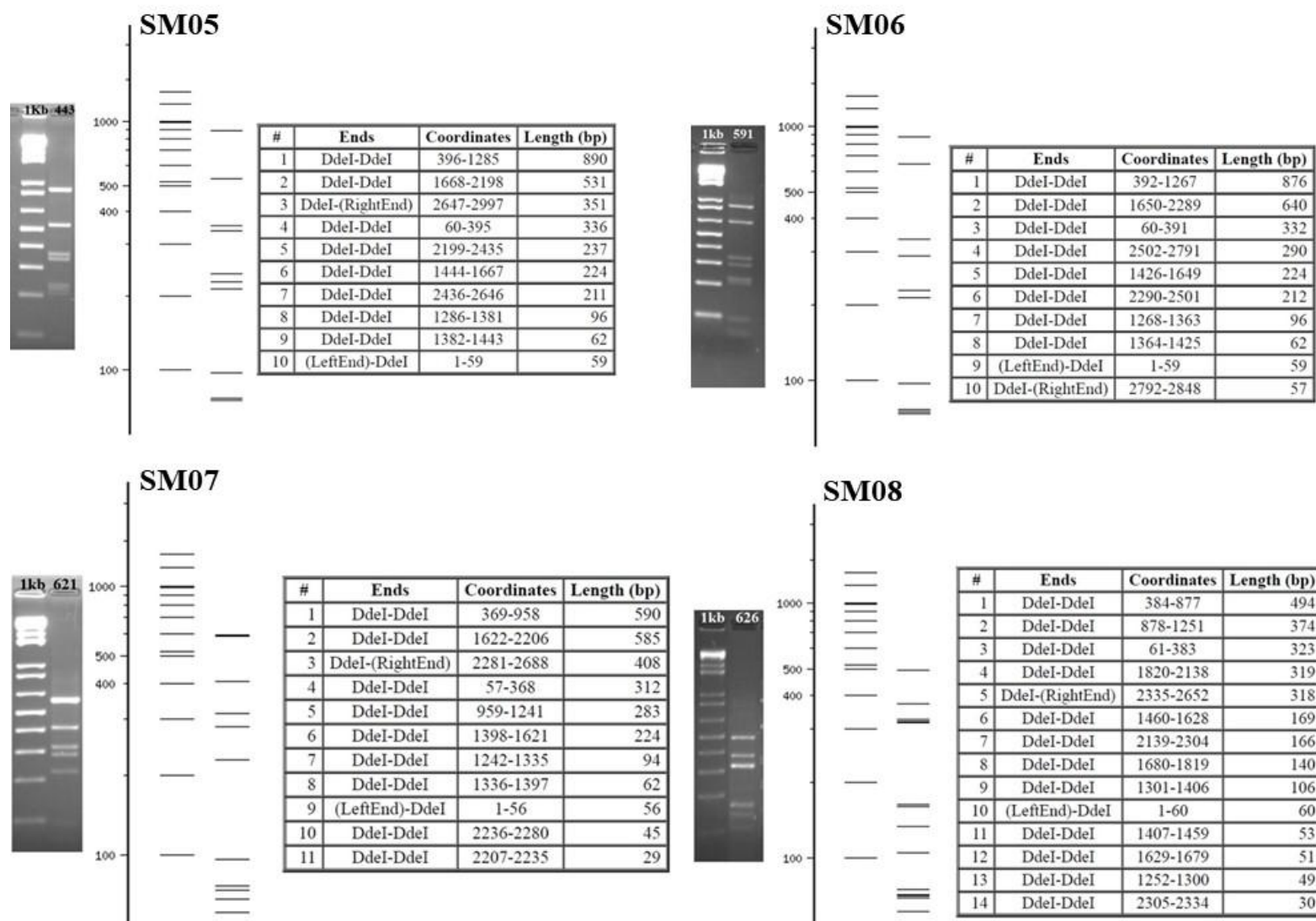


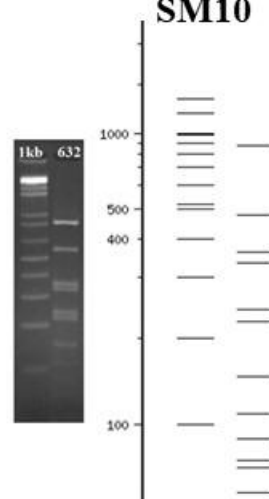
SM03



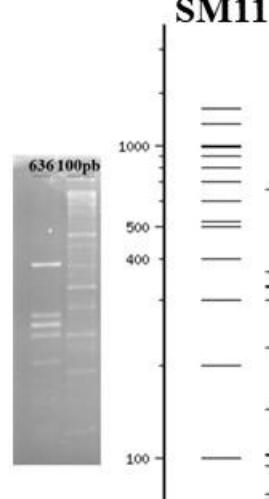
SM04



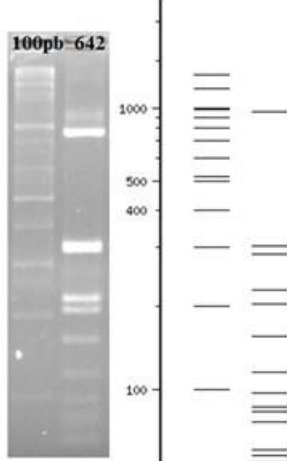


SM10

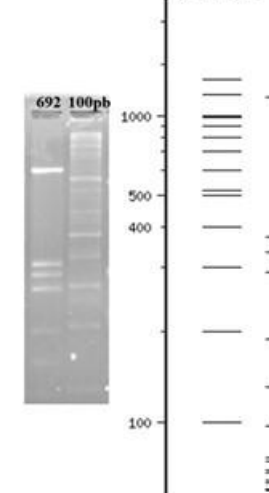
#	Ends	Coordinates	Length (bp)
1	DdeI-DdeI	392-1274	883
2	DdeI-(RightEnd)	2523-3001	479
3	DdeI-DdeI	1915-2275	361
4	DdeI-DdeI	60-391	332
5	DdeI-DdeI	1674-1914	241
6	DdeI-DdeI	1429-1651	223
7	DdeI-DdeI	1275-1428	154
8	DdeI-DdeI	2411-2522	112
9	DdeI-DdeI	2327-2410	84
10	(LeftEnd)-DdeI	1-59	59
11	DdeI-DdeI	2276-2326	51
12	DdeI-DdeI	1652-1673	22

SM11

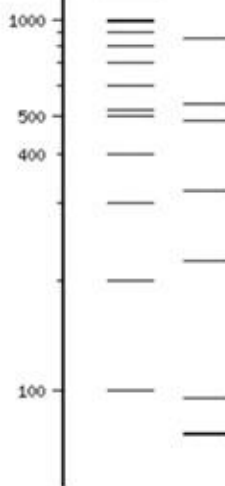
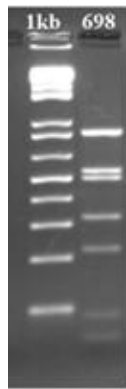
#	Ends	Coordinates	Length (bp)
1	DdeI-DdeI	386-1044	659
2	DdeI-DdeI	1629-1993	365
3	DdeI-(RightEnd)	2443-2773	331
4	DdeI-DdeI	56-385	330
5	DdeI-DdeI	1045-1343	299
6	DdeI-DdeI	1406-1628	223
7	DdeI-DdeI	1994-2143	150
8	DdeI-DdeI	2339-2442	104
9	DdeI-DdeI	2144-2246	103
10	DdeI-DdeI	2247-2338	92
11	DdeI-DdeI	1344-1405	62
12	(LeftEnd)-DdeI	1-55	55

SM12

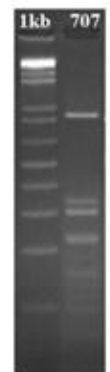
#	Ends	Coordinates	Length (bp)
1	DdeI-DdeI	302-1261	960
2	(LeftEnd)-DdeI	1-301	301
3	DdeI-(RightEnd)	2344-2628	285
4	DdeI-DdeI	1324-1546	223
5	DdeI-DdeI	1547-1750	204
6	DdeI-DdeI	1751-1912	162
7	DdeI-DdeI	1913-2032	120
8	DdeI-DdeI	2147-2241	95
9	DdeI-DdeI	2242-2321	80
10	DdeI-DdeI	2044-2117	74
11	DdeI-DdeI	1262-1323	62
12	DdeI-DdeI	2118-2146	29
13	DdeI-DdeI	2322-2343	22
14	DdeI-DdeI	2033-2043	11

SM13

#	Ends	Coordinates	Length (bp)
1	DdeI-DdeI	1665-2832	1168
2	DdeI-DdeI	911-1282	372
3	DdeI-DdeI	59-392	334
4	DdeI-DdeI	393-682	290
5	DdeI-DdeI	720-910	191
6	DdeI-DdeI	1528-1664	137
7	DdeI-DdeI	1283-1377	95
8	DdeI-DdeI	1378-1439	62
9	(LeftEnd)-DdeI	1-58	58
10	DdeI-DdeI	2833-2880	48
11	DdeI-(RightEnd)	2881-2926	46
12	DdeI-DdeI	683-719	37
13	DdeI-DdeI	1440-1474	35
14	DdeI-DdeI	1501-1527	27
15	DdeI-DdeI	1475-1500	26

SM14

#	Ends	Coordinates	Length (bp)
1	DdeI-DdeI	382-1240	859
2	DdeI-DdeI	1618-2153	536
3	DdeI-(RightEnd)	2154-2639	486
4	DdeI-DdeI	62-381	320
5	DdeI-DdeI	1396-1617	222
6	DdeI-DdeI	1241-1333	93
7	DdeI-DdeI	1334-1395	62
8	(LeftEnd)-DdeI	1-61	61

SM15

#	Ends	Coordinates	Length (bp)
1	DdeI-DdeI	390-1281	892
2	DdeI-DdeI	58-389	332
3	DdeI-DdeI	2172-2471	300
4	DdeI-DdeI	2472-2765	294
5	DdeI-DdeI	1438-1662	225
6	DdeI-DdeI	1954-2171	218
7	DdeI-DdeI	1663-1812	150
8	DdeI-DdeI	2766-2877	112
9	DdeI-DdeI	1282-1376	95
10	DdeI-DdeI	1813-1899	87
11	DdeI-(RightEnd)	2878-2946	69
12	DdeI-DdeI	1377-1437	61
13	(LeftEnd)-DdeI	1-57	57
14	DdeI-DdeI	1900-1953	54

Apêndice II: Alinhamento dos nucleotídeos que compreendem as regiões ITS1-5,8S-ITS2 e D1/D2 do gene 26S rRNA obtidas, contra os bancos de dados (GenBank, DDBJ, EMBL), utilizando a ferramenta BLAST.

Linhagem: SM01

AY861673.1 *Candida cellae*

Reference: Zheng Zhang, Scott Schwartz, Lukas Wagner, and Webb Miller (2000), "A greedy algorithm for aligning DNA sequences", J Comput Biol 2000; 7(1-2):203-14.
 Reference for database indexing: Aleksandr Morgulis, George Coulouris, Yan Raytselis, Thomas L. Madden, Richa Agarwala, Alejandro A. Schaffer (2008), "Database Indexing for Production MegabLAST Searches", Bioinformatics 24:1757-1764.

ALIGNMENTS

```
>AY861673.1 Candida cellae internal transcribed spacer 1, 5.8S ribosomal RNA
gene, and internal transcribed spacer 2, complete sequence; and large subunit
ribosomal RNA gene, partial sequence
Length=940
Score = 1441 bits (780), Expect = 0.0
Identities = 856/893 (96%), Gaps = 3/893 (0%)

Query   99    GTAGTCTGGCACTACTTGGCGGAGCTTGCTCTGCCAACCTCAAAACTTTACCAATT  158
          ||||||| | | | | | | | | | | | | | | | | | | | | | | | | | | | |
Sbjct   42    GTAGTCTGGCACTGCTTGGCGGAATTCTGTTCTGCCAACCTTC-AAACTTTACCAATT  100
          ||||||| | | | | | | | | | | | | | | | | | | | | | | | | | | |
Query   159   ATCTGAAAATTGAAAATTTAAACCTTCAACAACGGATCTTGTTCTCACATCGATG  218
          ||||||| | | | | | | | | | | | | | | | | | | | | | | | | | |
Sbjct   101   ATCTGAAAATTGAAAATTTAAACCTTCAACAACGGATCTTGTTCTCACATCGATG  160
          ||||||| | | | | | | | | | | | | | | | | | | | | | | | | |
Query   219   AAGAACGCAGCAAAGCGCGATAGGTAATGCGAATTGCAGACGTGAGTCATTGAATCTTG  278
          ||||||| | | | | | | | | | | | | | | | | | | | | | | | | |
Sbjct   161   AAGAACGCAGCAAAGCGCGATAGGTAATGCGAATTGCAGACGTGAGTCATTGAATCTTG  220
          ||||||| | | | | | | | | | | | | | | | | | | | | | | | | |
Query   279   AACGCACATTGCGCTTCTAGTTCTCAGTAGCATGCTTGGAGCGCCGAACCTTCT  338
          ||||||| | | | | | | | | | | | | | | | | | | | | | | | | |
Sbjct   221   AACGCACATTGCGCTTCTAGTTCTCAGTAGCATGCTTGGAGCGCCGAACCTTCT  280
          ||||||| | | | | | | | | | | | | | | | | | | | | | | | | |
Query   339   CTCTAACTCATTCTTATGAACGAGTTATGAGGTGTTGCTCCTTATTGGAGTCAAAGAAA  398
          ||||| | | | | | | | | | | | | | | | | | | | | | | | | |
Sbjct   281   CTCTAGCACTTCTCGAACGC--TACGAGGTGTTGCTCCTTATTGGAGTCAAAGAAA  338
          ||||||| | | | | | | | | | | | | | | | | | | | | | | | |
Query   399   TGGAACAGCACACGTTAAACTCTGTGCAGTAATATTTTATGGCCCCAATCAAGCA  458
          ||||||| | | | | | | | | | | | | | | | | | | | | | | | |
Sbjct   339   TGGAACAGCACACGTTAAACTCTGTGCAGTAATATTTTATGGCCCCAATCAAGCA  398
          ||||||| | | | | | | | | | | | | | | | | | | | | | | | |
Query   459   AGATTACCCGCTGAACCTAACGCATATCAATAAGCGGAGGAAAGAAACCAACAGGGATTG  518
          ||||||| | | | | | | | | | | | | | | | | | | | | | | | |
Sbjct   399   AGATTACCCGCTGAACCTAACGCATATCAATAAGCGGAGGAAAGAAACCAACAGGGATTG  458
          ||||||| | | | | | | | | | | | | | | | | | | | | | | | |
Query   519   CCTTAGTAACGGCGAGTGAACAGGCAAAAGCTCAGATTGAAAGCCTTTGGCATTGTA  578
          || | | | | | | | | | | | | | | | | | | | | | | | | |
Sbjct   459   CCCTAGTAACGGCGAGTGAACAGGCAAAAGCTCAGATTGAAAGCCTTTGGCATTGTA  518
          || | | | | | | | | | | | | | | | | | | | | | | | |
Query   579   TTCTGAAGTCAGTTCTGAGTATCGATTTAAGTCTTCTGAAAGGAGCGCCATAGAG  638
          || | | | | | | | | | | | | | | | | | | | | | | | |
Sbjct   519   TTCTGAAGTCAGTTCTGAGTATCGATTTAAGTCTTCTGAAAGGAGCGCCATGGAG  578
          || | | | | | | | | | | | | | | | | | | | | | | | |
Query   639   GGTGATAGCCCCGTACGACATCTCACTCATTGTAGGATTCTGACGTGGAGTCGAGTTGTT  698
          || | | | | | | | | | | | | | | | | | | | | | | | |
Sbjct   579   GGTGATAGCCCCGTAAACATCACACTCATTGTAGGAGTCTGACGTGGAGTCGAGTTGTT  638
          || | | | | | | | | | | | | | | | | | | | | | | | |
Query   699   TGGGAATGCAGCTCAAACGGGTGGTATGCTCCATCTAAAGCTAAATCTGTGAGAGACC  758
          || | | | | | | | | | | | | | | | | | | | | | | | |
```

Sbjct	639	TGGGAATGCAGCTCAAAAGGGTGGTATGCTCCATCTAAAGCTAAATATCTGTGAGAGACC	698
Query	759	GATAGCGAACAAAGTACTGTGAAGGAAAGATGAAAAGAACTTTGAAAAGAGAGTGAAATAG	818
Sbjct	699	GATAGCGAACAAAGTACCGTGAGGGAAAGATGAAAAGAACTTTGAAAAGAGAGTGAAATAG	758
Query	819	TACGTGAAATTGTTGAAATGGAAGGATAGGCCGCTAACCATGTAGAACCGTGTGAGGG	878
Sbjct	759	TACGTGAAATTGTTGAAATGGAAGGTTAGGCCGCTAACCATGTAGAACCGTGTCTGGGG	818
Query	879	GAGGACAAAAGCTGAAGAATGTTGGCTTCGGAGTGTATAGCTTCAGTCATAACTCCCCA	938
Sbjct	819	GAGGACAAAAGCTGAAGAATGTTGGCTTCGGAGTGTATAGCTTCAGTCATAACTCCCCA	878
Query	939	TTCGAGCGCGAGGATCTCAGGTTCTACTAAATGGTGGTCTATCACCGTCTTG	991
Sbjct	879	TCCGGGCGCGAGGATCTCAGGTTCTACTAAATGGTGGTCTACCACCCGCTTG	931

Linhagem: SM02**HF952839.2 *Hyphopichia burtonii***

Reference: Zheng Zhang, Scott Schwartz, Lukas Wagner, and Webb Miller (2000), "A greedy algorithm for aligning DNA sequences", J Comput Biol 2000; 7(1-2):203-14. Reference for database indexing: Aleksandr Morgulis, George Coulouris, Yan Raytselis, Thomas L. Madden, Richa Agarwala, Alejandro A. Schaffer (2008), "Database Indexing for Production Megablast Searches", Bioinformatics 24:1757-1764.

ALIGNMENTS

>HF952839.2 *Hyphopichia burtonii* partial 26S rRNA gene, isolate 34
Length=1342
Score = 1605 bits (869), Expect = 0.0
Identities = 916/938 (98%), Gaps = 8/938 (1%)

Query	66	CGATTATGTTaaca-acacaacaaagcaacttaattatgtcaacaacaac---c-aaaa	120
Sbjct	1		60
Query	121	tcaaaaaccttcaacaacGGATCTCTGGTTCTCGCATCGATGAAGAACGAGCGAAATGC	180
Sbjct	61		120
Query	181	GATAAGTAATATGAATTGCAGATTTCGTGAATCATCGAATCTTGAACGCACATTGCAC	240
Sbjct	121		180
Query	241	CTTGTGGTATTCCACAAGGTATGCCTGTTGAGCGTCATTCTCCCTAACCTTC-TGGG	299
Sbjct	181		240
Query	300	TTGGCGTTGAATGGCACGAGCTTTAGTCAGTCATTGAAATGTATTTACCATGTTG	359
Sbjct	241		300
Query	360	TTATTTCTAATTAGTAGTGACAAC-A-ACTAAAAACACATTTCCTCAAATCAGGTAG	417
Sbjct	301		360
Query	418	GACTACCCGCTGAACCTAACGATATCAATAAGCGGAGGAAAAGAACACAGGGATTGC	477
Sbjct	361		420
Query	478	CTCAGTAACGGCGAGTGAAGCGGAAAGCTCAAATTGGAATCTCAGTCTTCAGGCTG	537

Sbjct	421	CTCAGTAACGGCGAGTGAAGCGGAAAGCTCAAATTGGAATCTCAGTCTTCAGGCTG	480
Query	538	CGAGTTGTAAATTGAAGACGTATTTGAAGTAAGCACATGTCGAAGTCCCTGGAACAGG	597
Sbjct	481	CGAGTTGTAAATTGAAGACGTATTTGAAGTAAGCACATGTCGAAGTCCCTGGAACAGG	540
Query	598	ACGTACAGAGGGTGAGAATCCGTGCGATGTGTTACTGCTTCATGTAAAATGCAGTCG	657
Sbjct	541	ACGTACAGAGGGTGAGAATCCGTGCGATGTGTTACTGCTTCATGTAAAATGCAGTCG	600
Query	658	AAGAGTCGAGTTGGGATGCAGCTCTAACGTGGTGGTAAATTCCATCTAAAGCTAA	717
Sbjct	601	AAGAGTCGAGTTGGGATGCAGCTCTAACGTGGTGGTAAATTCCATCTAAAGCTAA	660
Query	718	ATATTGGCGAGAGACCGATAGCGAACAAAGTACAGTGATGGAAAGATGAAAAGAACTTTGA	777
Sbjct	661	ATATTGGCGAGAGACCGATAGCGAACAAAGTACAGTGATGGAAAGATGAAAAGAACTTTGA	720
Query	778	AAAGAGAGTAAAAAGTACGTGAAATTGTTGAAAGGGAGGGCTTGAGATCAGACTCGGG	837
Sbjct	721	AAAGAGAGTAAAAAGTACGTGAAATTGTTGAAAGGGAGGGCTTGAGATCAGACTCGGG	780
Query	838	CAACCAGGCGCATGGGTGGGGAGTAGGATAACCTGCAGGAAAGTGGCTTCGCTTC	897
Sbjct	781	CAACCAGGCGCATGGGTGGGGAGTAGGATAACCTGCAGGAAAGTGGCTTCGCTTC	840
Query	898	GGTGGAGTGTATAGCCTGTAGCTATACTGCTACCCCTGCCGAGGACTGCGGAAACAAG	957
Sbjct	841	GGTGGAGTGTATAGCCTGTAGCTATACTGCTACCCCTGCCGAGGACTGCGGAAACAAG	900
Query	958	GATGCTGGCATATGATCTTAAGCCGCCGTCTGAAA	995
Sbjct	901	GATGCTGGCATATGATCTTAAGCCGCCGTCTGAAA	938

Linhagem: SM03**JX310560.1 Rhodotorula sp.**

Reference: Zheng Zhang, Scott Schwartz, Lukas Wagner, and Webb Miller (2000), "A greedy algorithm for aligning DNA sequences", J Comput Biol 2000; 7(1-2):203-14.
 Reference for database indexing: Aleksandr Morgulis, George Coulouris, Yan Raytselis, Thomas L. Madden, Richa Agarwala, Alejandro A. Schaffer (2008), "Database Indexing for Production MegabLAST Searches", Bioinformatics 24:1757-1764.

ALIGNMENTS

>JX310560.1 Rhodotorula sp. VITJzN03 18S ribosomal RNA gene, partial sequence; internal transcribed spacer 1, 5.8S ribosomal RNA gene, and internal transcribed spacer 2, complete sequence; and 26S ribosomal RNA gene, partial sequence
 Length=1731
 Score = 2278 bits (1233), Expect = 0.0
 Identities = 1237/1239 (99%), Gaps = 0/1239 (0%)

Query	1	TTTAGAGGAAGTAAAAGTCGTAAACAAGGTTCCGTAGGTGAACCTGCGGAAGGATCATTA	60
Sbjct	61	TTTAGAGGAAGTAAAAGTCGTAAACAAGGTTCCGTAGGTGAACCTGCGGAAGGATCATTA	120
Query	61	GTGAATATAGGACGTCAAACCTAACCTGGAGTCGAACCTCTCACTTCTAACCCCTGTGCA	120
Sbjct	121	GTGAATATAGGACGTCAAACCTAACCTGGAGTCGAACCTCTCACTTCTAACCCCTGTGCA	180
Query	121	CTTGTGAGGATAGTAACCTCGCAAGAGAGCGAACCTCTATTCACTTATAAACACAAAG	180

Sbjct	181	CTTGTGTTGGGATAGTAACCTCGCAAGAGAGCGAACTCCTATTCACTTATAAACACAAG	240
Query	181	TCTATGAATGTATTAAATTATAACAAAATAAAACTTCAACAAACGGATCTTGGCTC	240
Sbjct	241	TCTATGAATGTATTAAATTATAACAAAATAAAACTTCAACAAACGGATCTTGGCTC	300
Query	241	TCGCATCGATGAAGAACGCAGCGAAATGCGATAAGTAATGTGAATTGCAGAATTCACTG	300
Sbjct	301	TCGCATCGATGAAGAACGCAGCGAAATGCGATAAGTAATGTGAATTGCAGAATTCACTG	360
Query	301	ATCATCGAATCTTGACGCACCTTGCCTCCATGGTATTCCGGAGCATGCCTGTTG	360
Sbjct	361	ATCATCGAATCTTGACGCACCTTGCCTCCATGGTATTCCGGAGCATGCCTGTTG	420
Query	361	AGTGTATGAATACCTCAACCCCTCCTTTCTTAATGATTGAAGAGGTGTTGGTTCTG	420
Sbjct	421	AGTGTATGAATACCTCAACCCCTCCTTTCTTAATGATTGAAGAGGTGTTGGTTCTG	480
Query	421	AGCGCTGCTGCCCTTACGGCTAGCTCGTCGAATGCATTAGCATCCGCAATCGAACT	480
Sbjct	481	AGCGCTGCTGCCCTTACGGCTAGCTCGTCGAATGCATTAGCATCCGCAATCGAACT	540
Query	481	TCGGATTGACTTGGCGTAATAGACTATTGCTGAGGAATTCTAGTCTCGGATTAGAGCC	540
Sbjct	541	TCGGATTGACTTGGCGTAATAGACTATTGCTGAGGAATTCTAGTCTCGGATTAGAGCC	600
Query	541	GGGTTGGTTAAAGGAAGCTCTAACAGAATGTCACATTAAAGATTAGATCTCAAAT	600
Sbjct	601	GAGTTGGTTAAAGGAAGCTCTAACAGAATGTCACATTAAAGATTAGATCTCAAAT	660
Query	601	CAGGTAGGACTACCCGCTGAACCTAACGCATATCAATAAGCGGAGGAAAGAAACTAACAA	660
Sbjct	661	CAGGTAGGACTACCCGCTGAACCTAACGCATATCAATAAGCGGAGGAAAGAAACTAACAA	720
Query	661	GGATTCCCCTAGTAGCGGCGAGCGAACGCAGCTCAAATTATAATCTGGCACCTT	720
Sbjct	721	GGATTCCCCTAGTAGCGGCGAGCGAACGCAGCTCAAATTATAATCTGGCACCTT	780
Query	721	CGGTGTCCGAGTTGTAATCTCTAGAAATGTTTCCCGTTGGACCGCACACAAGTCTGTT	780
Sbjct	781	CGGTGTCCGAGTTGTAATCTCTAGAAATGTTTCCCGTTGGACCGCACACAAGTCTGTT	840
Query	781	GGAATACAGCGGCATAGTGGTGGAGACCCCCGTATATGGTGCAGGCCAGCGCTTGTG	840
Sbjct	841	GGAATACAGCGGCATAGTGGTGGAGACCCCCGTATATGGTGCAGGCCAGCGCTTGTG	900
Query	841	ATACATTTCAAGAGTCGAGTTGTTGGGATGCAGCTCAAATTGGGTGGTAAATTCCA	900
Sbjct	901	ATACATTTCAAGAGTCGAGTTGTTGGGATGCAGCTCAAATTGGGTGGTAAATTCCA	960
Query	901	TCTAAAGCTAAATATTGGCGAGAGACCGATAGCGAACAGTACCGTGAGGGAAAGATGAA	960
Sbjct	961	TCTAAAGCTAAATATTGGCGAGAGACCGATAGCGAACAGTACCGTGAGGGAAAGATGAA	1020
Query	961	AAGCACTTGGAAAGAGAGTTAACAGTACGTGAAATTGTTGGAGGGAAACGCTTGAAGT	1020
Sbjct	1021	AAGCACTTGGAAAGAGAGTTAACAGTACGTGAAATTGTTGGAGGGAAACGCTTGAAGT	1080
Query	1021	CAGACTTGCTTGCAGCAATCGGTTGCAGGCCAGCATCAGTTCCGGATGGATAAT	1080
Sbjct	1081	CAGACTTGCTTGCAGCAATCGGTTGCAGGCCAGCATCAGTTCCGGATGGATAAT	1140
Query	1081	GGTAGAGAGAAGGTAGCAGTTGGCTGTGTTAGCTCTGCTGGATACATCTGGGG	1140
Sbjct	1141	GGTAGAGAGAAGGTAGCAGTTGGCTGTGTTAGCTCTGCTGGATACATCTGGGG	1200

Query	1141	GAUTGAGGAACCGCAGTGTGCCCTTGGCGGGGGTTTCGACCTCTCACACTTAGGATGCTG	1200
Sbjct	1201	GAUTGAGGAACCGCAGTGTGCCCTTGGCGGGGGTTTCGACCTCTCACACTTAGGATGCTG	1260
Query	1201	GTGGAATGGCTTAAACGACCCGTCTTGAAACACGGACC	1239
Sbjct	1261	GTGGAATGGCTTAAACGACCCGTCTTGAAACACGGACC	1299

Linhagem: SM04**KY106878.1 Wickerhamiella versatilis**

Reference: Zheng Zhang, Scott Schwartz, Lukas Wagner, and Webb Miller (2000), "A greedy algorithm for aligning DNA sequences", J Comput Biol 2000; 7(1-2):203-14.
 Reference for database indexing: Aleksandr Morgulis, George Coulouris, Yan Raytselis, Thomas L. Madden, Richa Agarwala, Alejandro A. Schaffer (2008), "Database Indexing for Production Megablast Searches", Bioinformatics 24:1757-1764.

ALIGNMENTS

>KY106878.1 Wickerhamiella versatilis culture CBS:5007 large subunit ribosomal RNA gene, partial sequence
 Length=1170

Score = 1038 bits (562), Expect = 0.0
 Identities = 568/571 (99%), Gaps = 0/571 (0%)

Query	413	ACTTGTACACCAAGCTTCTTAAAAGACCTCGTATCAGGCAAGACTACCCGCTGAACCT	472
Sbjct	600	ACTTGTACACCAAGCTTCTTAAAAGACCTCGTATCAGGCAAGACTACCCGCTGAACCT	659
Query	473	AAGCATATCAATAAGCGGAGGAAAGAAACCAACAGGGATTGCCCTAGTAACGGCGAGTG	532
Sbjct	660	AAGCATATCAATAAGCGGAGGAAAGAAACCAACAGGGATTGCCCTAGTAACGGCGAGTG	719
Query	533	AAGCGGCAAAAGCCCAAATTGAAATCCTCTTTGAGGAGTTGTAATTGGAGATGGAGT	592
Sbjct	720	AAGCGGCAAAAGCCCAAATTGAAATCCTCTTTGAGGAGTTGTAATTGGAGATGGAGT	779
Query	593	GCTGGACTCAGCTCTGTGGAAGTTGGCTGGAAAGCCGCGCCTGGAGGGTGTAGCCCCG	652
Sbjct	780	GCTGGACTCAGCTCTGTGGAAGTTGGCTGGAAAGCCGCGCCTGGAGGGTGTAGCCCCG	839
Query	653	TGCCACGGAGGTCTGTGTCTGTGTAGTACTCTTCTACGAGTCGCCTGGAGGGTGTAG	712
Sbjct	840	TGCCACGGAGGTCTGTGTCTGTGTAGTACTCTTCTACGAGTCGCCTGGAGGGTGTAG	899
Query	713	CAGCGCTAACGTGGTGGTAAATTCCATCTAACGGCTAAATATTGGCGAGAGACCGATAGCG	772
Sbjct	900	CAGCGCTAACGTGGTGGTAAATTCCATCTAACGGCTAAATATTGGCGAGAGACCGATAGCG	959
Query	773	AACAAGTACTGTAAAGGAAAGATGAAAAGCACTTGTAAAAGAGAGTGTGAAATAGCACGTGA	832
Sbjct	960	AACAAGTACTGTAAAGGAAAGATGAAAAGCACTTGTAAAAGAGAGTGTGAAATAGCACGTGA	1019
Query	833	AATCGTTGAAGTGGAGGGCTTAAAGCTACACACCTTCTCGGAAGGGCTAACATCAGT	892
Sbjct	1020	AATCGTTGAAGTGGAGGGCTTAAAGCTACACACCTTCTCGGAAGGGCTAACATCAGT	1079
Query	893	TCTGCCGGACGGATAATGGTAAAGAAAGTGGCATTTCGGATGTGTTAGCTTATCA	952
Sbjct	1080	TTCGCCGGATGGATAATGGTAAAGAAAGTGGCATTTCGGATGTGTTAGCTTATCA	1139

```

Query  953  AATACGTCCCAGGGATTGAGGACCGCGCT  983
       ||||||| | | | | | | | | | | | | | | | |
Sbjct  1140  AATACGTCCCAGGGATTGAGGACCGCGCT  1170

Score = 859 bits (465), Expect = 0.0
Identities = 473/477 (99%), Gaps = 0/477 (0%)

```

Query 1	GGTCATTTAGAGGAAGTACAAGTCGTAAACAAGGTTCCGTAGGTGAACCTGCAGGAAGGAT	60
Sbjct 124	GGTCATTTAGAGGAAGTACAAGTCGTAAACAAGGTTCCGTAGGTGAACCTGCAGGAAGGAT	183
Query 61	CATTTCTGAGATCAATATCACATTCTGTGAACCTTCTCATTGTGTTTGGCGGGCGCT	120
Sbjct 184	CATTTCTGAGATTACTATCACATTCTGTGAACCTTCTCATTGTGTTTGGCGGGCGCT	243
Query 121	TTTATAGCAAGCCGCCAATCATACAAAACCAACCAATTATTATTATTCAAGATAACTAT	180
Sbjct 244	TTTATAGCAAGCCGCCAATCATACAAAACCAACCAATTATTATTATTCAAGATAACTAT	303
Query 181	AAATTATACAAGCTTCAACGACGGATCTTGGTTCTCGCATCGATGAAGAACGCAGCAA	240
Sbjct 304	AAATTATACAAGCTTCAACGACGGATCTCGGTTCTCGCATCGATGAAGAACGCAGCAA	363
Query 241	AGCGCGATAGGTAAATGCAATTGAGACGTGAGTCATTGAATCTTGAAACGCACATTGCG	300
Sbjct 364	AGCGCGATAGGTAAATGCAATTGAGACGTGAGTCATTGAATCTTGAAACGCACATTGCG	423
Query 301	CTGTTAGGTTCTCTAACAGCATGCCTGTGCGAGCGCTATCTTCTCACCACGGTGGT	360
Sbjct 424	CTGTTAGGTTCTCTAACAGCATGCCTGTGCGAGCGCTATCTTCTCACCACGGTGGT	483
Query 361	TGCTGACGCTATGCAGAGTGTGAAAGAATGGAGATGTACACGTTAGTGAACACTTGTAC	420
Sbjct 484	TGCTGACGCTATGCAGAGTGTGAAAGAATGGAGATGTACACGTTAGTGAACACTTGTAC	543
Query 421	ACCAAGCTTCTTAAAGACCTCGTATCAGGCAAGACTACCCGCTGAACCTTAAGCA	477
Sbjct 544	ACCAAGCTTCTTAAAGACCTCGTATCAGGCAAGACTACCCGCTGAACCTTAAGCA	600

Linhagem SM05

GQ458025.1 *Debaryomyces hansenii*

Reference: Zheng Zhang, Scott Schwartz, Lukas Wagner, and Webb Miller (2000), "A greedy algorithm for aligning DNA sequences", J Comput Biol 2000; 7(1-2):203-14.
 Reference for database indexing: Aleksandr Morgulis, George Coulouris, Yan Raytselis, Thomas L. Madden, Richa Agarwala, Alejandro A. Schaffer (2008, "Database Indexing for Production Megablast Searches", Bioinformatics 24:1757-1764.

ALIGNMENTS

>GQ458025.1 Debaryomyces hansenii strain MA09-AK 18S ribosomal RNA gene, partial sequence; internal transcribed spacer 1, 5.8S ribosomal RNA gene, and internal transcribed spacer 2, complete sequence; and 28S ribosomal RNA gene, partial sequence
 Length=2991

```

Score = 2206 bits (1194), Expect = 0.0
Identities = 1235/1255 (98%), Gaps = 3/1255 (0%)

```

Query 1	TTTAGAGGAAGTAAAGTCGTAAACAAGGTTCCGTAGGTGAACCTGCAGGAAGGATCATTA	60
Sbjct 1723	TTTAGAGGAAGTAAAGTCGTAAACAAGGTTCCGTAGGTGAACCTGCAGGAAGGATCATTA	1782
Query 61	CAGTATTCTTTGCCAGCGCTTAATTGCGCGGAAAAACCTTACACACAGTGTGTTT	120

Sbjct	1783	CAGTATTCTTTGCCAGCGCTTAATTGCGCGCGAAAAACCTTACACACAGTGT	1842
Query	121	TGTTATTACAAGAACTCTTGCTTGGCTGGACTAGAAATAGTTGGCCAGAGGTTAC	180
Sbjct	1843	TGTTATTACAAGAACTTTGCTTGGCTGGACTAGAAATAGTTGGCCAGAGGTTAC	1902
Query	181	TGAACACTAAACTCAATATTATATTGAATTGTTATTATTAAATTGTCAATTGTTGAT	240
Sbjct	1903	TGAACACTAAACTCAATATTATATTGAATTGTTATTAAATTGTCAATTGTTGAT	1961
Query	241	TAAATTCAAAAAATCTTCAAAACCTTCAACAAACGGATCTTGGTCTCGCATCGATGAA	300
Sbjct	1962	TAAATTCAAAAAATCTTCAAAACCTTCAACAAACGGATCTTGGTCTCGCATCGATGAA	2021
Query	301	GAACGCAGCGAAATGCGATAAGTAATATGAATTGCAGATTTCGTGAATCATCGAATCTT	360
Sbjct	2022	GAACGCAGCGAAATGCGATAAGTAATATGAATTGCAGATTTCGTGAATCATCGAATCTT	2081
Query	361	TGAACGCACATTGCGCCCTTGGTATTCAAAGGGCATGCCTGTTGAGCGTCATTCTC	420
Sbjct	2082	TGAACGCACATTGCGCCCTGGTATTCAAAGGGCATGCCTGTTGAGCGTCATTCTC	2141
Query	421	TCTCAAACCTTCGGTTGGTATTGAGTGATACTCTTAGTCAAACTAGGCCTTGCTTGA	480
Sbjct	2142	TCTCAAACCTTCGGTTGGTATTGAGTGATACTCTTAGTCAAACTAGGCCTTGCTTGA	2201
Query	481	AATGTATCGGCATGAGTGGTACTGGATAGTGCTATATGACTTCAATGTATTAGGTTAT	540
Sbjct	2202	AATGTATTGGCATGAGTGGTACTGGATAGTGCTATATGACTTCAATGTATTAGGTTAT	2261
Query	541	CCAACTCGTTGAACAGTTAACGGTATATTCTCGGTATTCTAGGCTCGGCCTACAACA	600
Sbjct	2262	CCAACTCGTTGAATAGTTAACGGTATATTCTCGGTATTCTAGGCTCGGCCTACAATA	2321
Query	601	TAACAAAACAAGTTGACCTCAAATCAGGTAGGACTACCCGCTGAACCTAACGATATCAAT	660
Sbjct	2322	TAACAAAACAAGTTGACCTCAAATCAGGTAGGATTACCCGCTGAACCTAACGATATCAAT	2381
Query	661	AAGCGGAGGAAAAGAAACCAACAGGGATTGCCTTAGTAACGGCGAGTGAAGCGGCAAAAG	720
Sbjct	2382	AAGCGGAGGAAAAGAAACCAACAGGGATTGCCTTAGTAACGGCGAGTGAAGCGGCAAAAG	2441
Query	721	CTCAAATTGAAATCTGGCACCTCGGTGTCGAGTTGTAATTGAAGAAGGTAACCTTG	780
Sbjct	2442	CTCAAATTGAAATCTGGCACCTCGGTGTCGAGTTGTAATTGAAGAAGGTAACCTTG	2501
Query	781	GAGTTGGCTTGTCTATGTTCTTGGAACAGGACGTACAGAGGGTGAGAATCCCGTGC	840
Sbjct	2502	GAGTTGGCTTGTCTATGTTCTTGGAACAGGACGTACAGAGGGTGAGAATCCCGTGC	2561
Query	841	GATGAGATGCCAATTCTATGTAAAGTGCCTTCAAGAGTCGAGTTGGGAATGCAG	900
Sbjct	2562	GATGAGATGCCAATTCTATGTAAAGTGCCTTCAAGAGTCGAGTTGGGAATGCAG	2621
Query	901	CTCTAAGTGGTGGTAAATTCCATCTAAAGCTAAATATTGGCGAGAGACCGATAGCGAAC	960
Sbjct	2622	CTCTAAGTGGTGGTAAATTCCATCTAAAGCTAAATATTGGCGAGAGACCGATAGCGAAC	2681
Query	961	AAGTACAGTGTGGAAAGATGAAAGAACTTGTAAAAGAGAGTGAAAAGTACGTGAAAT	1020
Sbjct	2682	AAGTACAGTGTGGAAAGATGAAAGAACTTGTAAAAGAGAGTGAAAAGTACGTGAAAT	2741
Query	1021	TGTTGAAAGGGAAGGGCTTGAGATCAGACTTGGTATTGCGATCCTTCTTTGGTT	1080
Sbjct	2742	TGTTGAAAGGGAAGGGCTTGAGATCAGACTTGGTATTGCGATCCTTCTTTGGTT	2801

Query	1081	GGGTTCTCCGCAGCTACTGGGCCAGCAGCATCGGTTGGATGGTAGGATAATGATTAAGGAA 	1140
Sbjct	2802	GGGTTCTCCGCAGCTACTGGGCCAGCAGCATCGGTTGGATGGTAGGATAATGACTAAGGAA	2861
Query	1141	TGTGGCTCAACTTCGGTGGAGTGTTATAGCCTGGTTGATACTGCCTGTCTAGACCGAGG 	1200
Sbjct	2862	TGTGGCTCAACTTCGGTGGAGTGTTATAGCCTGGTTGATACTGCCTGTCTAGACCGAGG	2921
Query	1201	ACTGCGTC-TTGTGACTAGGATGCTGGCATAATGATTAAAGCCGCCGTCTTGA 	1254
Sbjct	2922	ACTGCGTCTTGACTAGGATGTTGGCATAATGATCTTAANCCACCGTCT-GAA	2975

Linhagem: SM06

HE681725.1 *Candida orthopsilosis*

FN812686.1 *Candida orthopsilosis*

Reference: Zheng Zhang, Scott Schwartz, Lukas Wagner, and Webb Miller (2000), "A greedy algorithm for aligning DNA sequences", J Comput Biol 2000; 7(1-2):203-14.
Reference for database indexing: Aleksandr Morgulis, George Coulouris, Yan Raytselis, Thomas L. Madden, Richa Agarwala, Alejandro A. Schaffer (2008), "Database Indexing for Production MegaBLAST Searches", Bioinformatics 24:1757-1764.

ALIGNMENTS

>HE681725.1 Candida orthopsis Co 90-125, chromosome 7 draft sequence

Length=937312

Score = 2019 bits (1093), Expect = 0.0

Identities = 1106/1112 (99%), Gaps = 2/1112 (0%)

Query	541	ACAGGGATTGCCTTAGTCGGCGAGTGAAGCGGAAAGCTCAAATTGAAATCTGGCA 	600
Sbjct	344055	ACAGGGATTGCCTTAGTCGGCGAGTGAAGCGGAAAGCTCAAATTGAAATCTGGCA 	343996
Query	601	CTTCAGTGTCCGAGTTGAATTGAAGAAGGTATCTTGTTGGCTGGCTCTGTCTATGT 	660
Sbjct	343995	CTTCAGTGTCCGAGTTGAATTGAAGAAGGTATCTTGTTGGCTGGCTCTGTCTATGT 	343936
Query	661	TTCTTGGAACAGAACGTACAGAGGGTGAGAATCCCGTGCATGAGATGTCCCAGACCTA 	720
Sbjct	343935	TTCTTGGAACAGAACGTACAGAGGGTGAGAATCCCGTGCATGAGATGTCCCAGACCTA 	343876
Query	721	TGTAAAGTCCCTCGAACAGAGTCGAGTTGGGAAATGCAGCTCTAACAGTGGTGGTAAAT 	780
Sbjct	343875	TGTAAAGTCCCTCGAACAGAGTCGAGTTGGGAAATGCAGCTCTAACAGTGGTGGTAAAT 	343816
Query	781	TCCATCTAAAGCTAAATATTGGCGAGAGACCGATAGCGAACAAAGTACAGTGTGAAAGA 	840
Sbjct	343815	TCCATCTAAAGCTAAATATTGGCGAGAGACCGATAGCGAACAAAGTACAGTGTGAAAGA 	343756
Query	841	TGAAAAGAACCTTGAAAGAGAGTGAAAAAGTACGTGAAATTGTTGAAAGGGAAAGGC 	900
Sbjct	343755	TGAAAAGAACCTTGAAAGAGAGTGAAAAAGTACGTGAAATTGTTGAAAGGGAAAGGC 	343696
Query	901	GAGATCAGACTTGGTATTTGTATGTTACTCTCGGGGGTGGCCTACAGTTACCGG 	960
Sbjct	343695	GAGATCAGACTTGGTATTTGTATGTTACTCTCGGGGGTGGCCTACAGTTACCGG 	343636
Query	961	GCCAGCATCAGTTGGCGGTAGGACAATTGCAAAGAAATGTGGCACTGCCTCGGTAGTG 	1020
Sbjct	343635	GCCAGCATCAGTTGGCGGTAGGACAATTGCAAAGAAATGTGGCACTGCCTCGGTAGTG 	343576
Query	1021	TGTTATAGTCTTGTGATACTGCCAGCCTAGACTGAGGACTGCGGCTCGGCCAAGGAT 	1080
Sbjct	343575	TGTTATAGTCTTGTGATACTGCCAGCCTAGACTGAGGACTGCGGCTCGGCCAGGAT 	343516
Query	1081	GTTGGCATAATGGT-TAAATGCCGCCGTCTT 1111 	
Sbjct	343515	GTTGGCATAATGATCTTAA-GTCGCCGTCTT 343485 	

>FN812686.1 Candida orthopsis 5S rRNA gene, 18S rRNA gene, ITS1, 5.8S rRNA gene, ITS2 and 25S rRNA gene, strain 90-125
Length=7240

Score = 2019 bits (1093), Expect = 0.0
Identities = 1106/1112 (99%), Gaps = 2/1112 (0%)

Query	1	AAAAGTCGAACAAGGTTCCGTAGGTGAACCTGCGGAAGGATCATTACAGAACAGT 	60
Sbjct	3075	AAAAGTCGAACAAGGTTCCGTAGGTGAACCTGCGGAAGGATCATTACAGAACAGT 	3134
Query	61	GCTTAACTGCATtttttacacatgtgttttttttttttttttttttttttttttttttt 	120
Sbjct	3135	GCTTAACTGCATTTTTACACATGTGTTTTCTTTTTTTTTTTTTTTTTTTTT 	3194
Query	121	GGCCCATGGCCTGCCAGAGATTAAACTCAACCAAATTAACTTAAAGTCACGTAAAC 	180
Sbjct	3195	GGCCCATGGCCTGCCAGAGATTAAACTCAACCAAATTAACTTAAAGTCACGTAAAC 	3254
Query	181	TAATAGTCAAAACCTTCAACAACGGATCTTGTTCTCGCATCGATGAAGAACGCAGCG 	240
Sbjct	3255	TAATAGTCAAAACCTTCAACAACGGATCTTGTTCTCGCATCGATGAAGAACGCAGCG 	3314

Query	241	AAATGCGATAAGTAATATGAATTGCAGATATTCTGTGAATCATCGAATCTTGAAACGCACA 	300
Sbjct	3315	AAATGCGATAAGTAATATGAATTGCAGATATTCTGTGAATCATCGAATCTTGAAACGCACA 	3374
Query	301	TTGCGCCCTTGGTATTCAAAGGGATGCCGTGTTGAGCGTCATTCTCCCTCAAACCT 	360
Sbjct	3375	TTGCGCCCTTGGTATTCAAAGGGATGCCGTGTTGAGCGTCATTCTCCCTCAAACCT 	3434
Query	361	TCGGGTTGGTGTGAGCGATAACGCTGGGTTGCTTGAAAGAAAGCGGAGTATAAACTA 	420
Sbjct	3435	TCGGGTTGGTGTGAGCGATAACGCTGGGTTGCTTGAAAGAAAGCGGAGTATAAACTA 	3494
Query	421	ATGGATAGGtttttCCACTCATTGGTACAAACTCCAAAATTCTTCAAATTGACCTC 	480
Sbjct	3495	ATGGATAGGTTTTTCCACTCATTGGTACAAACTCCAAAATTCTTCAAATTGACCTC 	3554
Query	481	AAATCAGGTAGGACTACCCGCTGAACCTAACGATATCAATAAGCGGAGGAAAGAACCA 	540
Sbjct	3555	AAATCAGGTAGGACTACCCGCTGAACCTAACGATATCAATAAGCGGAGGAAAGAACCA 	3614
Query	541	ACAGGGATTGCCTAGTAGCGGGCGAGTGAAGCGGAAAGCTCAAATTGAAATCTGGCA 	600
Sbjct	3615	ACAGGGATTGCCTAGTAGCGGGCGAGTGAAGCGGAAAGCTCAAATTGAAATCTGGCA 	3674
Query	601	CTTCAGTGTCCGAGTTGTAATTGAAAGAAGGTATCTTGGGCTGGCTCTGTCTATGT 	660
Sbjct	3675	CTTCAGTGTCCGAGTTGTAATTGAAAGAAGGTATCTTGGGCTGGCTCTGTCTATGT 	3734
Query	661	TTCTTGGAACAGAACGTACAGAGGGTGAGAATCCGTGCGATGAGATGTCAGACCTA 	720
Sbjct	3735	TTCTTGGAACAGAACGTACAGAGGGTGAGAATCCGTGCGATGAGATGTCAGACCTA 	3794
Query	721	TGTAAAGTCCTCGAACAGAGTCGAGTTGGGAATGCAGCTCTAAGTGGTGGTAAAT 	780
Sbjct	3795	TGTAAAGTCCTCGAACAGAGTCGAGTTGGGAATGCAGCTCTAAGTGGTGGTAAAT 	3854
Query	781	TCCATCTAAAGCTAAATATTGGCGAGAGACCGATAGCGAACAAAGTACAGTGTGGAAAGA 	840
Sbjct	3855	TCCATCTAAAGCTAAATATTGGCGAGAGACCGATAGCGAACAAAGTACAGTGTGGAAAGA 	3914
Query	841	TGAAAAGAACTTGAAAAGAGAGTGAAAAAGTACGTGAAATTGTTGAAAGGGAAAGGGCTT 	900
Sbjct	3915	TGAAAAGAACTTGAAAAGAGAGTGAAAAAGTACGTGAAATTGTTGAAAGGGAAAGGGCTT 	3974
Query	901	GAGATCAGACTTGGTATTGTATGTTACTCTCGGGGTGGCCTCTACAGTTACCGG 	960
Sbjct	3975	GAGATCAGACTTGGTATTGTATGTTACTCTCGGGGTGGCCTCTACAGTTACCGG 	4034
Query	961	GCCAGCATCAGTTGGCGGTAGGACAATTGCAAAGAAATGTGGCACTGCCTCGGTAGTG 	1020
Sbjct	4035	GCCAGCATCAGTTGGCGGTAGGACAATTGCAAAGAAATGTGGCACTGCCTCGGTAGTG 	4094
Query	1021	TGTTATAGTCTTGTGCGATACTGCCAGCCTAGACTGAGGACTGCGGCTCGGCCAAGGAT 	1080
Sbjct	4095	TGTTATAGTCTTGTGCGATACTGCCAGCCTAGACTGAGGACTGCGGCTCGGCCAGGAT 	4154
Query	1081	GTTGGCATAATGGT-TAAATGCCGCCGTCTT 1111 	
Sbjct	4155	GTTGGCATAATGATCTTAA-GTCGCCCGTCTT 4185	

Linhagem SM07**EU926480.1** *Candida apicola*

Reference: Zheng Zhang, Scott Schwartz, Lukas Wagner, and Webb Miller (2000), "A greedy algorithm for aligning DNA sequences", J Comput Biol 2000; 7(1-2):203-14.

Reference for database indexing: Aleksandr Morgulis, George Coulouris, Yan Raytselis, Thomas L. Madden, Richa Agarwala, Alejandro A. Schaffer (2008), "Database Indexing for Production MegaBLAST Searches", Bioinformatics 24:1757-1764.

ALIGNMENTS

```
>EU926480.1 Candida apicola strain UWOPS01-663b2 internal transcribed spacer
1, partial sequence; 5.8S ribosomal RNA gene and internal transcribed spacer 2,
complete sequence; and large subunit ribosomal RNA gene, partial sequence
Length=921
Score = 1640 bits (888), Expect = 0.0
Identities = 910/921 (99%), Gaps = 0/921 (0%)

Query  21  TAGGTGAACCTGCGGAAGGATCATTACTGAAGGCACACGCCGACATTGTGAAACGCTCC  80
|||...|...|...|...|...|...|...|...|...|...|...|...|...|...|...|...|...|...|...|...|...
Sbjct   1   TAGGTGAACCTGCGGAAGGATCATTACTGAAGGCACACGCCGACATTGTGAAACGCTCC  60
|||...|...|...|...|...|...|...|...|...|...|...|...|...|...|...|...|...|...|...|...|...
Query  81  TCGGAGCACTACTGGGTGTCACCGATAACCAACGTTAACTCTTATGTTATCTC  140
|||...|...|...|...|...|...|...|...|...|...|...|...|...|...|...|...|...|...|...|...
Sbjct   61  TCGGAGCACTACTGGGTGTCCTCCTGGCGCCAACGTTAACTCTTATGTTATCTC  120
|||...|...|...|...|...|...|...|...|...|...|...|...|...|...|...|...|...|...|...|...
Query 141  TGACAACCAAGAAATTAAAACCAACGGATCTCTGGTCTCGCATCGATGAAG  200
|||...|...|...|...|...|...|...|...|...|...|...|...|...|...|...|...|...|...|...|...
Sbjct 121  TGACAACCAAGAAATTAAAACCAACGGATCTCTGGTCTCGCATCGATGAAG  180
|||...|...|...|...|...|...|...|...|...|...|...|...|...|...|...|...|...|...|...
Query 201  AACGCAGCAAAGCGCGATAGGTAATGCGAATTGCAACACGGATCTTGGTCTCGCATCGATGAAC  260
|||...|...|...|...|...|...|...|...|...|...|...|...|...|...|...|...|...|...|...
Sbjct 181  AACGCAGCAAAGCGCGATAGGTAATGCGAATTGCAACACGGATCTTGGTCTCGCATCGATGAAC  240
|||...|...|...|...|...|...|...|...|...|...|...|...|...|...|...|...|...|...
Query 261  GCACATTGCGCCATTAGGTTCTCTTAATGGCATGCTTGGAGCGCCGATCTTCTCTC  320
|||...|...|...|...|...|...|...|...|...|...|...|...|...|...|...|...|...|...
Sbjct 241  GCACATTGCGCCATTAGGTTCTCTTAATGGCATGCTTGGAGCGCCGATCTTCTCTC  300
|||...|...|...|...|...|...|...|...|...|...|...|...|...|...|...|...|...
Query 321  ATACTACTTCATTGTAGTAGCGAGGTTCTGCTCCTTTAGGAGTCAAAAGAATGGAAGTGC  380
|||...|...|...|...|...|...|...|...|...|...|...|...|...|...|...|...|...|...
Sbjct 301  ATACTACTTCATTGTAGTAGCGAGGTTCTGCTCCTTTAGGAGTCAAAAGAATGGAAGTGC  360
|||...|...|...|...|...|...|...|...|...|...|...|...|...|...|...|...
Query 381  ACACGTTAGATAACTCTGTGCAGTTACTTACAATCTTGGCCTCCAATCAAGCAAGGCT  440
|||...|...|...|...|...|...|...|...|...|...|...|...|...|...|...|...|...
Sbjct 361  ACACGTTAGATAACTCTGTGCAGTTACTTACAATCTTGGCCTCCAATCAAGCAAGGCT  420
|||...|...|...|...|...|...|...|...|...|...|...|...|...|...
Query 441  ACCCGCTGAACTTAAGCATATCAATAAGCGGAGGAAAAGAAACCAACAGGGATTGCCTTA  500
|||...|...|...|...|...|...|...|...|...|...|...|...|...|...|...|...
Sbjct 421  ACCCGCTGAACTTAAGCATATCAATAAGCGGAGGAAAAGAAACCAACAGGGATTGCCTTA  480
|||...|...|...|...|...|...|...|...|...|...|...|...|...|...
Query 501  GTAGCGGCGAGTGAACAGGCAAAAGCTCAGATTGAAAGCCCTCGGGCATTTGTATTCTGA  560
|||...|...|...|...|...|...|...|...|...|...|...|...|...|...
Sbjct 481  GTAGCGGCGAGCGAACAGGCAAGAGCTCAGATTGAAAGCCCTCGGGCATTTGTATTCTGA  540
|||...|...|...|...|...|...|...|...|...|...|...|...|...
Query 561  AGCCTTGGTCCTGAGAATCGGTGTTAAGTCTCTGGAAAGGAGCGCCATGGAGGGTGAT  620
|||...|...|...|...|...|...|...|...|...|...|...|...|...
Sbjct 541  AGCCTTGGTCCTGAGAATCGGTGTTAAGTCTCTGGAAAGGAGCGCCATGGAGGGTGAT  600
|||...|...|...|...|...|...|...|...|...|...|...
Query 621  AGCCCCGTACGACACCCTCTCATTGTAGGACTTTGGCATGGAGTCGAGTTGGGAA  680
|||...|...|...|...|...|...|...|...|...|...|...
Sbjct 601  AGCCCCGTACGACACCCTCTCATTGTAGGACTTTGGCATGGAGTCGAGTTGGGAA  660
|||...|...|...|...|...|...|...|...
Query 681  TGCAGCTCAAATGGGTGGTATGCTCCATCTAAAGCTAAATATCTCGAGAGACCGATAGC  740
|||...|...|...|...|...|...|...|...
Sbjct 661  TGCAGCTCAAATGGGTGGTATGCTCCATCTAAAGCTAAATATCTCGAGAGACCGATAGC  720
|||...|...|...|...|...
Query 741  GAACAAAGTACTGTGAAGGAAAGATGAAAAGAACCTTGAAAAGAGAGTGAAAAAGTACGTG  800
|||...|...|...|...|...
Sbjct 721  GAACAAAGTACTGTGAAGGAAAGATGAAAAGAACCTTGAAAAGAGAGTGAAAAAGTACGTG  780
|||...|...|...|...
```

Query	801	AAATTGTTGAAAATGGAAGGATAGGCCGCTAACCATGTAGGGTCGTGTTGAGGGGAGGAT	860
Sbjct	781	AAATTGTTGAAATGGAAGGATAGGCCGCTAACCATGTAGGGTCGTGTTGAGGGGAAAGAT	840
Query	861	AAAAGCTGAAGAATGTGGCTCCTCGGAGTGTATAGCTTCAGTCCATACTCCCTCTCGAG	920
Sbjct	841	AAAAGCTGAAGAATGTAGCTCCTCGGAGTGTATAGCTTCAGTCCATATTCCCTCTCGAG	900
Query	921	CGCGAGGATCGAAGACTCTGC	941
Sbjct	901	CGCGAGGATCGAAGACTCTGC	921

Linhagem SM08**AY188370.1** *Metschnikowia* sp.

Reference: Zheng Zhang, Scott Schwartz, Lukas Wagner, and Webb Miller (2000), "A greedy algorithm for aligning DNA sequences", J Comput Biol 2000; 7(1-2):203-14.
 Reference for database indexing: Aleksandr Morgulis, George Coulouris, Yan Raytselis, Thomas L. Madden, Richa Agarwala, Alejandro A. Schaffer (2008), "Database Indexing for Production MegabLAST Searches", Bioinformatics 24:1757-1764.

ALIGNMENTS

>AY188370.1 *Metschnikowia* sp. M-040.2p internal transcribed spacer 1, partial sequence; 5.8S ribosomal RNA, internal transcribed spacer 2, complete sequence; and 26S ribosomal RNA, partial sequence

Length=893

Score = 1482 bits (802), Expect = 0.0

Identities = 860/886 (97%), Gaps = 11/886 (1%)

Query	27	GAAGGATCATTAAAAATAAT-TTATACAAACACTTTAGGaaaaaaaCACTTAATATTAAT	85
Sbjct	2	GAAGGATCATTAAAAAA-AATATTATACAACACTTTAGGAAAAAA-CCCTTAAATTAT	59
Query	86	TTATCAATCT-AAGTTaaaaaaaaCTTCAACAAACGGATCTTGGTCTCGCATCGA	144
Sbjct	60	ATATTAAACTAAAGTTAAAAAAAAACTTCAACAAACGGATCTTGGTCTCGCATCGA	119
Query	145	TGAAGAACGCAGCGAATTGCGATACGTAAATATGACTTGCAGACGTGAATCATTGAATTT	204
Sbjct	120	TGAAGAACGCAGCGAATTGCGATACGTAAATATGACTTGCAGACGTGAATCATTGAATTT	179
Query	205	TGAACGCACATTGCGCTTAAGGTATT CCTCAAGGCATGCGTGGATGAGCGATATTTACT	264
Sbjct	180	TGAACGCACATTGCGCTTAAGGTATT CCTCAAGGCATGCGTGGATGAGCGATATTTACT	239
Query	265	CTCAAAC-TTCTAGTTGGTCTTGTAAAC--CTAAATATCAAATGGCTGTAGAATAAGTT	321
Sbjct	240	CTCAAACCTTC-GGTTGGTCTTGTAAACCACAAAATATCAAATGGCTGTAGAATAAGTT	298
Query	322	TACACCAACTACTCCTCCTCATCTTGTAAAGACTACCCGCTGAACCTTAAGCATATCAAT	381
Sbjct	299	TACACCAACTACTCCTCCTCATCTTGTAAAGACTACCCGCTGAACCTTAAGCATATCAAT	358
Query	382	AAGCGGAGGAAAAGAAACCAACAGGGATTGCCTCAGTAACGGCGAGTGAAGCGGGCAAAAG	441
Sbjct	359	AAGCGGAGGAAAAGAAACCAACAGGGATTGCCTCAGTAACGGCGAGTGAAGCGGGCAAAAG	418
Query	442	CTCAAATTGAAATCCTCCGGATTGTAAATTGAAGGTGGGTTGAATAGGTCTAGATA	501

Sbjct	419	CTCAAATTGAAATCCTCCGGAAATTGTAATTGAAGGTGGGGTGAATAGGTCTAGATA	478
Query	502	CTTTAAGTCCATTGAAAATGGCGCCATGGAGGGTGTAGCCCCGTAAAGTATTCAAC	561
Sbjct	479	CTTTAAGTCCATTGAAAATGGCGCCATGGAGGGTGTAGCCCCGTAAAGTATTCAAC	538
Query	562	CTTCCTTTCTTCCCCTCTAACAGTCGAGTTGGATGCAGCTCTAACGTGGTGGT	621
Sbjct	539	CTTCCTTTCTTCCCCTCTAACAGTCGAGTTGGATGCAGCTCTAACGTGGTGGT	598
Query	622	AAATTCCATCTAAAGCTAAATATTGGCGAGAGA-CCGATAGCGAACAGTACAGTG	680
Sbjct	599	AAATTCCATCTAAAGCTAAATATTGGCGAGAGACCCGATAGCGAACAGTACAGTG	658
Query	681	AAAGATGAAAAGCACTTGAAAAGAGAGTGAAAAAGTACGTGAAATTGTTGAAAGG	740
Sbjct	659	AAAGATGAAAAGCACTTGAAAAGAGAGTGAAAAAGTACGTGAAATTGTTGAAAGG	718
Query	741	GGCTTGCAAGCAGACACAACCTCGGTTGGGCCAGCATGGAGTGGGGGAGACAAAAA	800
Sbjct	719	GGCTTGCAAGCAGACACAACCTCGGTTGGGCCAGCATGGAGTGGGGGAGACAAAAA	778
Query	801	GTTAGGAATGTAGCTCCCTTAGAGTATTATATCCTAGCCCTATATCTCCATCCC	860
Sbjct	779	GTTAGGAATGTAGCTA-TCTCGAGTATTATCCTGGCCCTATATCTCCACCCC	837
Query	861	GAGGCCTGCGATTCTCAAGGATGCTGGCGTAATGTTGCAAGTCG	906
Sbjct	838	GAGGCCTGCGATTCTCAAGGATGCTGGCGTAATGTTGCAA-TCG	882

Linhagem: SM09**MF420378.1** *Zygosaccharomyces siamensis*

Reference: Zheng Zhang, Scott Schwartz, Lukas Wagner, and Webb Miller (2000), "A greedy algorithm for aligning DNA sequences", J Comput Biol 2000; 7(1-2):203-14.

Reference for database indexing: Aleksandr Morgulis, George Coulouris, Yan Raytselis, Thomas L. Madden, Richa Agarwala, Alejandro A. Schaffer (2008), "Database Indexing for Production Megablast Searches", Bioinformatics 24:1757-1764.

ALIGNMENTS

>MF420378.1	<i>Zygosaccharomyces siamensis</i> strain FM2-2	26S	ribosomal RNA
gene,partial sequence			
Length=591			
Score = 1046 bits (566), Expect = 0.0			
Identities = 568/569 (99%), Gaps = 0/569 (0%)			
Strand=Plus/Plus			
Query 504	GCATATCAATAAGCGGAGGAAAGAAACCAACCGGGATTGCCTTAGTAACGGCGAGTGAA	563	
Sbjct 4	GCATATCAATAAGCGGAGGAAAGAAACCAACCGGGATTGCCTTAGTAACGGCGAGTGAA	63	
Query 564	GCGGCAAGAGCTCAAATTGAAATCTGGTACCATTGGTGCCGAGTTGTAATTGGAGA	623	
Sbjct 64	GCGGCAAGAGCTCAAATTGAAATCTGGTACCATTGGTGCCGAGTTGTAATTGGAGA	123	
Query 624	GAGCGATTCTGGGCTGGCGCTTGCCTATGTTCTGGAACAGGACGTAGAGGGTGA	683	
Sbjct 124	GAGCGATTCTGGGCTGGCGCTTGCCTATGTTCTGGAACAGGACGTAGAGGGTGA	183	
Query 684	GAACCCCGTGAGGCGAGATGTACCAAGTTGTTGAGAGCGCTCTGAAGAGTCGAGTTG	743	

Sbjct	184	GAACCCGTGAGCGAGATGTACCACTTCTAGAGCGCTCGAAGAGTCGAGTTGT	243
Query	744	TTGGGAATGCAGCTCTAACAGAGGTGGAAATTCCATCTAAAGCTAAATACAGGCAGAGA	803
Sbjct	244	TTGGGAATGCAGCTCTAACAGAGGTGGAAATTCCATCTAAAGCTAAATACAGGCAGAGA	303
Query	804	CCGATAGCGAACAAAGTACAGTGATGGAAAAGATGAAAAGAACTTGAAGAGAGTGAAA	863
Sbjct	304	CCGATAGCGAACAAAGTACAGTGATGGAAAAGATGAAAAGAACTTGAAGAGAGTGAAA	363
Query	864	AGGACGTGAAATTGTTGAAAGGGAGGGCATTGATCAGACATGGTGTGCCCCCTC	923
Sbjct	364	AGGACGTGAAATTGTTGAAAGGGAGGGCATTGATCAGACATGGTGTGCCCCCTC	423
Query	924	GCTCCTCGTGGGTGGGGAAATCTCGCAGCTCACTGGGCCAGCATCAGTTGGTGGCAGG	983
Sbjct	424	GCTTCTCGTGGGTGGGGAAATCTCGCAGCTCACTGGGCCAGCATCAGTTGGTGGCAGG	483
Query	984	AGAAAGCCTCGGAATGTGACTCTTGCCTTTGGCGGGGGTGTATAGCCCAGGGGAA	1043
Sbjct	484	AGAAAGCCTCGGAATGTGACTCTTGCCTTTGGCGGGGGTGTATAGCCCAGGGGAA	543
Query	1044	TACTGCCAGCGGGACTGAGGTATGCGAC	1072
Sbjct	544	TACTGCCAGCGGGACTGAGGTATGCGAC	572

Linhagem: SM10**KC111446.1 Hanseniaspora opuntiae**

Reference: Zheng Zhang, Scott Schwartz, Lukas Wagner, and Webb Miller (2000), "A greedy algorithm for aligning DNA sequences", J Comput Biol 2000; 7(1-2):203-14.
 Reference for database indexing: Aleksandr Morgulis, George Coulouris, Yan Raytselis, Thomas L. Madden, Richa Agarwala, Alejandro A. Schaffer (2008), "Database Indexing for Production MegabLAST Searches", Bioinformatics 24:1757-1764.

ALIGNMENTS

>KC111446.1 Hanseniaspora opuntiae strain JEY269 18S ribosomal RNA gene, partial sequence; internal transcribed spacer 1, 5.8S ribosomal RNA gene, and internal transcribed spacer 2, complete sequence; and 28S ribosomal RNA gene, partial sequence
 KC111447.1 Hanseniaspora opuntiae strain JEY270 18S ribosomal RNA gene, partial sequence; internal transcribed spacer 1, 5.8S ribosomal RNA gene, and internal transcribed spacer 2, complete sequence; and 28S ribosomal RNA gene, partial sequence
 Length=1964
 Score = 2468 bits (1336), Expect = 0.0
 Identities = 1339/1340 (99%), Gaps = 1/1340 (0%)

Query	8	TCCGTAGGTGAAACCTGCGGAAGGATCATTAGATTGAATTATCATTGTTGCTCGAGTTCTT	67
Sbjct	1	TCCGTAGGTGAAACCTGCGGAAGGATCATTAGATTGAATTATCATTGTTGCTCGAGTTCTT	60
Query	68	GTTTAGATCTTTACAATAATGTATCTTATTGGAGATGTGCGCTTAATTGCGCTGCT	127
Sbjct	61	GTTTAGATCTTTACAATAATGTATCTTATTGGAGATGTGCGCTTAATTGCGCTGCT	120
Query	128	TCATTAGAGTGTGCACTAGAAGTAGTCTTGCCTGAATCTCAGTCAACGTTACACACAT	187
Sbjct	121	TCATTAGAGTGTGCACTAGAAGTAGTCTTGCCTGAATCTCAGTCAACGTTACACACAT	180
Query	188	TGGAG-TTTTTACTTAATTAAATTCTTCTGCTTGAATCGAAAGGTTCAAGGcaaaa	246
Sbjct	181	TGGAGTTTTACTTAATTAAATTCTTCTGCTTGAATCGAAAGGTTCAAGGCAAAA	240

Query	247	aacaaaacacaacaatttatttattataattttaaactaaaccaaattcctaacg 	306
Sbjct	241	AACAAACACAACAATTTATTATAATTAACTAAACCAAATTCTAACG 	300
Query	307	gaaatttaaaataatttaaaacttCAACAACGGATCTTGGTCTGCATCGATGAA 	366
Sbjct	301	GAAATTAAATAATTAAAACCAACGGATCTTGGTCTGCATCGATGAA 	360
Query	367	GAACGTAGCGAATTGCGATAAGTAATGTGAATTGAGACTCGTGAATCATTGAATT 	426
Sbjct	361	GAACGTAGCGAATTGCGATAAGTAATGTGAATTGAGACTCGTGAATCATTGAATT 	420
Query	427	TGAACGCACATTGCGCCCTGAGCATTCTCAAGGGCATGCCTGTTGAGCGTCATT 	486
Sbjct	421	TGAACGCACATTGCGCCCTGAGCATTCTCAAGGGCATGCCTGTTGAGCGTCATT 	480
Query	487	TCTAAAAGATAAttttttatttttGGTTGGCGATACTCAGGGTAGCTTGAAATT 	546
Sbjct	481	TCTAAAAGATAATTTTTATTTTGGTTGGCGATACTCAGGGTAGCTTGAAATT 	540
Query	547	GGAGACTGTTCAGTCTTTAATTCAACACTTAGCTTGGAGACGCTGTTCTCGC 	606
Sbjct	541	GGAGACTGTTCAGTCTTTAATTCAACACTTAGCTTGGAGACGCTGTTCTCGC 	600
Query	607	TGTGATGTATTATGGATTATTGTTACTTACAAGGGAAATGGAATGTACCTAG 	666
Sbjct	601	TGTGATGTATTATGGATTATTGTTACTTACAAGGGAAATGGAATGTACCTAG 	660
Query	667	GCAAAGGGTTGCTTTAATATTCAAGTTGACCTCAAATCAGTAGGATTACCGCT 	726
Sbjct	661	GCAAAGGGTTGCTTTAATATTCAAGTTGACCTCAAATCAGTAGGATTACCGCT 	720
Query	727	GAACTTAACATCAATAAGCGGAGGAAAGAAACCAACTGGGATTACCTAGAACGG 	786
Sbjct	721	GAACTTAACATCAATAAGCGGAGGAAAGAAACCAACTGGGATTACCTAGAACGG 	780
Query	787	CGAGTGAAGCGTAAAGCTCAAATTGAAATCTGGTACTTCAGTGCCGAGTTGTAAT 	846
Sbjct	781	CGAGTGAAGCGTAAAGCTCAAATTGAAATCTGGTACTTCAGTGCCGAGTTGTAAT 	840
Query	847	TTGTAGAATTGTCTTGATTAGTCCTGTCTATGTCCTGGAACAGGACGTATAGA 	906
Sbjct	841	TTGTAGAATTGTCTTGATTAGTCCTGTCTATGTCCTGGAACAGGACGTATAGA 	900
Query	907	GGGTGAGAATCCGTTGGCGAGGATACCTTCTCTGTAAGACTTTCGAAGAGTCGA 	966
Sbjct	901	GGGTGAGAATCCGTTGGCGAGGATACCTTCTCTGTAAGACTTTCGAAGAGTCGA 	960
Query	967	GTTGTTGGAAATGCAGCTAAAGTGGTGGTAATTCCATCTAAAGCTAAATTGGCG 	1026
Sbjct	961	GTTGTTGGAAATGCAGCTAAAGTGGTGGTAATTCCATCTAAAGCTAAATTGGCG 	1020
Query	1027	AGAGACCGATAGCGAACAAAGTACAGTGATGGAAAGATGAAAGAACCTTGAAAAGAG 	1086
Sbjct	1021	AGAGACCGATAGCGAACAAAGTACAGTGATGGAAAGATGAAAGAACCTTGAAAAGAG 	1080
Query	1087	GAAAAAGTACGTGAAATTGTTGAAAGGGAAAGGCATTGATCAGACATGGTTTTGC 	1146
Sbjct	1081	GAAAAAGTACGTGAAATTGTTGAAAGGGAAAGGCATTGATCAGACATGGTTTTGC 	1140
Query	1147	ATGCACTGCCCTCGTGGCTTGGCCTCTCAAAATTCACTGGCCAACATCAATT 	1206
Sbjct	1141	ATGCACTGCCCTCGTGGCTTGGCCTCTCAAAATTCACTGGCCAACATCAATT 	1200
Query	1207	TGGCAGTAGGATAATCATTAAGAATGTAGCTACCTCGTAGTGTATAGCTTATTGAA 	1266

Sbjct	1201	TGGCAGTAGGATAAATCATTAAGAACATGCTACCTCGGTAGTGTATAGCTTATTGGAA	1260
Query	1267	TACTGCTAGCTGGGATTGAGGACTGCGCTTCGGCAAGGATGTTGGCATAATGGTTAAATG 	1326
Sbjct	1261	TACTGCTAGCTGGGATTGAGGACTGCGCTTCGGCAAGGATGTTGGCATAATGGTTAAATG	1320
Query	1327	CCGCCCGTCTTGAAACACGG 	1346
Sbjct	1321	CCGCCCGTCTTGAAACACGG	1340

Posted date: Jun 5, 2018 11:03 PM

Linhagem: SM11

DQ104714.1 *Pichia manshurica*

Reference: Zheng Zhang, Scott Schwartz, Lukas Wagner, and Webb Miller (2000), "A greedy algorithm for aligning DNA sequences", J Comput Biol 2000; 7(1-2):203-14.

Reference for database indexing: Aleksandr Morgulis, George Coulouris, Yan Raytselis, Thomas L. Madden, Richa Agarwala, Alejandro A. Schaffer (2008), "Database Indexing for Production MegaBLAST Searches", Bioinformatics 24:1757-1764.

ALIGNMENTS

>DQ104714.1 *Pichia manshurica* strain CBS 209 18S ribosomal RNA gene, partial Sequence; internal transcribed spacer 1, 5.8S ribosomalRNA gene, and internal transcribed spacer 2, complete sequence; and 26S ribosomal RNA gene, partial sequence
Length=1023
Score = 1792 bits (970), Expect = 0.0
Identities = 1012/1030 (98%), Gaps = 11/1030 (1%)

Query	11	TCCGTA-GGTGAAACCTGCGGAAGGATCATTACTGTGAATTAACTTCCACACATGCGTGAG 	69
Sbjct	1	TCCGTAGGGTGAACCTGCGGAAGGATCATTACTGTGAATTAACTTCCACACATGCGTGAG	60
Query	70	CGCACAAAACACATAAACCGTGGTGGAGTAATTTAGTCGAACTTGaaaaaaaTACAAAAC 	129
Sbjct	61	CGCACAAAACACATAAACCGTGGTGGAGTAATTTAGTCGAACTTGaaaaaaaaATACAAAAC	120
Query	130	TTTCAACAACGGATCTCTGGTCTCGCATCGATGAAGAGCGCAGCGAAATGCGATAACCT 	189
Sbjct	121	TTTCAACAACGGATCTCTGGTCTCGCATCGATGAAGAGCGCAGCGAAATGCGATAACCT	180
Query	190	AGTGTGAATTGCAGCCATCGTGAATCATCGAGTTCTGAACGCACATTGCGCCCGTCGGT 	249
Sbjct	181	AGTGTGAATTGCAGCCATCGTGAATCATCGAGTTCTGAACGCACATTGCGCCCGTCGGT	240
Query	250	ATTCGGCGGGCATGCCGTCTGAGCGTCGTTCCCTCTGGAGTCTTCTCTTTGAG-A 	308
Sbjct	241	ATTCGGCGGGCATGCCGTCTGAGCGTCGTTCCCTCTGGAGTCTTCTCTTTGAG-ACTT-TTGTAAAGAA	298
Query	309	AGATGCCAGAGTTGGCCGTGCCACTGGCCCGGGCGAAAAGAAACGTTGCGGACGAAGCGA 	368
Sbjct	299	AGAT-CCAGAGCTGGCCGTGCCACTGGCCCGGGCGAAAAGAAACGTTGCGGACGAAGCGA	357
Query	369	ACGTACATCGGGACGCTTGGCCGCGAGCGAA--ATATCATTGAGCTCGACCTCAGAT 	426
Sbjct	358	AC-TACATCGGGACGCTTGGCCGCGAGCGAAAATATATCATTGAGCTCGACCTCAGAT	416
Query	427	CAGGTAGGAGTACCCGCTGAACTTAAGCATATCAATAAGCGGAGGAAAAGAAACCAACAG 	486
Sbjct	417	CAGGTAGGAGTACCCGCTGAACTTAAGCATATCAATAAGC--GGAAAAAGAAACCAACAG	473

Query	487	GGATTGCCCGAGTCGGCGAGTGAAGCGGCAAGAGCTCAGATTGAAATCGTGTTCGG 	546
Sbjct	474	GGATTGCCCGAGTCGGCGAGTGAAGCGGCAAGAGCTCAGATTGAAATCGTGTTCGG 	533
Query	547	CACGAGTTGTAGAGTGTAGGCAGGGAGTCTCTGTGGAGCGCGGTGTCCAAGTCCCTGGAA 	606
Sbjct	534	CACGAGTTGTAGAGTGTAGGCAGGGAGTCTCTGTGGAGCGCGGTGTCCAAGTCCCTGGAA 	593
Query	607	CAGGGTGCCTGAGAGGGTGAGAGCCCCGTAGGGTGCTGCGCGAAGCTTTGAGGCCCTGC 	666
Sbjct	594	CAGGGTGCCTGAGAGGGTGAGAGCCCCGTAGGGTGCTGCGCGAAGCTTTGAGGCCCTGC 	653
Query	667	TGACGAGTCGAGTTGGAAATGCAGCTCCAAGCGGGTGGTAAATTCCATCTAAGGCT 	726
Sbjct	654	TGACGAGTCGAGTTGGAAATGCAGCTCCAAGCGGGTGGTAAATTCCATCTAAGGCT 	713
Query	727	AAATATTGGCGAGAGACCGATAGCGAACAAAGTACTGTGAAGGAAAGATGAAAAGCACTT 	786
Sbjct	714	AAATATTGGCGAGAGACCGATAGCGAACAAAGTACTGTGAAGGAAAGATGAAAAGCACTT 	773
Query	787	GAAAAGAGAGTGAAACAGCACGTGAAATTGTTGAAAGGGAAAGGGTATTGGGCTCGACATG 	846
Sbjct	774	GAAAAGAGAGTGAAACAGCACGTGAAATTGTTGAAAGGGAAAGGGTATTGGGCTCGACATG 	833
Query	847	GGGGGTGCGCACCGCTGTCTCTTGTAGGCAGCGCTCTGGCGCCCTCTGGGCCAGCATCG 	906
Sbjct	834	GGGGGTGCGCACCGCTGTCTCTTGTAGGCAGCGCTCTGGCGCCCTCTGGGCCAGCATCG 	893
Query	907	GTTCCCTGCTGCCGGAGAAGGGGCTCCGGAAAGTGGCTCTCGGAGTGTATAGCCGGGC 	966
Sbjct	894	GTTCCCTGCTGCCGGAGAAGGGGCTCCGGAAAGTGGCTCTCGGAGTGTATAGCCGGGC 	953
Query	967	CAGATGCCCGGTGTGGGGACCGAGGACTGCGGCTCTGTCTCGGATGCTGGCATAACGGC 	1026
Sbjct	954	CAGATGCCCGGTGTGGGGACCGAGGACTGCGGCTCTGTCTCGGATGCTGGCATAACGGC 	1013
Query	1027	GCAATACCGC 1036 	
Sbjct	1014	GCAATACCGC 1023	

Database: Nucleotide collection (nt)
 Posted date: Jun 7, 2018 5:03 AM

Alinhamento: SM12

JX188199.1 *Pichia kluyveri*

Reference: Zheng Zhang, Scott Schwartz, Lukas Wagner, and Webb Miller (2000), "A greedy algorithm for aligning DNA sequences", J Comput Biol 2000; 7(1-2):203-14.

Reference for database indexing: Aleksandr Morgulis, George Coulouris, Yan Raytselis, Thomas L. Madden, Richa Agarwala, Alejandro A. Schaffer (2008), "Database Indexing for Production MegaBLAST Searches", Bioinformatics 24:1757-1764.

ALIGNMENTS

>JX188199.1 *Pichia kluyveri* strain P40A003 internal transcribed spacer 1, partial sequence; 5.8S ribosomal RNA gene and internal transcribed spacer 2, complete sequence; and large subunit ribosomal RNA gene, partial sequence
 Length=939

Score = 1720 bits (931, Expect = 0.0
 Identities = 935/937 (99%), Gaps = 0/937 (0%)
 Strand=Plus/Plus

Query	14	ATATCTTACACATGCGTGAGCGCACCAACACCTAAAATTGTAATACTACCAGTCACT	73
Sbjct	1	ATATCTTACACATGCGTGAGCGCACCAACACCTAAAATTGTAATACTACCAGTCACT	60
Query	74	AAGTTTAACAAAACAAAACCTTCAACAACGGATCTCTGGTCTCGCATCGATGAAGAG	133
Sbjct	61	AAGTTTAACAAAACAAAACCTTCAACAACGGATCTCTGGTCTCGCATCGATGAAGAG	120
Query	134	CGCAGCGAAATGCGATACCTAGTGTGAATTGCAGCCATCGTGAATCATCGAGTTCTGAA	193
Sbjct	121	CGCAGCGAAATGCGATACCTAGTGTGAATTGCAGCCATCGTGAATCATCGAGTTCTGAA	180
Query	194	CGCACATTGCGCCCCATGGTATTCCATGGGCATGCCGTCTGAGCGTCGTTCCCTTCTT	253
Sbjct	181	CGCACATTGCGCCCCATGGTATTCCATGGGCATGCCGTCTGAGCGTCGTTCCCTTCTT	240
Query	254	GCGCAAGCAGAGTTGAGAACAGGCTATGCCTTTCGAAATGGAACGTCGTGGACGAAGT	313
Sbjct	241	GCGCAAGCAGAGTTGAGAACAGGCTATGCCTTTCGAAATGGAACGTCGTGGACGAAGT	300
Query	314	GAACAAATTAGCAGCCTTGGCCGCCGAACCTTAACACTAAGCTCGACCTCAGATCA	373
Sbjct	301	GAACAAATTAGCAGCCTTGGCCGCCGAACCTTAACACTAAGCTCGACCTCAGATCA	360
Query	374	GGTAGGAATACCCGCTGAACCTAACGATATCAATAAGCGGAGGAAAGAACCAACAGGG	433
Sbjct	361	GGTAGGAATACCCGCTGAACCTAACGATATCAATAAGCGGAGGAAAGAACCAACAGGG	420
Query	434	ATTGCCTCAGTAGCGCGAGTGAAGCGGAAGAGCTCAGATTGAAATCTCACCTAGTGT	493
Sbjct	421	ATTGCCTCAGTAGCGCGAGTGAAGCGGAAGAGCTCAGATTGAAATCTCACCTAGTGT	480
Query	494	GCGAGTTGAAATTGCAGGTTGGAGTCTCGGGTAGACGTGTGCAAGTCCTTGGAAC	553
Sbjct	481	GCGAGTTGAAATTGCAGGTTGGAGTCTCGGGTAGACGTGTGCAAGTCCTTGGAAC	540
Query	554	AGGGTGCACACTGAGGGTGAGAGCCCCGTAGCGTGCATGTCGACACCTGTGAGGCCCTTCT	613
Sbjct	541	AGGGTGCACACTGAGGGTGAGAGCCCCGTACGTGCATGTCGACACCTGTGAGGCCCTTCT	600
Query	614	GACGAGTCGAGTTGGGAATGCGACTCTAACGTTGGGTAAATTCCATCTAAGGCTA	673
Sbjct	601	GACGAGTCGAGTTGGGAATGCGACTCTAACGTTGGGTAAATTCCATCTAAGGCTA	660
Query	674	AATATTGGCGAGAGACCGATAGCGAACAAAGTACTGTGAAGGAAAGATGAAAAGCACTTG	733
Sbjct	661	AATATTGGCGAGAGACCGATAGCGAACAAAGTACTGTGAAGGAAAGATGAAAAGCACTTG	720
Query	734	AAAAGAGAGTGAACACAGCACGTGAAATTGTTGAAAGGGAGGGTATTGGCTCGACATGG	793
Sbjct	721	AAAAGAGAGTGAACACAGCACGTGAAATTGTTGAAAGGGAGGGTATTGGCTCGACATGG	780
Query	794	GATTTACGCATCGTTGCCTCTCGTGGCGCGCTCTGGTTTCCTGGCCAGCAGTCGG	853
Sbjct	781	GATTTACGCATCGTTGCCTCTCGTGGCGCGCTCTGGTTTCCTGGCCAGCAGTCGG	840
Query	854	TTTCGTTGCAGGATAAGGACAATTGGAATGTGGCTCCTCGGAGTGTATAGCCTTTGT	913
Sbjct	841	TTTCGTTGCAGGATAAGGACAATTGGAATGTGGCTCCTCGGAGTGTATAGCCTTTGT	900
Query	914	AGATGCTGCGTATGGGACCGAGGGCTGCGGCGGACT	950
Sbjct	901	AGATGCTGCGTATGGGACCGAGGGCTGCGGCGGACT	937

Database: Nucleotide collection (nt)
 Posted date: Jun 7, 2018 5:03 AM

Linhagem: SM13

KT282395.1 Trichosporon asahii

Reference: Zheng Zhang, Scott Schwartz, Lukas Wagner, and Webb Miller (2000), "A greedy algorithm for aligning DNA sequences", J Comput Biol 2000; 7(1-2):203-14.
 Reference for database indexing: Aleksandr Morgulis, George Coulouris, Yan Raytselis, Thomas L. Madden, Richa Agarwala, Alejandro A. Schaffer (2008), "Database Indexing for Production MegabLAST Searches", Bioinformatics 24:1757-1764.

>KT282395.1 Trichosporon asahii strain AP.MSU6 18S ribosomal RNA gene, partial sequence; internal transcribed spacer 1, 5.8S ribosomal RNA gene, and internal transcribed spacer 2, complete sequence; and 28S ribosomal RNA gene, partial sequence

Length=1659

Score = 2139 bits (1158), Expect = 0.0

Identities = 1165/1168 (99%), Gaps = 1/1168 (0%)

Query 1	GTAACAAGGTTCCGTAGGTGAACCTGCGGAAGGATCATTAGTGATTGCCTTATAGGCT	60
Sbjct 69	GTAACAAGGTTCCGTAGGTGAACCTGCGGAAGGATCATTAGTGATTGCCTTATAGGCT	128
Query 61	TATAACTATATCCACTTACACCTGTGAACGTGTTCTACTACTTGACGCAAGTCGAGTATT	120
Sbjct 129	TATAACTATATCCACTTACACCTGTGAACGTGTTCTACTACTTGACGCAAGTCGAGTATT	188
Query 121	TTACAAACAATGTGTAATGAACGTCGTTTATTATAACAAAATAAACTTCAACAACGG	180
Sbjct 189	TTACAAACAATGTGTAATGAACGTCGTTTATTATAACAAAATAAACTTCAACAACGG	248
Query 181	ATCTCTGGCTCTGCATCGATGAAGAACGCGAGCGAATTGCGATAAGTAATGTGAATTGC	240
Sbjct 249	ATCTCTGGCTCTGCATCGATGAAGAACGCGAGCGAATTGCGATAAGTAATGTGAATTGC	308
Query 241	AGAATTCACTGAAATCATCGAATCTTGAAACGCGAGCTGCGCTCTCTGGTATTCCGGAGAG	300
Sbjct 309	AGAATTCACTGAAATCATCGAATCTTGAAACGCGAGCTGCGCTCTCTGGTATTCCGGAGAG	368
Query 301	CATGCCTGTTCACTGTCATGAAATCTCAACCACTAGGGTTCCATAATGGATTGGATTG	360
Sbjct 369	CATGCCTGTTCACTGTCATGAAATCTCAACCACTAGGGTTCCATAATGGATTGGATTG	428
Query 361	GGCGCTGCGATTCTGATCGCTGCCCTAAAGAGTTAGCAAGTTGACATTAATGTCT	420
Sbjct 429	GGCGCTGCGATTCTGATCGCTGCCCTAAAGAGTTAGCAAGTTGACATTAATGTCT	488
Query 421	GGTGTAAAGTTCACTGGGCCATTGTGTTGAAGCGTGCTCTAATCGCCGCAAGGA	480
Sbjct 489	GGTGTAAAGTTCACTGGGCCATTGTGTTGAAGCGTGCTCTAATCGCCGCAAGGA	548
Query 481	CAATTAC-TTGACTCTGGCTGAAATCAGGTAGGACTACCCGCTGAACCTAACATATCA	539
Sbjct 549	CAATTACTTGTACTCTGGCTGAAATCAGGTAGGACTACCCGCTGAACCTAACATATCA	608
Query 540	ATAAGCGGAGGAAAGAAACTAACAGGATTCCCTAGTAACGGCGAGTGAAGCGGGAAAG	599
Sbjct 609	ATAAGCGGAGGAAAGAAACTAACAGGATTCCCTAGTAACGGCGAGTGAAGCGGGAAAG	668
Query 600	AGCTCAAATTGAAATCTGGCAGTCTCGATTGTCGAGTTGTAATCTATAGAGGCCTT	659
Sbjct 669	AGCTCAAATTGAAATCTGGCAGTCTCGATTGTCGAGTTGTAATCTATAGAGGCCTT	728

Query	660	TCCGTGCCGGACCGTGTCCAAGTCTCCTGGAAAGGAGTATCAAAGAGGGTGATAATCCCG 	719
Sbjct	729	TCCGTGCCGGACCGTGTCCAAGTCTCCTGGAAAGGAGTATCAAAGAGGGTGATAATCCCG 	788
Query	720	TACTTAACACGACCACCGGTGCTCTGTGATACGTCTTCTACGAGTCGAGTTGGAA 	779
Sbjct	789	TACTTAACACGACCACCGGTGCTCTGTGATACGTCTTCTACGAGTCGAGTTGGAA 	848
Query	780	TGCAGCTAAAATGGGTGGTGAATTCCATCTAAAGCTAAATATTGGCGAGAGACCGATAG 	839
Sbjct	849	TGCAGCTAAAATGGGTGGTGAATTCCATCTAAAGCTAAATATTGGCGAGAGACCGATAG 	908
Query	840	CGAACAAAGTACCGTGAGGGAAAGATGAAAAGCACTTGGAAAGAGAGTTAACAGTACGT 	899
Sbjct	909	CGAACAAAGTACCGTGAGGGAAAGATGAAAAGCACTTGGAAAGAGAGTTAACAGTACGT 	968
Query	900	GAAATTGTTGAAAGGAAACGATTGAAGTCAGTCGTGTTCTTGGATTCCAGCCAGTTCTG 	959
Sbjct	969	GAAATTGTTGAAAGGAAACGATTGAAGTCAGTCGTGTTCTTGGATTCCAGCCAGTTCTG 	1028
Query	960	CTGGTCTACTCCTGGAACGGTCAACATCAGTTTGTCCGGTGGATAAAGGTAGTAGG 	1019
Sbjct	1029	CTGGTCTACTCCTGGAACGGTCAACATCAGTTTGTCCGGCGGATAAAGGTAGTAGG 	1088
Query	1020	AATGTGACTTCTCCGGAAGTGTATAGCCTATTATCACATACACTGGGTGAGACTGAGGA 	1079
Sbjct	1089	AATGTGACTTCTCCGGAAGTGTATAGCCTATTATCACATACACTGGGTGAGACTGAGGA 	1148
Query	1080	CTGCAGCTCGCCTTATGGCCGGCCTCGGGCACGTTCGAGCTTAGGATGTTGACATAAT 	1139
Sbjct	1149	CTGCAGCTCGCCTTATGGCCGGCCTCGGGCACGTTCGAGCTTAGGATGTTGACACAAT 	1208
Query	1140	GGCTTTAACGACCCGTCTGAAACACG 1167 	
Sbjct	1209	GGCTTTAACGACCCGTCTGAAACACG 1236 	

Linhagem: SM14

KC111448.1 *Kodamaea ohmeri*

Reference: Zheng Zhang, Scott Schwartz, Lukas Wagner, and Webb Miller (2000), "A greedy algorithm for aligning DNA sequences", J Comput Biol 2000; 7(1-2):203-14.
Reference for database indexing: Aleksandr Morgulis, George Coulouris, Yan Raytselis, Thomas L. Madden, Richa Agarwala, Alejandro A. Schaffer (2008), "Database Indexing for Production MegaBLAST Searches", Bioinformatics 24:1757-1764.

>KC111448.1 *Kodamaea ohmeri* strain JEY182 18S ribosomal RNA gene, partial sequence; internal transcribed spacer 1, 5.8S ribosomal RNA gene, and internal transcribed spacer 2, complete sequence; and 28S ribosomal RNA gene, partial sequence
Length=1535
Score = 1672 bits (905, Expect = 0.0
Identities = 914/918 (99%), Gaps = 1/918 (0%)

Query	2	TCCGTAGGTGAACTCGCGAAGGATCATTACATAATATTCTACACACTGtttttAC	61
Sbjct	1	TCCGTAGGTGAACTCGCGAAGGATCATTACATAATATTCTACACACTGTTTTTAC	60
Query	62	AACAAAACAAACATATCTAACATCTAACATTCTACGTTTAAATTCTTAAACTTCACAA	121
Sbjct	61	AACAAAACAAATCTATCTAACATCTAACATTCTACGTTTAAATTCTTAAACTTCACAA	120
Query	122	ACGGATCTCTGGTTCTCGCATCGATGAAGAACCGCAGCGAAATGCGATACGTAATACGAA	181

Sbjct	121	ACGGATCTTGGTTCTCGCATCGATGAAGAACGCAGCGAAATGCGATAACGTAATACGAA	180
Query	182	TCGCAGCTCTCGAATCATCGAATCTTGAACGCACATTGCACCATTGGGTATTCCCAAT	241
Sbjct	181	TCGCAGCTCTCGAATCATCGAATCTTGAACGCACATTGCACCATTGGGTATTCCCAAT	240
Query	242	GGTATGCTTGGTTGAGCGAATACTTCCCTAACCTCACGGATTGTATTGTGTTGCACGA	301
Sbjct	241	GGTATGCTTGGTTGAGCGAATACTTCCCTAACCTCACGGATTGTATTGTGTTGCACGA	300
Query	302	AAATAATGACGACAGTACTCTACAAAACGGTACCGTCAGTACGCTCATTtttttCCTC	361
Sbjct	301	AAATAATGACGACAGTACTCTACAAAACGGTACCGTCAGTACACTCA-TTTTTTTCCCTC	359
Query	362	AAATCAAGTAGGACTACCCGCTGAACCTAACGCATATCAATAAGCGGAGGAAAAGAACCA	421
Sbjct	360	AAATCAAGTAGGACTACCCGCTGAACCTAACGCATATCAATAAGCGGAGGAAAAGAACCA	419
Query	422	ACAGGGATTGCCTCAGTAACGGCGAGTGAAGCGGCAAAAGCTCAAATTGAAATCCCCC	481
Sbjct	420	ACAGGGATTGCCTCAGTAACGGCGAGTGAAGCGGCAAAAGCTCAAATTGAAATCCCCC	479
Query	482	GGGGAGTTGTAATTGAAGATTGCGTCTGGAGGCGACCGTGTCTATGTTCTTGGAAACA	541
Sbjct	480	GGGGAGTTGTAATTGAAGATTGCGTCTGGAGGCGACCGTGTCTATGTTCTTGGAAACA	539
Query	542	GGACGTCACAGAGGGTGAGAATCCCGTGGGCACGGCCCCGGCTCCTTATAAGGCGCTC	601
Sbjct	540	GGACGTCACAGAGGGTGAGAATCCCGTGGGCACGGCCCCGGCTCCTTATAAGGCGCTC	599
Query	602	TCGACGAGTCGAGTTGGGAATGCAGCTCAAAGTGGTGGTAAATTCCATCTAAAGC	661
Sbjct	600	TCGACGAGTCGAGTTGGGAATGCAGCTCAAAGTGGTGGTAAATTCCATCTAAAGC	659
Query	662	TAAATACAGGCAGAGACCGATAGCGAACAAAGTACAGTGTGATGAAAGATGAAAGCACTT	721
Sbjct	660	TAAATACAGGCAGAGACCGATAGCGAACAAAGTACAGTGTGATGAAAGATGAAAGCACTT	719
Query	722	TGAAAAGAGAGTGAACACAGCACGTGAAATTGTTGAAAGGGAGGGCATGCCGTAGATTG	781
Sbjct	720	TGAAAAGAGAGTGAACACAGCACGTGAAATTGTTGAAAGGGAGGGCATGCCGTAGATTG	779
Query	782	TCAGTGTGGTAAGAACAGCACGTGAAATTGTTGAAAGGGAGGGCATGCCGTAGATTG	841
Sbjct	780	TCAGTGTGGTAAGAACAGCACGTGAAATTGTTGAAAGGGAGGGCATGCCGTAGATTG	839
Query	842	CGCAGTTCATGCCCGTCTTCCGAGGCCTGTTGAGGACACCGACGTAATGACGGT	901
Sbjct	840	CGCAGTTCATGCCCGTCTTCCGAGGCCTGTTGAGGACACCGACGTAATGACGGT	899
Query	902	ACGCCGCCGTCTTAAA 919	
Sbjct	900	ACGCCGCCGTCTTAAA 917	

Database: Nucleotide collection (nt)

Posted date: May 30, 2018 6:33 AM

Linhagem SM15

FN665418.1 *Aureobasidium* sp.

Reference for database indexing: Aleksandr Morgulis, George Coulouris, Yan Raytselis, Thomas L. Madden, Richa Agarwala, Alejandro A. Schaffer (2008), "Database Indexing for Production MegabLAST Searches", Bioinformatics 24:1757-1764.

ALIGNMENTS

>FN665418.1 *Aureobasidium sp.* RBF-6C1 18S rRNA gene (partial), ITS1, 5.8S rRNA gene, ITS2 and 26S rRNA gene (partial), isolate RBF-6C1

FN665419.1 *Aureobasidium sp.* RBF-8B1 18S rRNA gene (partial), ITS1, 5.8S rRNA gene, ITS2 and 26S rRNA gene (partial), isolate RBF-8B1
Length=1209

Score = 1982 bits (1073, Expect = 0.0
Identities = 1088/1095 (99%), Gaps = 1/1095 (0%)

Query 1	AAGTAAAAGTCGTAACAAGGTTCCGTAGGTGAAACCTCGGAAAGGATCATTAAAGAGTAA	60
Sbjct 13	AAGTAAAAGTCGTAACAAGGTTCCGTAGGTGAAACCTCGGAAAGGATCATTAAAGAGTAA	72
Query 61	GGGTGCTCAGCGCCCGACCTCCAACCCTTGTGTTAAAACCTACCTTGTGCTTGCGG	120
Sbjct 73	GGGTGCTCAGCGCCCGACCTCCAACCCTTGTGTTAAAACCTACCTTGTGCTTGCGG	132
Query 121	GACCGCTCGGTCTCGAGCCGCTGGGATTCGTCTCAGGCAGCGCCGCCAGAGTTAAC	180
Sbjct 133	GACCGCTCGGTCTCGAGCCGCTGGGATTCGTCCAGGCAGTGCCCCGCCAGAGTTAAC	192
Query 181	CAAACCTTGTATTAAACCGGTCGTCTGAGTTAAAATTTGAATAAATCAAAACTTCA	240
Sbjct 193	CAAACCTTGTATTAAACCGGTCGTCTGAGTTAAAATTTGAATAAATCAAAACTTCA	252
Query 241	ACAACGGATCTCTGGTCTCGCATCGATGAAGAACCGCAGCGAAATGCGATAAGTAATGT	300
Sbjct 253	ACAACGGATCTCTGGTCTCGCATCGATGAAGAACCGCAGCGAAATGCGATAAGTAATGT	312
Query 301	GAATTGCAGAATTCACTGAATCATCGAACATTGCGCCCTTGGTATT	360
Sbjct 313	GAATTGCAGAATTCACTGAATCATCGAACATTGCGCCCTTGGTATT	372
Query 361	CGAGGGCATGCCTGTCAGCGTCATTACCACTCAAGCTATGCTTGGTATTGGTGT	420
Sbjct 373	CGAGGGCATGCCTGTCAGCGTCATTACCACTCAAGCTATGCTTGGTATTGGTGT	432
Query 421	CGTCCTAGTTGGCGCGCTTAAAGACCTCGCGAGGCCTCACCGGCTTAGGCGTAGT	480
Sbjct 433	CGTCCTAGTTGGCGCGCTTAAAGACCTCGCGAGGCCTCACCGGCTTAGGCGTAGT	492
Query 481	AGAATTATTCACTGAACGTCTGTCAAAGGAGAGGACTTCTGCCACTGAAACCTTTATT	540
Sbjct 493	AGAATTATTCACTGAACGTCTGTCAAAGGAGAGGACTTCTGCCATTGAAACCC-TTTATT	551
Query 541	TCTAGGTTGACCTCGGATCAGGTAGGGATAACCGCTGAACCTAACGATATCAATAAGCGG	600
Sbjct 552	TCTAGGTTGACCTCGGATCAGGTAGGGATAACCGCTGAACCTAACGATATCAATAAGCGG	611
Query 601	AGGAAAAGAAACCAACAGGGATTGCCCTAGTAACGGCGAGTGAAGCGGAAACAGCTAAA	660
Sbjct 612	AGGAAAAGAAACCAACAGGGATTGCCCTAGTAACGGCGAGTGAAGCGGAAACAGCTAAA	671
Query 661	TTTGAAAGCTGGCCTTCGGTCCGCATTGTAATTGTAGAGGATGCTTGGGTGAAACGC	720
Sbjct 672	TTTGAAAGCTGGCCTTCGGTCCGCATTGTAATTGTAGAGGATGCTTGGGTGAAACGC	731
Query 721	CAGTCTAACGTTCTGGAACAGGACGTAGAGGGTGAGAATCCGTATGTGACTGGAA	780
Sbjct 732	CAGTCTAACGTTCTGGAACAGGACGTAGAGGGTGAGAATCCGTATGTGACTGGAA	791
Query 781	ATGTTAACCTATGTAAGCTCCTCGACGAGTCGAGTTGGGAATGCAGCTCTAAAT	840
Sbjct 792	ATGTTAACCTATGTAAGCTCCTCGACGAGTCGAGTTGGGAATGCAGCTCTAAAT	851

Query	841	GGGAGGTAAATTCTTCTAAAGCTAAATATTGGCGAGAGACCGATAGCGCACAAGTAGAG	900
Sbjct	852	GGGAGGTAAATTCTTCTAAAGCTAAATATTGGCGAGAGACCGATAGCGCACAAGTAGAG	911
Query	901	TGATCGAAAGATGAAAAGCACTTGGAAAGAGAGTTAAAAGCACGTGAAATTGTTGAAA	960
Sbjct	912	TGATCGAAAGATGAAAAGCACTTGGAAAGAGAGTTAAAAGCACGTGAAATTGTTGAAA	971
Query	961	GGGAAGCGTTGCAATCAGACTTGTAACTGTTCGGCCGGTCTCTGACCGGTTACT	1020
Sbjct	972	GGGAAGCGTTGCAATCAGACTTGTAACTGTTCGGCCGGTCTCTGACCGGTTACT	1031
Query	1021	CAGTTGGACAGGCCAGCATCAGTTGGCCGGATAAAGGCTCTGGGAATGTGGCCT	1080
Sbjct	1032	CAGTTGGACAGGCCAGCATCAGTTGGCCGGATAAAGGCTCTGGGAATGTGGCCT	1091
Query	1081	TCACTTCGGTGAAGG 1095	
Sbjct	1092	TCACTTCGGTGAAGG 1106	